

# **BEYİN DAMAR HASTALIKLARI DERGİSİ**

**Cilt:1 Sayı:2 Aralık-1995**

## **İÇİNDEKİLER**

Talamik Hematomlarda Lokalizasyon İle Klinik Bulguların İlişkisi.....	87
Mustafa BAKAR, Mehmet ZARIFOĞLU, İbrahim BORA, Ömer Faruk TURAN, Sadık SADIKOĞLU, Nurhan KALALI, Erhan OĞUL	
Akut İskemik Strok Tedavisinde Hemodilüsyon'un Etkinliği (Prospektif, Randomize, Kontrollü Çalışma).....	93
Zeki ÖZÖNER, Şükri TORUN, Nevzat UZUNER, Demet GÜCÜYENER, Seval UYSAL, Gazi ÖZDEMİR,	
Beyiniçi Kanamalarda Bilgisayarlı Tomografi Özellikleri ile Ölüm Oranı İlişkisi.....	99
Atilla OGUZHANOĞLU, Türker ŞAHİMER, Tülay KUAT, Güneş PAY	
Serebrovasküler Atakların Başlangıcının Gün İçi Dağılımı.....	105
Süleyman KUTLUHAN, Yüksel SANDIKÇI	
Kardiopulmoner Arreste Bağlı Amnestik Sendro.....	109
Mustafa BAKAR, Ömer Faruk TURAN, İbrahim BORA, Mehmet ZARIFOĞLU, Erhan OĞUL	
Intraserebral hemorajide прогноз Klinik ve BT Bulguları.....	111
K. Sibel VELİOĞLU, Mehmet OZMENOĞLU, İsmail BULBÜL, Zekeriya ALIOĞLU, Okan BÖLÜKBAŞI	
Primer Progresif Afazili Olgu Sunumu.....	117
Ufuk UTKU, N. AYDIN, C. TUŞLU, F. ERDOĞAN, A. SARİKAYA	
Akut Strokta Lipid Profili, Apolipoprotein A-1 ve Apolipoprotein B.....	119
Taşkin DUMAN, Şerefur ÖZTÜRK, Sabahat GÜRÇAY	
Benign Pozisyonel Vertigo Ve Safra Kesesi Motilitesi.....	125
Nevzat UZUNER, Erkan VARDARELİ, Demet GÜCÜYENER, Gazi ÖZDEMİR	
Normal Ve Patolojik Bos'da Nmr T1 Durulma Zamanlarının Karşılaştırılması.....	129
Nebahat TAŞDEMİR, Ali YILMAZ	
Akut Strokta Konjuge Göz Deviasyonu ve "Wrong Way Eyes"*	133
Taşkin DUMAN, Şerefur ÖZTÜRK, Sabahat GÜRÇAY	
Hemorajik Serebrovasküler Hastalıkta Mevsimsel Değişiklik.....	137
Ayla SİFOĞLU, Birsen İNCE, Baki GÖKSAN, Hayrullah DENKTAŞ	
Son 10 Yılda Erken Dönem Strok Mortalitesi.....	141
Ayla SİFOĞLU, Birsen İNCE, İsmail ZİLELİ, Hayrullah DENKTAŞ	
Serebral İnfarktlı Hastanın Rehabilitasyonunda Yaşın Etkisi.....	145
İsmail ZİLELİ, Birsen İNCE, Ayla SİFOĞLU, Hayrullah DENKTAŞ	

## TALAMİK HEMATOMLarda LOKALİZASYON İLE KLINİK BULGULARIN İLİŞKİSİ\*

Mustafa BAKAR, Mehmet ZARİFOĞLU, İbrahim BORA, Ömer Faruk TURAN, Sadık SADIKOĞLU,  
Nurhan KALALı, Erhan OĞUL

Uludağ Üniversitesi Tıp Fakültesi, Nöroloji AD., Bursa

### ÖZET

Serebral hemisferler ile yoğun bağlantıları olan talamusun lezyonları zengin klinik semptomatolojiye sebep olurlar. Farklı lezyonlar sonucu talamusun direkt olarak etkilenmesi veya beynin diğer alanları ile olan bağlantılarının kesilmesi nedeniyle; sensorimotor bozukluklar, göz küresi hareket bozuklukları, pupilla anomaliteleri, şuur ve lisan bozuklukları gibi klinik bulgular görülebilir. Bu çalışmada talamusta hematom saptanan 54 olguda hematomun lokalizasyonu ile şuur bozukluğu, motor güç kaybı, göz hareket bozuklukları ve lisan bozuklukları gibi klinik bulgular ve прогноз arasındaki ilişkiler incelendi. Talamusta lokalize olan hematomlar bilgisayarlı kranial tomografilerindeki görünümlerine göre 4 farklı topografik bölgeye ayrıldı. Talamusun posterolateral kısmının hematomun en sık yerleşim yeri olduğu, motor güç kayipları ve göz küresi hareket bozuklukları gibi klinik semptomların bu bölgede en sık görüldüğü saptandı. Şuur ozukluğu ile hemorajinin ventriküle açılımı da klinik bulguların ciddiyetini artıran ve прогнозu kötüleştiren önemli etkenler olarak değerlendirildi.

**Anahtar Kelimeler:** Talamik Hematom, Klinik bulgular.

### AN INTERRELATION BETWEEN LOCALISATION AND CLINICAL SIGNS ON THALAMIC HEMATOMAS

The thalamic lesion, cause rich clinical symptoms because of their intensive connections with the cerebral hemispheres. Different lesions effecting the thalamus and disconnecting the thalamus from the other brain areas, can cause sensorimotor disturbances, ocular movement disorders, pupillary abnormalities, consciousness and language disorders. The interrelation between the localisation of the thalamic hematoma and clinical symptoms such as motor deficits, ocular movement and language disorders and prognosis have been studied in 54 thalamic hematoma patients. Thalamic hematoma have been localised into four different topographic regions according to their CT scan. Posterolateral localisation was the most common and associated one with the motor deficit and ocular movement disorders. Conscious disorders and opening into the ventricles are the risk factors increasing the severity of the clinical symptoms and are in favour of a bad prognosis.

**Key Words:** Thalamic Hemorrhages, Clinical signs.

### GİRİŞ

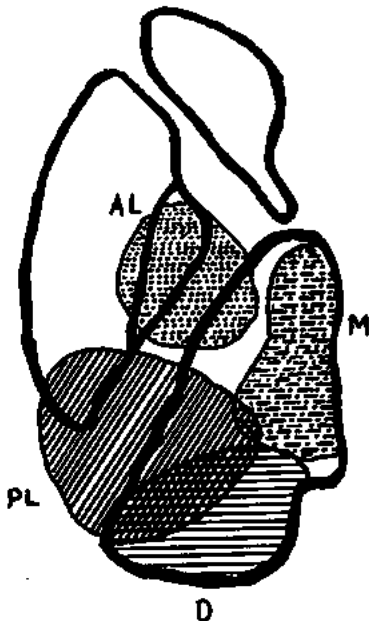
Talamus serebral hemisferlerin derininde yerleşmiş, hem kendi içinde hem de kortikal alanlarla afferent ve efferent bağlantıları olan beş önemli çekirdek gurubundan oluşan bir yapıdır(1). Çekirdek gruplarının fonksiyonları incelendiğinde, anterior talamik çekirdek grubu limbik sistemle, medial grup frontal korteks ile, orta hat grubu daha çok visseral fonksiyonlarla, intralaminer grup periferden gelen duyuların kortekse iletimi ile lateral talamik grup ise hem duyu hem de motor sistemin fonksiyonları ile ilişkilidir(2). Talamusu direkt olarak etkileyen veya beynin diğer alanları ile olan bağlantılarını kesen lezyonlar klinik semptomları ortaya çıkarırlar(3). Hemorajiler talamusu etkileyen önemli bir etyolojik faktör olup tüm intraserebral hemorajilerin yaklaşık %27-35'ini oluştururlar (4). Talamik hemoraji sendromunun kardinal bulguları sensorimotor defisitler, oküler motor bozukluklar ve disfazidir (3-6).

Bu çalışmada talamik hemorajilerin lokalizasyonu ile karakteristik nörolojik bulgular ve прогноз arasındaki ilişkilerin incelenmesi

amaçlandı.

### GEREÇ VE YÖNTEM

Bu çalışma Uludağ Üniversitesi Tıp Fakültesi Nöroloji kliniğine strok nedeniyle getirilen ve Bilgisayarlı Tomografilerinde(BT) Talamik bölgede hemoraji tespit edilen 54 hasta yapıldı. Çalışmaya yaşları 18 ile 84 arasındaki(ort. 59.75) 25' i kadın, 29' u erkek hasta alındı. Hastaların sistematik fizik ve nörolojik muayenelerini takiben kranial BT leri çekildi. Hastaların şuur düzeyleri Glasgow koma skaliasına göre değerlendirildi. Motor güç kayipları ve göz küresi hareket bozuklukları ile pupilla anomaliteleri kaydedildi. Hastaların lisan bozuklukları konuşma, duyarak ve okuduğunu anlama, okuma, tekrarlama, yazma ve isimlendirme fonksiyonlarını içeren Gülhane Afazi Testi(GAT) ile değerlendirildi. BT'lerdeki talamik bölge hemorajileri Kawahara ve ark.(7) tarafından önerilen anterolateral(AL), posterolateral(PL), medial(M) ve dorsal(D) tip olmak üzere dört ayrı lokalizasyonda incelendi (şekil 1). Hematomlar çaplarına göre küçük (10-19



Şekil 1: Talamik Hematomların Lokalizasyonu

AL: Anterolateral      D: Dorsal  
PL: Posterolateral      M: Medial

Tablo 1: Talamik hematomun Lokalizasyonu ile Klinik Bulguların Dökümü

Klinik Bulgular	Toplam (%)	PL n=31	AL n=7	D n=3	M n=13	Küçük 10-19	Orta 20-39	Büyük 40mm
şuur Bozukluğu	32(%59)	20	5	-	7	1	21	8
Motor Güç Kaybı	46(%86)	26	6	3	11	3	40	3
Afazi	13(%24)	11	1	-	1	-	12	1
Dizartri	5(%9)	2	1	2	-	1	4	-
Yukarı Bakış Kısıtlı	11(%20)	7	2	-	2	-	6	5
Konjuge Bakış Kısıtlı	8(%14)	4	1	-	3	-	6	2
Zorunlu Lat. Konj.Devias	6(%11)	4	1	-	1	-	6	-
Zorunlu Aşağı Devias	5(%9)	2	1	-	2	-	3	2
Myozis	21(%38)	12	2	-	7	-	19	2
İşik Reak. Kaybı	16(%29)	8	3	-	5	1	11	4
Ventriküle Açılmış	37(%68)	21	6	-	10	1	31	5
Prognoz (Eksitus)	14(%25)	9	2	-	3	1	9	4

mm.), orta (20-39 mm.) ve büyük (40 mm. ve üzeri) olarak klasifiye edildi.

## BULGULAR

Olgularımızın BT'lerinde 28 olguda sol, 26 olguda sağ talamik hematom saptandı. Lezyon büyüklüğüne göre 4 olguda küçük, 42 olguda orta, 8 olguda büyük hematom mevcuttu. Olgularımızın lezyon lokalizasyonlarına, lezyon büyüklüğüne ve ventriküle açılmasına göre klasifiye edilen şuur bozuklukları, motor güç kayipları, göz küresi hareket ve pupilla anomaliteleri ile lisan bozuklukları arasındaki ilişkiler tablo 1 de ayrıntılı olarak takdim edildi.

## TARTIŞMA

Talamus afferent ve efferent talamokortikal yollar aracılığı ile korteks ile bağlantı halindedir (2). Talamusta yerleşen lezyonlar bu bağlantınlarda kesintiye yol açarak klinik semptomları oluştururlar(4). Talamusta hemorajik lezyona yol açan etyolojik faktörler başta hipertansif

hemorajiler olmak üzere, anevrizma rüptürü, vasküler malformasyonlar, hemorajik neoplazmlar ve koagülasyon hastalıklarıdır(5). Risk faktörleri arasında hipertansiyon farklı serilerde %84 e varan oranlarda rapor edilmiş, bizim çalışmamızda bu oran %92 olarak bulunmuştur(4,5,7).

Talamusun posterolateral bölümü diğer serilerde ve bizim çalışmamızda en sık saptanan hematom lokalizasyonu olup bu yüksek oran bölgenin posterolateral inferior talamik arterler olan talamogenikulat artı ve talamoperforat arterler gibi arter kaynaklarından beslenmesine bağlanmaktadır(8).

Motor güç kaybı yapılan çalışmalarda % 100 e varan değişik oranlarda saptanmıştır(4,5,7,8,9,10). Çalışmamızda bu bulgu olgularımızın % 86 sinda ve en sıkılıkla PL tip hemorajilerde görülmüştür. PL tip hemorajisi olan 31 olgunun 27 içinde çeşitli düzeylerde motor güç kayipları saptanmıştır. Bu tip hemorajide motor güç kaybının yüksek oranda olması hemorajinin internal kapsüle yayılımı veya internal kapsülün posterior bacağıının 1/3 orta kısmına bası etkisine bağlıdır(8,9).

Talamik hemorajilerin diğer önemli bulguları oküler bulgular olup en karakteristik kombinasyon myotik, ışığa cevapsız pupilla ile yukarı bakış kısıtlılığıdır(9,11,12). Parinaud sendromunun elementleri olan bu bulgular talamik hematomun üst midbrainin tektumuna kompressif veya destruktif etkileri ile açıklanmaktadır (6,8,9,12). Yapılan çalışmalarda % 13 ile % 100 arasında saptanan oküler bulgulara bizim çalışmamızda % 59.2 oranında rastlanmıştır (4,5,7,8,10). Çalışmamızda oküler bulgu saptanan 32 olguda (% 59.2) 70 elemanter oküler bulgu saptanmış bazı olgularda birkaç oküler motor bozukluk ve pupilla anomalitesi aynı anda gözlenmiştir. Vertikal veya lateral konjuge bakış kısıtlılığı ile hematoma ipsilateral myozis ve buna eşlik edebilen ışık reaksiyonu kaybı en sık birlikte olan bulgulardır (12). Vertikal göz hareketleri rostral mezensefalik tegmentumda yer alan Cajal'ın interstitiel nukleusu ve rostral interstitiel Medial Longitudinal Fasciculus (riMLF) ile ilgili olup yukarı bakış paralizi bilateral, nadiren de unilateral lezyonlarla ortaya çıkar (6,12,13,14,15,16). Horizontal konjuge bakış hareketleri ise frontal bakış merkezlerinden ipsilateral kapsula interna ön bacağı yolu ile mezensefalona doğru inen liflerin bası veya destrüksiyonuna bağlıdır(12,17). Farklı çalışmalarda konjuge bakış kısıtlığı %38-50, yukarı bakış kısıtlığı %35-94, ışık reaksiyonu kaybı %13-62, miyozis %70-100 oranında bulunmuştur(4,5,7,8,10). Çalışmamızda bu bulgular sırası ile %14, %20, %29 ve %38 oranlarında saptanmış, oküler bulguların en sık PL tip hemorajide olduğu gözlenmiştir. Hematomun ventriküle açılımı oküler bulguları artıran bir

faktördür(11). Çalışmamızda da ventriküle açılım saptanın 37 olgunun hepsiinde bir veya birden fazla oküler bulgu saptanmış, oküler bulguların hemen tümünün hemorajinin ventriküle açılmış olduğu olgularda görüldüğü tespit edilmiştir. Lokalizasyona göre oküler bulgular değerlendirildiğinde PL tip hematomu olan olguların 19unda oküler bulgular saptanırken D tip hematomlu olgularda oküler bulguya rastlanmamıştır. Kawahara ve ark. nın çalışmalarında da bizim çalışmamızda olduğu gibi oküler anomaliler en sıkılıkla PL tip, daha sonra sırası ile M ve AL tiplerde rastlanmış bu çalışmada da D tipte oküler anomali tespit edilmemiştir(7,8).

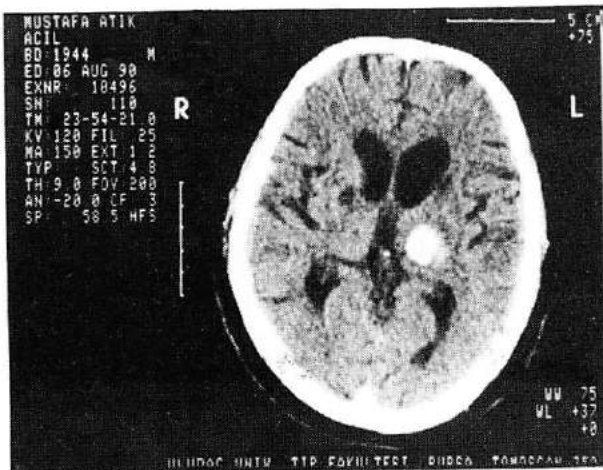
Talamik patolojilerde diğer önemli bir bulgu lisan bozukluklarıdır. Dominant talamik lezyonlarda görülen bu bulgunun nispeten az oranda görülmesi bu hemorajilerin şuur bozuklukları ile birlikte olmasına bağlanmıştır(12). Pür talamik bölge patolojilerinde konuşma akıcı fakat belirgin olarak parafaziktir. Belirgin isimlendirme bozukluğu yanında tekrarlanan korunmuş olması ve hafıza bozuklukları sendromun önemli özelliklerini oluşturur (18,19,20). Lezyonların genellikle bu alanda çok sınırlı kalmayıp internal kapsüle ve putamene bası etkileri dizartriye, kortikal alanlarla olan konneksyonların kesilmesi ise farklı tiplerde lisan bozukluklarına yol açar(18,19,21). Bizim çalışmamızda da sol talamik hematom olan 13 olguda değişik tiplerde lisan bozuklukları, 5 olguda da dizartri saptanmıştır. Olgularımızın 4 ünde tutuk, 9unda ise akıcı fakat parafazik konuşma saptanmış, anlama fonksiyonunun iyi düzeyde korunmuş olduğu görülmüştür. Tekrarlama fonksiyonları hemen hemen tüm olgularda normalde yakın olarak korunmuş olduğundan bu bölge lezyonları ile transkortikal afaziler olabileceği düşünülebilir. Ancak olgularımızda kısa dönem kelimesel bellek bozukluklarının ve iyileşme kötüleşme dönemlerinin olmayı transkortikal afazilerden ayırcı tanayı oluşturur.

Şuur bozukluğu incelenen çalışmalarda % 58-94 arasında rapor edilmiştir(4,5,7,10). Bu bulgu çalışmamızda 32 olgumuzda(% 59) tespit edilmiştir. Şuur bozukluğu olan olgular lezyon lokalizasyonuna göre değerlendirildiğinde 5 olguda AL, 20 olguda PL, 7 olguda M tipte hematomun olduğu, D tip hematomların ise şuur bozukluğuna yol açmadıkları saptanmıştır. Kawahara ve ark. nın çalışmalarında da şuur bozukluğu PL lokalizasyonda en sık bulgu olup D lokalizasyonda bu bulguya rastlanmamıştır(7,8). Çalışmamızda şuur bozukluğu olan 32 olgunun 14 ü exitus olmuştur. Exitus olan olguların 9'unun PL tipte hemoraji saptanan olgular olduğu gözlenmiş ve bu tip hemorajilerde hem şuur bozukluğu hem de mortalitenin daha fazla olduğu, ayrıca şuur bozukluğu ile mortalitenin

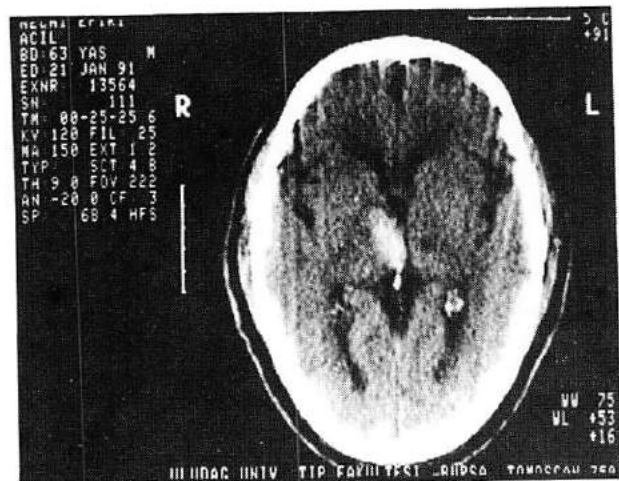
ilişkili olduğu saptanmıştır.

Hemorajinin ventriküle açılımı önemli bir bulgu olup kötü prognoza işaret etmektedir(11). Weisberg 'in çalışmasında hemorajisi ventriküle açılan 19 olgunun hepsi exitus olurken diğer çalışmalarında ventriküle açılım ve mortalite ilişkisi % 39-50 olarak bulunmuştur(4,5,7,10,12). Çalışmamızda 37 olguda (%68.5) hemorajinin ventriküle açılmış olduğu ve bu olgulardan 14 (%37) ünün exitus olduğu saptanmıştır. Diğer çalışmalarında intraventriküler hemorajisi olan olgularda mortalite oranı %44-100 arasında bulunmuştur(4,5,10,11,23). Çalışmamızda PL tip hemorajisi olan 19 olguda hemorajinin ventriküle açıldığı gözlenmiş, D tip hemorajili olgularda ise bu bulguya rastlanmamıştır. Ventriküle açılım saptanan PL tip hemorajisi olan 19 olgunun 9unda ve M tip hemorajisi olan 9 olgunun da 3 içinde mortalite saptanmış, ventriküle açılımın gerek şuur bozukluğu gerekse mortalitede önemli etken olduğu anlaşılmıştır. Çalışmalarda hematomun çapı da şuur düzeyi, klinik bulgular ve prognozu etkileyen önemli bir faktör olarak değerlendirilmiş ve 3.3 cm. lik çap kritik düzey olarak bulunmuştur(5). Daha sonra yapılan çalışmalarında 4 cm çapındaki hemorajilerle yaşayan olgular bildirilmiştir(8). Tüm çalışmalar dikkate alındığında hematom çapının artışının hem sekel nörolojik bulguları hem de mortaliteyi artttığı gözlenmiştir(1,5,7,8,9).

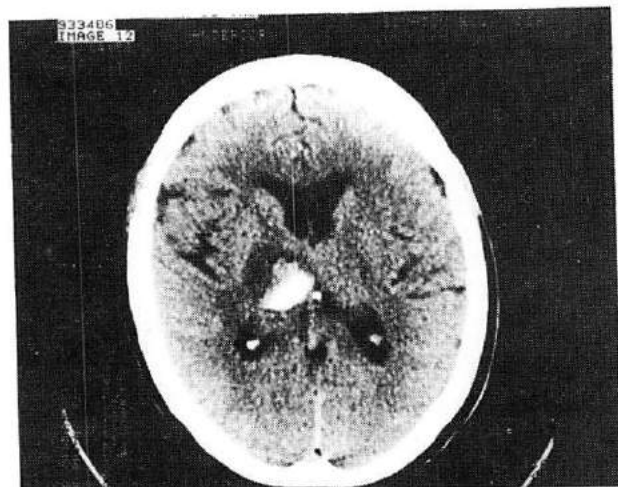
Sonuç olarak talamik hemorajilere en sıkılıkla posterolateral lokalizasyonda rastlandığı, talamus direk olarak etkilenmesi veya diğer alanlar ile olan bağlantılarının kesilmesi ile şuur bozuklukları, motor güç kaybı, oküler semptomlar ve değişik örnekte lisans bozuklıklarının ortaya çıktığı, hematomun büyülüüğü ve ventriküllere açılımının da şuur bozukluğu ve mortaliteyi artttığı saptanmıştır.



Resim 1: Postero lateral tip hematomlu bir olgunun BT görünümü



Resim 2: Medial tip hematomlu bir olgunun BT görünümü



Resim 3: Dorsal tip hematomlu bir olgunun BT görünümü

## KAYNAKLAR

- 1- Joseph C Chusid. Correlative neuroanatomy and functional neurology. Lange Medical publications California 1979.
- 2- Fahri Dere:Nöroanatomı ve fonksiyonel nöroloji. 1. Baskı, Adana: Aydoğdu matbaası 1990, s.230-233.
- 3- Fisher CM. The pathologic and clinical aspects of thalamic hemorrhage. Trans Am. Neurol Assoc. 1959;84:56-59
- 4- Walshe TM, Davis KR, Fisher CM. Thalamic hemorrhage:A computed tomographic-clinical correlation. Neurology 1977; 27: 217-222.
- 5- Weisberg LA. Thalamic hemorrhage:Clinical CT correlations. Neurology 1986; 36: 1382-1386.
- 6- Hirose G, Kosoegawa H, Saeki M, Kitagawa Y, Oda R, Kanda S, Matsuhira T:The syndrome of posterior thalamic hemorrhage. Neurology 1985; 53 :998-1002.
- 7- Kumral E, Kocaer T, Erbutay Ö, Kumral K. Thalamic hemorrhage. A prospective study of 100 patients. Stroke 1995;26:964-970.
- 8- Kawahara N, Sato K, Muraki M, Tanaka K, Kaneko M, Uemura K. CT classification of small thalamic hemorrhage and their clinical implications. Neurology 1986; 36: 165-172.

- 9- Piepgrass U, Rieger P. Thalamic bleeding:Diagnosis, Course and prognosis. *Neuroradiology* 1981; 22: 85-91.
- 10- Barraquer-Bordas L, Ilia I, Escartin A, Ruscallada J, Martí-Vidalta JL. Thalamic hemorrhage: A study of 23 patients with diagnosis by CT. *Stroke* 1981; 12: 524-527.
- 11- Steinke W, Sacco RL, Mohr JP et al. Thalamic stroke. Presentation and prognosis. Infacts and hemorrhages. *Arch Neurol* 1992;49:703-710.
- 12- Kase CS, Mohr JP, Caplan LR. Intracerebral hemorrhage. In Barnet HJM, Mohr JP, Stain BM, Yatsu FM. Ed. *Stroke: Pathophysiology, Diagnosis* Churchill Livingstone Newyork 1992; pp590-93.
- 13- Christof N. A clinicopathologic study of vertical eye movements. *Arch Neurol* 1974; 31:1.
- 14- Denny- Brown D, Fischer EG. Physiologic aspects of visual perception The subcortical visual direction of behaviour. *Arch Neurol* 1976;33:228
- 15- Kansu T, Atabay Ç. Suprantükleer ve internükleer bakış yolları. Nörooftalmoloji. Hacettepe Üniversitesi Yayınları 1993,34:715-16
- 16- Gilmer LI, Avin B. A reversible ocular manifestation of thalamic hemorrhage *Arch. Neurol.* 1977; 34: 715-16.
- 17- Özer F, Ataklı D, Elmaci İ. ve ark. Talamik hematomlarda nörooftalmolojik bulgular. *Düşün Adam* 1993;6(1-2):59-63.
- 18- Reynolds AF, Harris AB, Ojemann GA, Turner PT. Aphasia and left thalamic hemorrhage. *J. Neurosurgery* 1978; 48: 57-74.
- 19- Alexander MP, Lo Verme SR. Aphasia after left hemisphere intracerebral hemorrhage. *Neurology* 1980; 30: 1193.
- 20- Özeren A, Sarıca Y, Efe R. Thalamic aphasia syndrome. *Acta Neurol Belg.* 1994;94:205-20.
- 21- Cappa SF, Vignolo LA. Transcortical features of aphasia following left thalamic hemorrhage. *Cortex* 1979; 15: 121-130.
- 22- Mohr JP, Watters WC, Duncan GW. Thalamic hemorrhage and aphasia. *Brain Lang.* 1975; 2: 3-17.
- 23- Simonetti C, Canapicchi R, Parenti G, Giraldi C. Thalamic hemorrhage: Clinical and CT findings. *Acta Neurol (Napoli)*. 1988;10:246-261

## KİTAP

# İSKEMİK STROK'TA AKUT TEDAVİ İLKELERİ

EDİTÖR

Prof. Dr. Gazi ÖZDEMİR

## İÇİNDEKİLER

İskemik strok'ta fizyopatolojik değişiklikler.....	1-16
Prof. Dr. Gazi ÖZDEMİR	
Kalsiyum denge regülasyonu ve iskemi.....	17-21
Prof. Dr. Sevinç AKTAN	
Akut iskemik strok'ta vazojenik antiödem girişimler.....	23-30
Doç. Dr. Ö. Faruk TURAN, Prof. Dr. Erhan OĞUL	
Diğer membran elektrolitlerinin dengesi ve sitotksik antiödem yaklaşım.....	31-37
Doç. Dr. Kürşad KUTLUK	
Antioksidanlar.....	39-46
Prof. Dr. Sevin BALKAN	
Hemoreolojik yaklaşımlar (Hemodilüsyon ve Pentoksifilin).....	47-58
Doç. Dr. Şükrü TORUN	
Serebrovasküler olaylarda hipertansiyon.....	59-69
Prof. Dr. Okay SARIBAŞ	
Antikoagulasyon ve trombotik tedavi.....	71-83
Prof. Dr. Hayrullah DENKTAS	
İskemide endotel stabilizasyonu.....	85-108
Prof. Dr. Yakup SARICA	
Endojen opiatlar, L-Karnitin, poliamin, ksantin metabolizmalarına yönelik girişimler.....	109-125
Doç. Dr. Dursun KIRBAŞ	
Akut iskemik inmede invazif tedavi girişimleri.....	127-134
Doç. Dr. Oğuzhan ÇOBAN	
İskemik strok'ta akut tedavi ilkelerinin klinik kullanımı .....	135-144
Prof. Dr. Gazi ÖZDEMİR	

BEYİN DAMAR HASTALIKLARI DERNEĞİ  
Yayın No: 2

## Kitap İsteme

BDH Derneği PTT çek hesabı no: 112705'na 150.000 TL (Yüzelli bin) yatırılıp makbuz fotokopisi gönderilince, kitap adresine postalanacaktır.

## AKUT İSKEMİK STROK TEDAVİSİNDE HEMODİLÜSYON'UN ETKİNLİĞİ\*

(Prospektif, Randomize, Kontrollü Çalışma)

Zeki ÖZÖNER, Şükrü TORUN, Nevzat UZUNER, Demet GÜCÜYENER, Seval UYSAL, Gazi ÖZDEMİR

Osmangazi Üniversitesi Tıp Fakültesi, Nöroloji AD., Eskeşehir

### ÖZET

Akut iskemik strok'un erken fazında, %6'lık hidroksietilstarch (HES) 200/0.5 ve veneseksiyon kombinasyonuyla gerçekleştirilen hemodilüsyon tedavisi prospektif, randomize, kontrollü çalışmaya değerlendirildi. 95 hasta (ort. yaşı  $61.4 \pm 11.7$ ) hemodilüsyon tedavi grubuna (HG), 84 hasta (ort. yaşı  $62.3 \pm 13.5$ ) ise kontrol grubuna (KG) alındı. Çalışmada yer alan hastalar cinsiyet, yaş, medikal öykü, semptomların ortaya çıkış ile tedaviye başlama arasındaki süre, atrial fibrilasyon varlığı, hastanede kalış süreleri ve BT'deki infarkt lokalizasyonlarına göre ayrılarak ölüm oranları ve nörolojik iyileşme sonuçları açısından analiz edildi. Tedavinin 3. gününde HG hastalarının %81'inde nörolojik skorlarda iyileşme gözlenirken bu oran KG'da %63 hastada görüldü ( $p < 0.05$ ). Beşinci günde HG hastalarının %83'ünde, KG'nun ise %76'sında iyileşme saptandı ( $p < 0.05$ ). Gruplar arasındaki bu anlamlı iyileşme farkı 3. aydaki prognostik skorlara yansımadı. Üçüncü ayda HG hastalarının %92'sinde, KG hastalarının ise %86'sında iyileşme vardı ( $p > 0.05$ ). Hemodilüsyon tedavisi uygulanan AF'lu hastaların KG'daki AF'lu hastalara göre üçüncü ay sonunda daha yüksek düzeyde iyileşme gösterdikleri belirlendi.

Anahtar Kelimeler: Strok, hemodilüsyon

### THE EFFECTS OF HEMODILUTION IN ACUTE ISCHEMIC STROKE

The effects of isovolemic hemodilution (IVHD) in patients with acute ischemic stroke (AIS) were studied in a randomized, controlled, clinical, single - centre trial. Patients with hematocrit levels between 38% and 50% were randomized within 48 h of onset of symptoms to treatment with venesection and concomitant hydroxyethyl starch (HES 200/0.5) administration, or to a control group. Exclusion criteria were deep coma, dependence prior to stroke, intracranial haemorrhage, myocardial infarction within last eight weeks, renal failure, terminal systemic illness, and to be on anticoagulant treatment. The study involved 179 patients (95 patients in the treatment group, 84 in control group). In the treatment group, the IVHD procedure reduced mean hematocrit from  $45.4 \pm 3.3\%$  at entry to  $37.6 \pm 2.6\%$  over the first three days and was maintained at this level throughout the first 10 days. Mean hematocrit level was essentially unchanged in control patients in this period. The only difference between the hemodiluted group and control group was seen in neurological score over the acute period. The proportion of patients who improved was significantly greater in hemodiluted than in non-hemodiluted patients (81% vs. 63% on day 3, and 83% vs. 76% on day 5). Neurological scoring and activity of daily living performance at the third month was not significantly improved by hemodilution. Case fatality rate was not significantly affected by IVHD. Among hemodiluted patients, a small subgroup with atrial fibrillation (AF) showed better long-term neurological outcome than patients without AF. As a conclusion, although it cannot be recommended for routine use, IVHD may have a beneficial effect in some selected patients with AIS.

Key Words: Stroke, hemodilution

### GİRİŞ

Hemoreolojik faktörlerin değiştirilmesinin, serebral kan akımı (SKA)'nın artırılması yolu ile serebral iskemi de yarar sağlayacağı varsayılmaktadır (1). Kanın viskozitesini etkileyen faktörler arasında Hct, fibrinojen konsantrasyonu, eritrosit agregabilitesi, eritrosit deformabilitesi, trombosit agregasyonu ve kanın akış hızı (velocity gradient = biçimsel değişim hızı, shear rate = kayma hızı) sayılabilir. Kan non-Newtonian bir sıvı olduğundan viskozitesi sabit olmayıp, akış hızına göre değişir. Kan viskozitesinin azaltılması SKA'ni artırır (1,2). Hemoreolojik faktörlerin olumlu yönde düzeltmesi Hct'i düşürerek, fibrinojen konsantrasyonunu azaltarak veya eritrosit deformabilitesini artırarak elde edilebilir. Yüksek sınırdaki Hct, artmış kan viskozitesi, azalmış SKA ve infarkt genişliğinin artması ile bağlantılıdırılmıştır (3).

Çalışmamızda bu bilgilerden yola çıkarak, akut iskemik strok tarası almış hastalarda, tedavi kombinasyonları içinde önemli bir yer tutma potansiyeli bulunan hemodilüsyon uygulamasının etkinliğini araştırmayı amaçladık.

### GEREÇ VE YÖNTEM

Çalışmamıza Osmangazi Üniversitesi Tıp Fakültesi Hastanesi Nöroloji Kliniğine fokal nörolojik defisit nedeni ile başvuran ve etyolojisinde serebrovasküler olay düşünülen 426 hastadan 179'u katıldı. Bu hastalar HG ve KG'na sırayla ve rastgele dahil edildiler. Çalışmaya aldığımız 179 hastadan 95 hasta HG'da, 84 hasta ise KG'da yer aldı. HG'daki hastaların yaş sınırları 24-81 (ortalama  $61.4 \pm 11.7$ ). KG'daki hastaların yaş sınırları 25-90 (ortalama  $62.3 \pm 13.5$ ) idi.

Yazışma Adresi: Özöner Z. Osmangazi Üniversitesi Tıp Fakültesi Nöroloji ABD

\* Bu çalışma 1 st Congress of the European Federation of Neurological Societies, Mameille, France 9-14 September 1995'te sunulmuştur.

### Çalışmaya kabul kriterleri

1. Nörolojik semptomların oluşumundan sonraki 48 saat içinde tedaviye başlanmış olması,
2. BT ile intrakranial hemorajinin ekarte edilmiş olması,
3. Hct seviyesinin %38.0-50.0 arasında olması,
4. Sistolik kan basıncının ≤ 250 mmHg, diastolik kan basıncının ≤ 130 mmHg olması,
5. Strok başlangıcından önceki 1 ay içinde MI, şiddetli angina pektoris, kontrollsüz aritmî ve ciddî sol ventriküller yetmezliği olmaması,
6. Antikoagulan tedavi almadığı olması,
7. Renal yetmezlik olmaması,
8. Terminal dönemde bir hastalık olmaması,
9. Strok öncesinde günlük yaşam fonksiyonlarında ve nörolojik durumda ileri derecede yetersizliğe neden olacak bir bozukluğun olmaması,
10. Ağrılı uyarana yanıtız derin koma durumunun olmaması,

HG'na alınan 95 hastaya klinigimizce geliştirilmiş olan dinamik hemodilüsyon protokolü uygulandı. Hct değeri %42.0'den fazla olan ve sistolik kan basıncı 130 mmHg olan hastalardan ilk iki gün veneseksiyon yoluyla 500 ml, Hct değeri %38.0-41.90 olanlardan ise 250 ml kan alındı. Hastalara eş zamanlı olarak diğer koldan olmak üzere total 500 ml %6'luk HES 200/0.5 infüzyonu sağlandı.

Üç, dört ve beşinci günler hiçbir hastaya veneseksiyon yapılmadı. Fakat tüm hastalara 500 ml %6'luk HES 200/0.5 infüzyonu uygulandı. Tüm hastaların tam kan değerleri 10 gün boyunca günlük olarak kaydedildi.

Nörolojik değerlendirme, Robert ve ark.'nın ortaya koyduğu Hemisferik Strok Skalası kullanılarak yapıldı (4).

Verilerin gruplar arasında karşılaştırılması için student t testi ve Chi kare testleri kullanıldı.

### Subgrup Analizleri

Hastalar ayrıca cinsiyet, yaş, medikal öykü, sigara alışkanlığı, tedaviye başlama zamanı, girişteki Hct düzeyi, veneseksiyon volumü, atrial fibrilasyon (AF) varlığı ve beyin infarkt lokalizasyonlarına göre subgrublara ayrılp, bu grublardaki iyileşme ve vaka ölüm oranları açısından araştırıldı.

### BULGULAR

Çalışmaya aldığımız akut iskemik strok tanaklı 179 hasta (HG n=95, KG n=84)'nın yaş, cinsiyet ve prognostik risk faktörleri açısından durumları Tablo I'de gösterilmiş olup gruplar arasında tüm bu değişkenler açısından istatistiksel olarak önemli bir farklılık yoktu.

HG'da veneseksiyon ve %6'luk HES 200/0.5 infüzyonu sonrasında Hct değeri ortalama  $45.4 \pm 3.3$ 'den ortalama  $37.6 \pm 2.6$ 'ya düştü ( $p < 0.05$ ). Sıfırıncı gün nörolojik deficit skoru; HG'da ortalama 45.6 puan, kontrol grubunda ise 50.4 puandi. Üçüncü gün yapılan değerlendirmede HG'daki 92 hastanın (3 hasta eksitus) 75'inde (%81) düzelleme mevcuttu. KG'de ise 82 hastanın (2 hasta eksitus) 52'sinde (%63) düzelleme görüldü. Üçüncü gündeki ortalama nörolojik deficit skoru HG'da 39.6, KG'da 48.2 puandi ( $p < 0.001$ ). Beşinci gün yapılan değerlendirmeye göre ise HG'daki 91 hastanın (%76) 76'sında, (%83) KG'da ise 80 hastadan 61'inde (4 hasta eks) skor düzelmeye görüldü. Ortalama skorlar HG'da 35.5 KG'da ise 43.2 olarak değerlendirildi ( $p < 0.05$ ). (Tablo II)

Üçüncü ayda yapılan değerlendirmelere göre, HG'daki 83 hastanın (12 hasta eks) 77'sinde, (%92) KG'daki 72 hastanın (12 hasta eks) 62'sinde, (%86) nörolojik deficit skorları açısından düzelleme gözleendi. Ortalama nörolojik deficit skorları HG'da 26.9, KG'da ise 31.7 puandi ( $p > 0.05$ ).

Tablo I : Yaş, cinsiyet ve medikal öyküye göre 95 hemodilüsyon ve 84 kontrol hastasının verileri.

		HG	KG
Yaş (Yıl)	ortalama	61.4 11.7	62.3 13.5
	yaş sınırları	24-81	25-90
Erkek/Kadın (%)		54/46	51/49
Medikal öykü (%)	Hipertansiyon	65	51
	Diyabetes Mellitus	17	21
	Serebrovasküler Hastalık	19	12
	Atrial Fibrilasyon	21	21
	Kalp Hastalığı	43	46
Sigara Alışkanlığı (%)		41	31
Alkol Alışkanlığı (%)		9	4
Horlama (%)		39	30
Genel Anestezi Öyküsü (%)		31	21

Tablo II : Hastaların çalışma süresi boyunca (0., 3., 5. günler ve 3. ay) hemisferik strok skalasına göre aldıkları puanlar (ortalama olarak)

	0. gün	3. gün	5. gün	3. ay
HG	45.6	39.6	35.5	26.9
KG	50.4	48.2	43.2	31.7

Hastaların skorlarındaki düzelleme miktarı (girişteki nörolojik skor ile üçüncü aydaki nörolojik skor arasındaki fark) açısından gruplar arasındaki farklılar önemli olmadığı görüldü ( $t:0.005, 50: 10.638, p:0.0996 > 0.05$ ) (Tablo III).

Tablo III : Hastaların çalışmaya giriş nörolojik skoru ile 3. gün, 5. gün ve 3. ay nörolojik skorlar arasındaki farklar.

	3. gün	5. gün	3. ay
HG	6.0	10.1	18.8
KG	2.2	7.2	18.7

Tablo IV : Akut iskemik stroklu 95 Hemodilüsyon ve 84 kontrol hastasında cinsiyet, yaş ve risk faktörlerine göre klinik sonuçlar.

	Sayı		Ölüm Oranı (%)		İyileşme Puanı	
	HG	KG	HG	KG	HG	KG
Cinsiyet						
Erkek	54	43	63.6	50.0	19.6	18.2
Kadın	41	41	36.4	50.0	17.7	19.3
Yaş						
66	62	44	72.7	58.3	18.8	19.3
66-74	25	27	27.2	33.4	18.1	16.9
75	8	13	0.0	8.3	19.7	17.4
Medikal Öykü						
Strok	18	10	27.2	33.3	20.4	22.0
Hipertansiyon	62	43	72.7	58.3	16.5	17.4
Kalp Hastalığı	41	39	54.5	58.3	19.8	20.3
Diyabetes Mellitus	16	18	18.1	33.3	18.0	23.4
Atrial Fibrilasyon	20	18	36.3	41.6	27.0	19.3
Sigara	39	26	58.3	41.6	17.5	18.7

Üçüncü aylık izleme dönemi sonunda vaka ölüm oranı HG'da %12.6, KG'da ise %14.2 idi ( $p>0.05$ ). Ortalama hastanede kalış süresi HG hastalarında 12.3 gün, KG'da ise 14.4 gün olup 2 grup arasında önemli bir farklılık yoktu ( $p>0.05$ ).

#### Subgrup Analizleri

Vakaların ölüm oranı yaş, cinsiyet ve risk faktörleri subgruplarına göre değerlendirildiğinde, HG ile KG hastaları arasında önemli farklılık

görülmeli. Tablo IV de görüleceği gibi tüm subgruplarda ilk üç ayda nörolojik skor yükselmesine rağmen nörolojik defisitlerdeki iyileşme miktarı açısından HG ile KG hastaları arasında AF'lu hastalar dışında önemli farklılık bulunamadı. HG'daki AF'lu hastalar, KG'daki AF'lu hastalara göre daha fazla nörolojik iyileşmeye sahip (p<0.01).

HG'daki hastalar tablo V'te görüldüğü gibi tedaviye başlama zamanına göre 3 ayrı subgrupta incelendiğinde ilk 12 saat içinde tedaviye alınan hastalar (1. subgrup) ile diğer subgrup hastaları arasında nörolojik iyileşme skoru açısından istatistiksel olarak önemli bir farklılık bulunamadı ( $p>0.05$ ). (AF'lı hastalar dahil)

Hastalar serebral infarkt lokalizasyonuna göre kortikal (büyük damar) ve derin (küçük damar) infarktı olarak 2 subgruba ayrıldı. Bu subgruplara göre de tablo VI'da görülebileceği gibi ne nörolojik iyileşme, ne de mortalite açısından subgruplar arasında önemli bir istatistiksel farklılık bulunamadı ( $p>0.05$ ).

Tablo V : 95 HG hastasında tedaviye başlama zamanına göre hasta sayısı ve nörolojik iyileşme puanı.

	Tedaviye Başlama Zamanı (saat)	Hasta Sayısı	İyileşme puanı (3. ay)
1. subgrup	12	29	20.5
2. subgrup	13-24	41	17.6
3. subgrup	25-48	25	18.5

Tablo VI : HG hastaları arasında serebral infarkt lokalizasyonuna göre ortalama nörolojik iyileşme miktarı ve vaka ölüm oranı.

	BT Bulgusu	Hasta Sayısı	Ölüm Oranı (%)	Ortalama Nörolojik İyileşme Puanı
1. subgrup	Kortikal İnfarkt (büyük damar)	63	12.6	19.8
2. subgrup	Derin İnfarkt (Küçük damar)	32	12.5	16.6

## TARTIŞMA

İskemik stroklu hastalarda hemodilüsyon uygulaması ile ilgili eski kontrollü klinik araştırmalar çelişkili sonuçlar vermektedir. 1970'li yılların sonlarına kadar gerçekleştirilen ve hepsi hipervolemik özellikler taşıyan bu hemodilüsyon çalışmalarının hiçbirinde Hct 'teki değişimler rapor edilmemiştir.

Strand ve ark. (5) kontrollü, randomize prospектив bir çalışma ile veneseksiyon ve dekstran 40 uygulamasının sonuçlarını araştırmışlardır. Bu çalışma izovolemik hemodilüsyon uygulamasına yer verilen ilk kontrollü çalışmадır. Araştırmacılar çalışma sonunda %2-8 arasında mortalite azalması ile %20 oranında daha yüksek düzeyde nörolojik iyileşme gözlemlemişlerdir. Ancak aynı araştırmacılar bu yararlı etkileri multisentrik olarak gerçekleştirdikleri çalışma ile tekrar elde edememişlerdir (6).

Bizim çalışmamızın genel strok populasyonumuzun %42'si (426 stroklu hastanın 179'u) gibi oldukça büyük bir kısmını içermesi sonuçlarımızın geçerliliği açısından önemli bir avantaj sağlamaktadır.

Çalışmamızda kullandığımız HES 200/0.5 özellikle son yillardaki hemodilüsyon çalışmalarında sıkça kullanılan kolloid bir ajandır (7,8). %6 ve %10'luk solüsyonları dekstran 40'in reolojik etkilerine benzer sonuçlar vermektedir. Bunun yanında koagülasyon sorunları ve allerjik reaksiyon insidensi dextran'dan daha düşüktür. Tekrarlanan infüzyonları plazma akümülasyonuna ve viskozite artısına sebep olmaktadır (9).

Deneysel çalışmalar Hct düzeyinde bazal düzeyinin en az %15'i kadar bir azalma sağlanan viskoziteyi azaltıp SKA'da artış sağlayacağını göstermektedir (10). Bizim çalışmamızda %17.1 oranında gerçekleşen Hct azaltımı bu veriler doğrultusunda değerlendirildiğinde anlamlı ve başarılı bir düzeydedir.

Hemodilüsyon girişimi uygulanan hastalarda tedavinin akut döneminde (ilk beş gün) saptadığımız nörolojik düzelleme Grotta (7), Goslinga (11) ve Koller'in (12) çalışmalarında da ortaya çıkan olup literatürle uyumludur.

Kronik AF'lu hastalarda SKA'nın azaldığı ve bu azalmanın atriyumlardaki sistol kaybindan dolayı

kardiyak output'da %25 ile %33 arasında gözlenen bir azalma ile birlikte olduğu gösterilmiştir (13). Kronik AF'da ortaya çıkan SKA azalmasının kişisi serebral iskemik hasara daha yatkın bir hale getirmesi olasıdır. Hemodilüsyon girişimi, azalmış kardiyak output'u ve SKA'yı artırrarak AF'lu hastalarımızdaki pozitif sonuçları doğurmış olabilir. Ancak AF'lu hastalarda yararlı etkinin ilk günlerde değilde 3. ayda görülmeye yönelik bir açıklama yapamadık.

AF'lu hastalarda kronik serebral perfüzyon yetmezliği belki serebral kollateral yetersizliği ile birlikte bulunmakta olup hemodilüsyon ile serebral kalloteral rezerv kapasite aktif hale gelmekte ve bu değişim tedavinin ilk günlerinde değil de 3. aydaki klinik iyileşmeye yansımaktadır (Uzun bir süre sonu klinik iyileşmeye yansayan yararlı etki).

İskemik strok'ta hemoreolojik tedavi prensiplerinin geçerliliği için kollateral kan desteğinin varlığına ihtiyaç duyulur (14). Büyük damar oklüzyonlu hastalarımızda iyileşme skorlarının istatistiksel olarak anlamlı olmasa da daha yüksek bulunması tedavinin etkinliğinde kollateral kan dolasımı varlığına olan ihtiyacı destekler niteliktidir.

Sonuç olarak, çalışmamızda akut iskemik stroklu hastalarda izovolemik hemodilüsyon girişiminin AF'lu hastalar dışında uzun dönemdeki sonuçları üzerine olan pozitif etkinliği, iskemik penumbra bölgesinde daha çok bu dönemde gözlenen hipoperfüzyon durumunun düzeltilmesi ile ortaya çıkmaktadır. Akut dönemde gözlediğimiz pozitif sonuçların, uzun dönem sonuçlarına yansımamış olması hemodilüsyon tedavi süresinin yetersizliği ile ilişkili olabilir. Bu durum daha uzun etkili plazma genişleticiler kullanılması veya tedavi süresinin uzatılması ile araştırılmalıdır.

## KAYNAKLAR

1. Wood JH, Kee DB JR : Hemorheology of the cerebral circulation in stroke. *Stroke* 1985;16 : 765 - 772,
2. Gündoğan NÜ : Reoloji, *Gazi Tıp Dergisi* 1990;1 : 14 - 23,
3. Harrison MJG, Pollock S, Kendall BE, Marshall J : Effect of hematocrit on carotid stenosis and cerebral infarction. *Lancet* 1981;2 : 114 - 115,
4. Adams RJ, Meador KJ, Seathi KD, Grotta JC, Thomson DS :

- Graded neurologic scale for use in acute hemispheric stroke treatment protocols. *Stroke* 1987;18: 665 - 669,
5. Strand T, Asplund K, Eriksson S, Hagg E, Luthner F, Wester PO: A Randomized controlled trial of hemodilution therapy in Acute Ischemic Stroke. 1984;15:980 - 989,
6. Scandinavian Stroke Study Group : Multicenter trial of hemodilution in ischemic stroke - Background and study protocol. *Stroke* 1985;16:885 - 890,
7. Hemodilution in Stroke Study Group : Hypervolemic hemodilution treatment of acute stroke. Results of a randomized multicenter trial using pntastarch. *Stroke* 1989;20: 317 - 323,
8. Mast H, Marx P : Neurological deterioration under isovolemic hemodilution with hydroxyethyl starch in acute cerebral ischemia : *Stroke* 1991;22: 680 - 683,
9. Kroemer H, Haass A, Müller K, Jager H, Wagner EM, Heimburg P, Klotz U: Hemodilution therapy in ischemic stroke : plasma concentrations and Plasma Viscosity during long - term infusion of Dextran 40 or Hydroxyethyl Starch 200/0.5. *Eur. J. Clin Pharmacol.* 1987;31 : 70005 - 710,
10. Wood JH, Simeone FA, Flink EA, Golden MA: Hypervolemic hemodilution in experimental focal cerebral ischemia. Elevation of cardiac output, regional cortical blood flow, and ICP after intravascular volume expansiyon with low molecular weight dextran. *J. Neurosrg* 1983;59 : 500 - 509,
11. Gostlinga H, Ewzenbach V, Heuvelmans JH, Van-der-Laan-de-Vries-E, Melis UM, Schmid Schonbein H, Benzener PD: Custom-tailored hemodilution with albumin and crystalloids in acute ischemic stroke. *Stroke* : 1992;23 (2) : 181-8,
12. Koller M, Haenny P, Hess K, Weniger D, Zanger P : Adjusted hypervolemic hemodilution in acute ischemic stroke. *Stroke* 1990;21:1429-1434,
13. Godfredsen J, Petersen P : Thromboembolic complications in atrial fibrillation. In Refsum H, Sulg IA, Rasmussen K (eds) : Heart Brian and Heart Heidelberg, Springer - Verlag, 1989, pp 225-229,
14. Toghi H, Yamanouchi H, Murakami M et al; Importance of the hematocrit as a risk factor in cerebral infarction. *Stroke* 1978;9:369,

## BEYİNİÇİ KANAMALarda BİLGİSAYARLI TOMOGRAFİ ÖZELLİKLERİ İLE ÖLÜM ORANI İLİŞKİSİ

Atilla OĞUZHANOĞLU, Türker ŞAHİMER, Tülay KUAT, Güneş PAY

Pamukkale Üniversitesi Tıp Fakültesi Nöroloji AD., Denizli

### ÖZET

Kliniği akut strok görünümüne uyan ve bilgisayarlı tomografi ile kanıtlanan toplam 62 beyiniçi kanama olgusu BT özelliklerini ve mortalite yönünden karşılaştırıldı. İlleri yaş, hematom büyülüğu, ventrikül içine kanama ve şift varlığının ölüm oranını artırdığı; hipertansiyon ise azalttığı belirlendi. İlgili literatür gözden geçirildi.

**Anahtar kelimeler:** Beyiniçi kanama, Bilgisayarlı beyin tomografisi, ölüm oranı.

### COMPUTERIZED TOMOGRAPHIC PROPERTIES OF INTRACEREBRAL HAEMORRHAGE AND RELATION TO MORTALITY

Sixty-two patients with intracerebral haemorrhage were evaluated in respect to computed tomography(CT) findings and mortality. Advanced age, large hematoma size, intraventricular extension of haemorrhage and existence of midline shift increased the mortality, while associated hypertension decreased.

**Key words:** Intracerebral haemorrhage, Computed cerebral tomography, mortality.

### GİRİŞ

Bilgisayarlı beyin tomografisinin (BT) rutin tip uygulamasına girmesinden önceki dönemlerde akut strok olaylarının hemorajik ya da iskemik olduğu biçimindeki ayrı temel olarak klinik verilere dayanmaktadır. Bilgisayarlı tomografinin rutin kullanımı ile beyin içi kanama olaylarının tanısı ve gerçek insidansı eskiden olduğuna göre daha iyi ve tam kesinlikle yapılabilmektedir (1-10). Eski dönemde insidans çalışmalarınekropsi olgularına dayanmaktadırken BT çağında artık, yaşayan beyin kanamalı olgular da tanınlamaktedir hatta klinik olarak sessiz kalabilen ya da eskiden iskemik olduğu sanılan (15) olgular da saptanabilmektedir (4-7-8).

Çeşitli çalışmalarında bildirilen beyiniçi kanama insidensi yılda 100 000 de 12-35 dir (6-9-12). Tüm strok olayları içindeki oranı ise % 10-25 olarak bildirilmektedir (5-9-11-13).

Beyiniçi kanamalarda ölüm, infarktlara göre daha erken dönemde ve ilk günler içinde ortaya çıkmaktadır. Bu dönemde hematomun yeri, büyülüğu, ventrikül içine kanamanın ya da orta hat yapılarında şiftin olup olmadığıının belirlenmesi hastaya klinik yaklaşımda oldukça önem taşımaktır ve sağaltımın konservatif ya da cerrahi olup olmayacağı konularında karara götürücü olmaktadır. BT yardımı ile en erken dönemde beyiniçi kanama ile ilgili söz konusu özellikler saptanabilir. BT görünümü ile mortalite hakkında fikre sahip olunabilir.

### GEREÇ VE YÖNTEM

1990-1995 yıllarında Elazığ Devlet Hastanesi ve Pamukkale Üniversitesi Tıp Fakültesi Nöroloji bölümnerine başvuran, kliniği akut strok ile uyumlu olan ve BT ile kanıtlanan 62 beyiniçi

kanama olgusu, BT özellikleri ve ölüm oranını yönünden değerlendirildi. Travma, anevrizma ya da infarkta bağlı olabileceği düşünülen olgular çalışmaya alınmadı. Tüm olgular, hipertansiyon (HT) başta olmak üzere eşlik eden diğer sistemik hastalıklar yönünden değerlendirildi. Öyküde hipertansiyonu olduğu saptananlar kronik hipertansiyon; saptanmayanlar ve akut dönemden sonra antihipertansif sağaltıma gerek görülmeyen ancak akut evrede kan basıncı ölçümleri 140/90 değerlerinden yüksek bulunanlar akut hipertansiyon olarak tanımlandı.

Kliniğe alındıkları andaki nörolojik durumları göz önüne alınmadan tüm BT'ler, kanamanın yeri, en büyük göründüğü kesitteki hematom alanı, ventrikül içine kanamanın olup olmadığı şift ve hidrosefalus varlığı yönlerinden değerlendirildi.

Hematom alanlarının hesaplanması şu biçimde yapıldı: negatoskopa takılı BT filmi üzerine yarı saydam milimetrik bölmeli kağıt konularak hematom kenarları kağıt üzerine çizildi, milimetrik kareler sayılarak gerçek büyülüğe santimetre kare olarak çevrildi (Örneğin: 63 kare sayılmışsa ve film üzerindeki 5 cm lik ölçek cetvel ile 1.5 cm ölçülmüşse: hematomun gerçek büyülüğu =  $63 \times (50 / 15)^2 = 63 \times (100 / 9) = 700 \text{ mm}^2 = 7 \text{ cm}^2$ ). Tüm olgular yatarak ya da taburcu edildikten sonra ayaktan en az bir ay süre ile izlendiler. Tümüne uygulanan sağaltım şeması aynı idi. Ek olarak sistemik bir hastalık varsa gerekli özgül sağaltım ayrıca uygulandı.

Elde edilen sonuçlar Macintosh LC bilgisayarda Statview the interactive Statistics and Graphics paket programıyla chi kare, Mann-Whitney U ve Kruskal Wallis testleri ile değerlendirildi.

## BULGULAR

Yaş ortalaması (Standart kayma) 60,45( 12,74) olan 62 (37 kadın yaş ort:59,76; 25 erkek yaş ort: 61,48) olgu çalışmaya alındı. Kanamanın başlangıcından sonra BT çekim süresi ortalama olarak 2,28 gün idi. Bir aylık izleme süresi sonunda 20 hastanın öldüğü 42 hastanın ise tam ya da kısmen düzeldiği gözlandı (ölenlerin 12'si kadın, 8'i erkekti, ölüm oranı: % 32,26). Cinsiyete göre ölüm oranı açısından bir fark saptanmadı ( $p=0,9715$ ).

Hematom alanları ile ölüm oranı ilişkisi tablo 1'de gösterilmiştir. Alanlar yönünden ölen ve sağ kalanlar karşılaştırıldığında son iki grubun ölüm oranları anlamlı olarak daha fazladır( $X^2=11,338$   $p=0,01$  ve  $X^2=8,804$   $p=0,015$ ).

Tablo 1: Hematombulananlar(Ceyrekler) ve ölen olgular

	Ölü(Sayı)	Sağ(Sayı)
A(0.45-2.25)	1	15
B(2.26-4.55)	3	12
C(4.56-8.70)**	8	8
D(8.71-18.00)*	8	7
Toplam	20	42

\*: $c^2=11,34$   $p=0,01$ \*\*: $c^2=8,41$   $p=0,015$ 

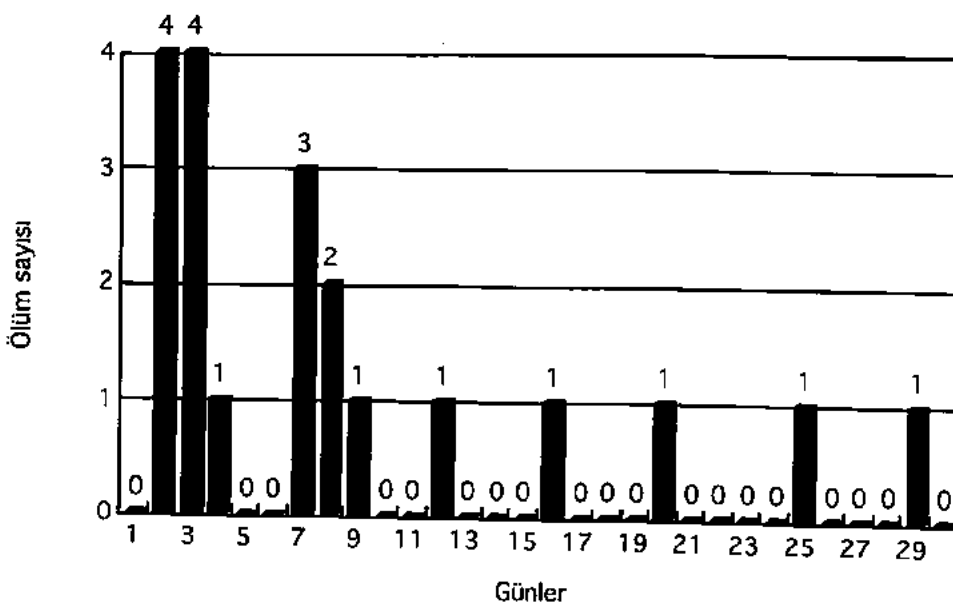
Ölen ve sağ kalanların yaş ortalamaları farklı anlamlı bulundu (Mann - Whitney U  $Z = -2,409$ )

$\alpha=0,016$ . Çeyreklerde (quartile) ayırarak yaşa göre mortalite incelendiğinde (tablo - 2) yaş grupları arasındaki ölüm oranı farkı 71-90 yaş grubu için anlamlıydı( $X^2=9,99$   $p=0,0187$ ). Diğer grupların farkı anlamlı değildi( $X^2=1,85$   $p=0,3959$ ).

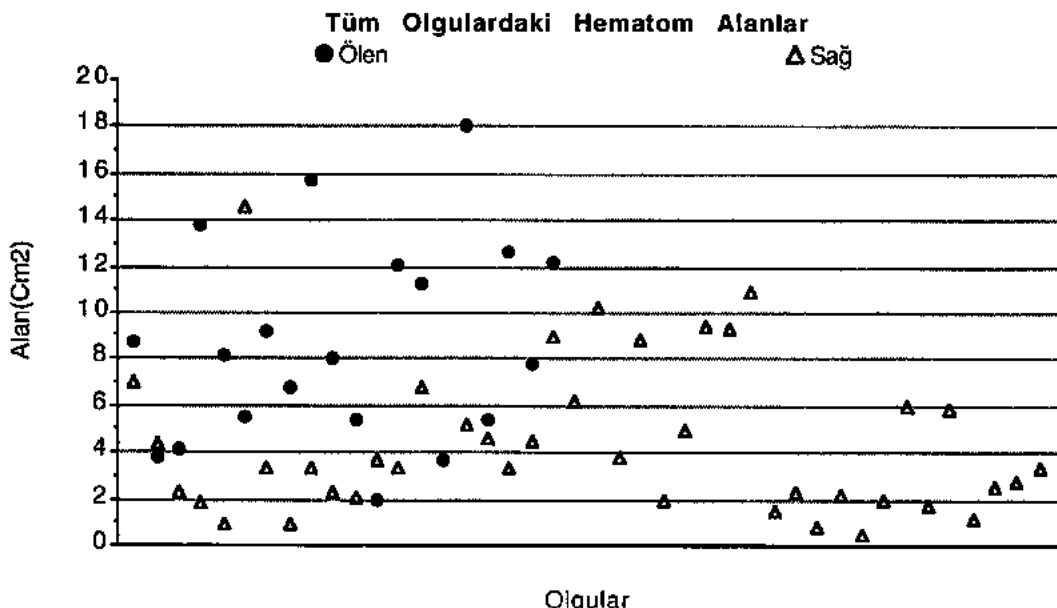
Tablo 2: Yaşa göre ölüm oranı

Yaş(Ceyrek)	Sağ	Ölen
21-53	15	3
54-63	9	5
64-70	13	3
71-90	5	9
Toplam	42	20

Ölen 20 olguda ölümlerin ortaya çıkma süresi ortalaması 8,6 (2-29) gün olup (Grafik-1) % 80'i ilk 12 günde gerçekleşmiştir. Ölen olguların 7 tanesinde hipertansiyon varken 13 olguda hipertansiyon saptanmamıştır. Bu olguların ölüm süreleri karşılaştırıldığında HT'lu olgular (ölüm süresi ortalaması :13 gün), HT'u olmayanlardan (ölüm süresi ort:6,1 gün) daha uzun yaşamışlardır (Mann-Whitney U ,  $U=73,5$   $p<0,05$ ). Hematombulananlar yönünden HT'lu olgularla HT'suz olguların alanları farkı anlamlı değildir (Mann-Whitney U  $Z=-1,805$   $p<0,064$ ). Şifti olan 15 olgunun ölüm süresi(ort:8,87), olmayan 5 olgunun süresinden (ort:13,4) farklı değildir( $U=47$   $p>0,05$ ). İVK hematombulanan, ölüm süresine etkide bulunmamıştır ( $X^2=3,585$   $p=0,1665$ ). (Grafik-2)



Grafik-1: Gündelere göre ölen olgu sayısı. İlk üç günde 8(% 40) dokuz gündede 15 (%75) ölüm görülmektedir.



Grafik-2: Tüm olgularda hematom alanlarının dağılımı. Ölen olgulardaki en düşük hematom alanı değeri 2 cm<sup>2</sup> dir. Bu değerden daha düşük değerde yaşayan 7 olgu vardır.

Ventrikül içine kanamanın varlığı (tablo 3) anlamlı oranda ölüm oranı farkına yol açarken ( $\chi^2=3,939$  p=0,0472), ölüme degen geçen süre açısından anlamlı bir fark ortaya çıkarmamıştır (IVK'lı 13 olgunun ölüm süresi ortalaması 7,87 gün ve IVK olmayan 7 olgunun ölüm süresi ortalaması 9,87 gün; U=62,5 p>0,05). Ventrikül içine kanamanın alanları karşılaştırıldığında ölen olguların alanlarının ortalaması (13 olgu) yaşayan VIK'lı olguların (16 olgu) hematom alanları ortalamasından farklı bulunmamıştır.

Tablo 3: HT, VIK ve Şift'e göre ölen ve yaşayan olgu sayıları

	VIK		HT		Şift	
	Var	Yok	Var	Yok	Var	Yok
Sağ	15	26	29	13	19	23
Ölen	13	7	7	13	15	5
Top.	28	33	36	26	34	28

Akut ya da kronik hipertansiyon saptanan 36 olguda (% 58,06) ölen ve sağ kalanlar tablo 3'de gösterilmiştir. HT'u olup sağ kalan olgular HT'u olmayanlara göre anlamlı ölçüde fazladır ( $\chi^2=6,45$  p=0,0111). Hipertansiyonlu olgulardaki hematom yerleşimi tablo 4'te görülmektedir. Derin ve lobär yerleşim karşılaştırıldığında HT'lu olgularda derin yerleşim (bazal ganglionlar ve talamus) daha fazladır ( $\chi^2 = 27,274$  p = 0,0001). HT varlığı, ventrikül içine kanama yönünden anlamlı bir fark yaratmamaktadır ( $\chi^2=2,144$  p=0,1431). VIK alanı açısından HT olan ve olmayan olgular

karşılaştırılacak olursa HT'u olan olgulardaki VIK alanları ortalaması da farklı değildir (Mann-Whitney U Z=-1,369 p>0,05).

Tablo 4: Hematom yerleşimine göre ventrikül içine kanama, hipertansiyon, şift sonuçları.

		VIK		HT		Şift		n
		Var	Yok	Var	Yok	Var	Yok	
Lober(19)	ölen	2	2	0	4	4	0	4
	% 30,64	Sağ	5	10	11	4	5	10
Derin (36)	Ölen	10	4	6	8	9	5	14
	% 58,06	Sağ	9	13	15	7	9	13
Lob+Der(3)	Ölen	1	1	1	1	2	0	2
	% 4,84	Sağ	1	0	1	0	1	0
İnftr.(4)	Ölen	0	0	0	0	0	0	0
	% 6,45	Sağ	1	3	2	2	4	0
								4

Hematom lateralizasyonu açısından ölüm oranları arasında bir fark yoktur.

Lokalizasyon yönünden bakıldığına ölüm oranları arasında bir fark saptanmamıştır ( $\chi^2=1,797$  p=0,1801)(Tablo 5). Lober(% 30,64) ve derin (% 58,06) hematomların ventrikül içine kanamaya yol açmaları yönünden de bir fark saptanmamıştır(Lober 7 olguda; derin 19 olguda IVK saptanmıştır , ( $\chi^2=1,267$  p=0,2603)). Yine lokalizasyon yönünden şifte yol açma farklı olup olmadığına bakıldığına (tablo 4) anlamlı bir fark bulunmamıştır (Lober 9 olguda; derin 18 olguda şift bulunmuştur,  $\chi^2=0,034$  p=0,8527).

Tablo 5: Kanama yerleşimine göre ölüm oranı

Yerleşim	ölen(Sayı)	Sağ(Sayı)
Lober	4	15
Derin	14	22
Lob+Der	2	1
İnfratnt	0	4

Üç milimetreden daha az olan olguların **sifte** yol açmadığı kabul edilmiş, 3 ve daha fazla mm şifti olan olgular değerlendirildiğinde; ölen olgular arasında yaşayanlara göre daha çok sayıda şifili (tablo 4) olgu saptanmıştır ( $\chi^2=8,373$   $p=0,0038$ ). (Ölen olguların şif miktari ortalaması ( 2,966mm) yaşayan olguların şif ortalamasından(1,69 2,404 mm) daha büyük bulunmuştur (Mann-Whitney U  $Z=-2,914$   $p=0,0036$ ).

## TARTIŞMA

Bu çalışmada bir aylık süre sonunda % 32,26'lık bir ölüm oranı bulunmuştur. Bu oran literatürde belirtilen bazı oranlardan yüksek (2,4,17); diğerlerinden ise düşüktür (5,7,8,9,14,16). Cinsiyet ile ölüm oranı ilişkisi diğer yaynlarda da olduğu gibi anlamlı değildir.

Ölen ve yaşayan olguların yaş ortalamaları karşılaştırıldığında ölenlerin ortalaması anlamlı olarak daha büyütür( $p<0,05$ ). Literatürde bu bulguya aynı biçimde destekleyen çalışmalar (15,17) olduğu gibi 6 aylık sürede(2) ya da 2 gün ile bir yıllık sürede etkili olduğunu(16) öne sürerek destekleyen çalışmalar vardır.Tam aksine yaşın mortaliteye etkisi olmadığı da öne sürülmüştür (4,7,8). Çeyreklerle ayrılarak yaş grupları kendi aralarında ölüm oranı yönünden karşılaştırıldığında 71-90 grubunda daha fazla ölüm vardır

Hematom büyüklüğü literatürde çeşitli biçimlerde hesaplanmıştır. Yalnızca en büyük çapı değerlendirenler(15,17) olduğu gibi en büyük kesitteki çapların ortalamasını alanlar(2,3,18), alan hesaplayanlar(17) ve hacim hesaplayanlar (4,8,10,11,14,16) olmuştur. Bizim çalışmamız ile birlikte hemen tüm çalışmalar hematom büyülüğünün bir aylık ölüm oranına olumsuz etkisi olduğunu ortaya koymaktadırlar. Biz 4,56 cm<sup>2</sup> den büyük hematomların ölüm oranını artırdığını saptadık. Ölen olguların en düşük hematom alanı ise 2 cm<sup>2</sup> dir.Oysa yaşayan olguların yedisinde alan 2 cm<sup>2</sup> den daha küçüktür ve hematom alanlarının ilk çeyreğinde (yani 2,25 cm<sup>2</sup> den daha küçük alana sahip) 15 olgu bulunmaktadır. Bu, küçük boyuttaki hematomların iyi prograşa sahip olduklarının bir göstergesidir (17).

Serimizde 2. günün sonunda ölümlerin %20'si 3. günün sonunda % 40'ı ve 9. günün sonunda %

75'i gözlenmiştir. Kanamayı izleyen ilk günlerde yüksek oranda ölüm gözlendiği sıkça bildirilmiştir (3,4,5,8,9,14,16). Bu çalışmanın bulguları da bu doğrultudadır ve kanamayı izleyen ilk iki haftanın önemini göstermektedir. Olguların başvurma sürelerinin görece geç olması ve başvuran olgularda BT çekiminin görece geç yapılmış olması fatalitesi yüksek olan (4,9,17) beyin sapı olgularının serimizde daha az temsil edilmesine ve böylelikle ilk günlerdeki ölüm oranının daha düşük görünmesine yol açmış olabilir.

Serimizde akut ya da kronik hipertansiyon oranı % 58,06'dır. Hipertansiyonu olup ta yaşayan olgu sayısı ölenlere oranla anlamlı ölçüde fazladır ( $p<0,05$ ). Ölen olgular arasında hipertansiyonu olanlar olmayanlara göre daha uzun bir süre sonunda ölmüşlerdir ( $p<0,05$ ). BİK başlangıcından sonraki ilk 24 saat içinde ortaya çıkan nörolojik kötüleşmenin olası nedenleri olarak hematomun kitlesel büyümesi, kafaiçi basıncın artımı ve çevredekı beyin dokusunda ortaya çıkan ikincil iskemi sayılabilir. Hipertansiyon(1,6), özellikle akut biçimini (20) ile beyiniçi kanamanın en önde gelen nedenidir. Ancak beyiniçi kanama bir kez ortaya çıktıktan sonra hematomun ceplerere yaptığı basının yarattığı lokal ; ve hematom kitlesi ile ödemini yol açtığı kafa içi basıncının yarattığı global iskemi(6), serebral perfüzyon basıncının yükselmesine; bu da sistemik kan basıncının yükselmesine yol açar (Cushing etkisi). Bu durum, kanamanın akut döneminde hipertansyonun neden birden ve hızla düşürülmemesi gerektiğini gösterir (19,20). Bu çalışmada hipertansiyonlu olguların yaşama süresinin ve oranının yüksek oluşu, hipertansyonun iskemi oluşumuna karşı belli ölçülerde koruyucu rol oynamasına bağlanabilir.

Hipertansiyonlu olgulardaki hematom yerleşimi çoğunlukla derin ( $p=0,0001$ ) yerleşimlidir ki bu bulgumuzu desteklemeyen (16,17) yayınların yanısıra destekleyenler de (1,7,18) vardır.

Lober ve derin yerleşimli hematomları karşılaştırılan çalışmalarında (1,18) ventrikül içine kanamanın derin yerleşimli olanlarda anlamlı ölçüde fazla olduğu vurgulanırken bizim olgularımızda farksız çıkmıştır.

Ventrikül içine kanama anlamlı ölçüde fazla ölüm oranına yol açmıştır. Bu bulgumuz , VIK'nın ölüm oranını artırdığını belirten çalışmalarla (2,4,9,15) uyumludur. VIK alanları ortalamasının ölen olgularda büyük olması da ventrikül içindeki kan hacminin ölüm oranını artırdığını belirten çalışmalarla(3,8,10,14) uyumlu görülmektedir.

Şift varlığının ve nüel fazlalığının ölüm oranını artırdığı da yine diğer çalışmalarla(2,8,16) aynı doğrultudadır.

Özetle belirtilecek olursak ileri yaş, hematom büyülüğu, ventrikül içine kanama ve kanama

alanının büyüklüğü, şift varlığı ve büyülüğu ilk 30 günlük ölüm oranını artıracı; hipertansiyonun varlığı ise azaltıcı etkide bulunmaktadır. Hematom alanı ya da hematom hacmini hesaplamadan ölüm oranını belirlemek yönünden birinin diğerine üstünlüğünü göstermek için başka çalışmalar gereklidir.

## KAYNAKLAR

- 1-Massaro A R, Sacco R L, Mohr J P, Foulkes M A, Tatemichi T K, Price T R, Hier D B, and Wolf P A.Clinical discriminators of lobar and deep hemorrhages: The Stroke Data Bank. *Neurology*1991;41:1881-1885.
- 2-Davera P, Castel J P, Dartigues J F, and Orgogozo J M.Death and functional outcome after spontaneous intracerebral hemorrhage. *Stroke* 1990;22:1-6.
- 3-Portenoy R K, Lipton R B, Berger A, Lesser M L, Lantos G.Intracerebral haemorrhage:a model for the prediction of outcome. *J Neurol Neurosurg Psychiatry* 1987;50:976-979.
- 4-Steiner J, Comori J, and Melamed E. The prognostic value of the CT scan in conservatively treated patients with intracerebral hematoma. *Stroke* 1984;15:279-282.
- 5-Bamford J, Sandercock P, Dennis M, Burn J, Warlow C. A prospective study of acute cerebrovascular disease in the community: the Oxfordshire Community Stroke Project--1981-86. *J Neurol Neurosurg Psychiatry* 1990;53:16-22.
- 6-Mendelow A D. Editorial: Spontaneous intracerebral haemorrhage. *J Neurol Neurosurg Psychiatry* 1991;54:193-195.
- 7-Giroud M, Gras P, Chadan N, Beuriat P, Milan C, Arveux P, Dumas R. Cerebral haemorrhage in a French prospective population study. *J Neurol Neurosurg Psychiatry* 1991;54:595-598.
- 8-Fogelholm R, Nuutila M, Vuorela A-L. Primary intracerebral haemorrhage in the Jyväskylä region, Central Finland, 1985-89: incidence, case fatality rate, and functional outcome. *J Neurol Neurosurg Psychiatry* 1992;55:546-552.
- 9-Anderson C S, Chakera T M H, Stewart-Wynne E G, Jamrozik K D. Spectrum of primary intracerebral haemorrhage in Perth, Western Australia, 1989-90: incidence and outcome. *J Neurol Neurosurg Psychiatry* 1994;57:936-940.
- 10-Young W B, Lee K P, Pessin M S, Kwan E S, Rand W M, Caplan L R. Prognostic significance of ventricular blood in supratentorial hemorrhage: a volumetric study. *Neurology* 1990;40:616-619.
- 11-Tuhrim S, Damrosia J M, Price T R, Mohr J P, Wolf P A, Hier D B, and Kase C S. Intracerebral hemorrhage: External validation and extension of a model for prediction of 30-day survival. *Ann Neurol* 1991;29:658-663.
- 12-Broderick J P, Brott T, Tomsick T, Miller R, and Huster G. Intracerebral hemorrhage more than twice as common as subarachnoid hemorrhage. *J Neurosurg* 1993;78:188-191.
- 13-Weisberg L A. Caudate Hemorrhage. *Arch Neurol* 1984;41:971-974.
- 14-Broderick J P, Brott T G, Duldner J E, Tomsick T, Huster G. Volume of intracerebral hemorrhage. A powerful and easy-to-use predictor of 30-day mortality. *Stroke* 1993;24:987-993.
- 15-Berlit P, Tornow K. Outcome of intracerebral hemorrhage:clinical and CT findings in 326 patients. *European Journal of Neurology* 1994;1: 29-34.
- 16-Franke C L, Van Swieten J C, Algra A, Van Gijn J. Prognostic factors in patients with intracerebral haematoma. *J Neurol Neurosurg Psychiatry* 1992;55:653-657.
- 17-Fieschi C, Carolei A, Fiorelli M, Argentino C, Bozzao L, Fazio C, Salvetti M, Bastianello S. Changing prognosis of primary intracerebral hemorrhage: results of a clinical and computed tomographic follow-up study of 104 patients. *Stroke* 1988;19:192-195.
- 18-Lipton R B, Berger A R, Lesser M L, Lantos G, Portenoy R K. Lobar vs thalamic and basal ganglion hemorrhage: clinical and radiographic features. *J Neurol* 1987;234:86-90.
- 19-Chen S T, Chen S D, Hsu C Y, Hogan E L. Progression of hypertensive intracerebral hemorrhage. *Neurology* 1989;39:1509-1514.
- 20-Caplan L. Intracerebral hemorrhage revisited. *Neurology* 1988;38:624-627.
- 21-Broderick J P, Brott T G, Tomsick T, Barsan W, Spilker J. Ultra-early evaluation of intracerebral hemorrhage. *J Neurosurg* 1990;72:195-199.

## SERE BROVASKULER ATAKLARIN BAŞLANGICININ GÜN İÇİ DAĞILIMI\*

Süleyman KUTLUHAN, Yüksel SANDIKÇI

Kütahya Devlet Hastanesi Nöroloji Kliniği, Kütahya

### ÖZET

Bu çalışma, serebrovasküler atak (SVA) başlangıcının gün içi dağılımını araştırmak amacıyla yapılmıştır. Üç yıl süresinde (1992-1994) Kütahya Devlet Hastanesi Nöroloji Kliniğinde yataş tedavi gören 348 SVA'lı hasta analiz edilmiştir. Tüm SVA'lar sabah saatlerinde (06:01-12:00) daha sık (%42.5) ortaya çıkmıştır. İskemik stroklar da en fazla (%49.4) sabahleyin görülmüş ve bu fazlalık istatistiksel olarak anlamlı ( $p<0.001$ ) bulunmuştur. İntraserebral hemorajî (ISH) ler ise öğle saatlerinde daha çok (%31.2) ortaya çıkmıştır. Fakat günün diğer zamanlarında oluşan ISH'lerle öğle saatlerindeki fazlalık arasında istatistiksel bir anlam saptanmamıştır. Sabah saatlerinde iskemik strokların fazla görülmesi aynı saatlerde kan basıncında da görülen yükselme bağılı olabilir. Riskli zaman peryodlarının gözönünde bulundurulması vasküler hastalığı olan kişilerin tedavisinde önemli olabilir.

**Anahtar kelimeler :** Serebrovasküler atak, serebral infarkt, intraserebral hemorajî, gün içi dağılım

### DIURNAL VARIATION OF ONSET OF CEREBROVASCULAR ATTACKS

The aim of this study was to determine whether diurnal variations occurred in the onset of cerebrovascular attacks (CVA). We analyzed retrospectively 348 treated patients with CVA in Neurology Clinic at Kütahya State Hospital during three years (1992 - 1994). For all CVA types there was a significant (%42.5 -  $p<0.001$ ) diurnal variation with a morning peak between 06:01 am and 12:00 am. The frequency onset of stroke was found to be highest (%49.4) in the morning at the patient of cerebral infarct, and this variation was also a significant ( $p<0.001$ ) result. Intracerebral hemorrhage (ISH) occurred more frequently (% 31.2) in the afternoon (00:01 pm. - 06:00 pm.), but there were no significant differences between other time periods. An increased incidence of ischaemic strokes in the morning might be due to increasing of arterial blood pressure at that time the knowledge of the stroke occurrence in the day time periods is very important for therapeutic strategies

**Key words :** Cerebrovascular attack, ischaemic stroke, intracerebral haemorrhage, diurnal variation.

### GİRİŞ

Serebrovasküler atak (SVA) başlangıcının gün içi dağılımlarının sirkadian bir varyasyon gösterdiği değişik araştırmacılar tarafından bildirilmiştir. İlk yapılan çalışmalarında, SVA'ların gece saatlerinde yoğunluk gösterdiği bildirilmesine (1,2,3) karşın, sonraki çalışmalarında sabah saatlerinde daha sık ortaya çıktıgı rapor edilmiştir (4-6). İskemik ataklar sabah saatlerinde çok görüüp sirkadian bir ritme sahip olmasına karşın (4-5-9), intraserebral ve subaraknoid hemorajilerde sonuçların dağınık olduğu dikkati çekmektedir (2-5-7-11-13).

Bu çalışma retrospektif olarak, 1992-1994 yılları arasında Kütahya Devlet Hastanesi Nöroloji Kliniğinde tedavi edilmiş SVA'lı hastaların atak başlangıç zamanlarının gün içi dağılım özelliklerini araştırmak amacıyla yapılmıştır.

### GEREÇ ve YÖNTEM

Olgular 1992 - 1994 yıllarında, SVA nedeniyle Kütahya Devlet Hastanesi Nöroloji kliniğine yatırılan hastalar arasından seçilmiştir. Olgular nörolojik muayene, bilgisayarlı beyin tomografisi ve gerekince lomber fonksiyon sonuçlarına göre; serebral infarkt (Sİ), intraserebral hemorajî (ISH) ve subaraknoid kanama (SAK) olarak

gruplandırılmıştır. Kesin atak başlangıcı saptanamayan 118 olgu ve TIA'lı hastalar çalışma dışı bırakılmıştır. Sonuçta, 241 Sİ'li, 96 ISH'li ve 11 SAK'lı olmak üzere toplam 348 olgu çalışma materyalini oluşturmuştur.

Atak başlangıçlarının dağılımı; sabah (06.01 -12.00), öğle (12.01 - 18.00), akşam (18.01 - 24.00) ve gece (00.01 - 06.00) olmak üzere 4 zaman dilimine göre yapılmıştır.

Ayrıca, SVA'ların başlangıçları klinik ve laboratuvar incelemeleri ile saptanmış etyolojilerine göre de değerlendirilmiştir.

Elde edilen sonuçlar,  $X^2$  testi ile istatistiksel olarak değerlendirilmiştir.

### BULGULAR

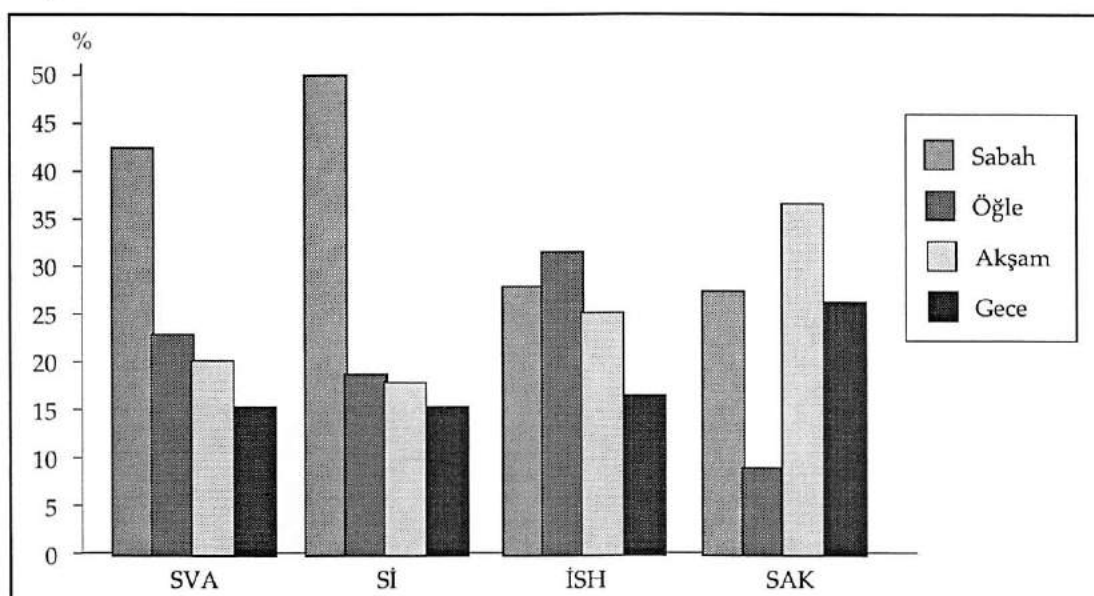
Sİ'lilar 241, ISH'liler 96 ve SAK'lilar 11 olgu olmak üzere toplam 348 hasta değerlendirilmeye alınmıştır. Tüm olguların 187 si kadın, 161 i erkektir.

Tüm SVA başlangıçlarının gün içinde dört zaman dilimine göre dağılımı tablo - 1 ve grafik - 1'de gösterilmiştir. SVA'ın en fazla (148 olgu - %42.5) 06.01 - 12.00 saatleri arasında ortaya çıktıgı

dikkati çekmiştir. Sabah saatlerinde görülen fazlalık istatistiksel olarak da anlamlı bulunmuştur ( $p < 0.001$ ). Sİ'ların da sabah saatlerinde daha çok meydana geldiği (119 olgu - % 49.4) görülmüş olup bunu sırayla öğle (%18.3), akşam (%17.4) ve gece saatleri (%14.9) izlemiştir. Bulguların istatistiksel olarak anlamlı olduğu ( $p < 0.001$ ) saptanmıştır. İSH'ler ise öğle saatlerinde daha fazla görülürken (%31.2 - 30 olgu) bunu sabah (%27.1 - 26 olgu) ve akşam saatlerinde (% 25 - 24) ortaya çıkanlar izlemiştir. İSH en az gece saatlerinde (%16.7 - 16 olgu) görülmüştür. Fakat İSH'lerin dağılımı istatistiksel olarak anlamlı bulunmamıştır.

Tablo -1 SVA'ların gün içi genel dağılımı

	Sabah		Öğle		Akşam		Gece	
	n	%	n	%	n	%	n	%
Toplam	148	42.5	75	21.6	70	20.2	55	15.7
Sİ	119	49.4	44	13.8	42	17.4	36	14.9
İSH	26	27.1	30	31.2	24	25	16	16.7
SAK	3	9.1	1	9.1	4	30.3	3	27.3



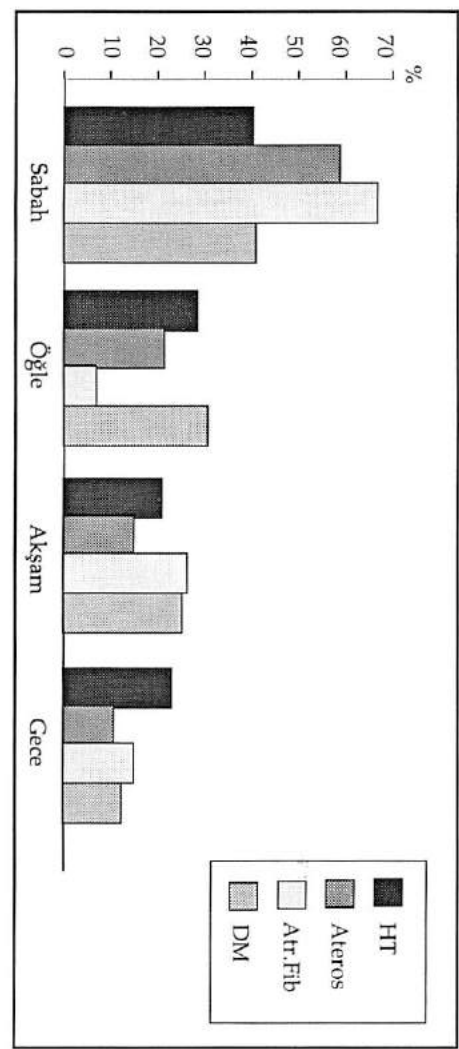
Grafik - 1 SVA'ların gün içi genel dağılımı

Tablo -2 Sİ'lerin etyolojiye göre gün içi dağılımı

	Sabah		Öğle		Akşam		Gece		Toplam
	n	%	n	%	n	%	n	%	
HT	47	39.17	30	25.00	20	19.67	23	19.16	120
Ateros	27	58.69	9	19.57	6	13.05	4	8.69	46
Atr.Fib	37	63.79	2	3.45	12	20.69	7	12.07	58
DM	4	40	3	30	2	20	1	10	10
Ety?	4	57.15	0	0	2	28.57	1	14.28	7
Toplam	119	49.4	44	18.3	42	17.4	36	14.9	241

Sİ'li olgulardaki atakların etyolojilerine göre dağılımı tablo - 2 ve grafik - 2' de sunulmuştur. Hipertansiyon (HT), ateroskleroz, atrial fibrilasyon (AF) ve diabetes mellitus (DM) zeminde gelişen Sİ'ların sabah saatlerinde daha sık ortaya çıktıgı dikkati çekmiştir.

HT akşam, AF öğle saatlerinde en az Sİ nedeni olurken, ateroskleroz ile DM gece saatlerinde en az Sİ sebebi olmuştur. Ateroskleroz ve AF zeminde gelişen Sİ'ların sabah saatlerinde sık görülmesi istatistiksel olarak da anlamlı ( $p < 0.001$ ) bulunmuştur.



Grafik - 2: Sİ'lere göre gün içi dağılımları

İSH'li hastalarımızdan 86 içinde (%88) HT, 3 içinde DM, 3 içinde ateroskleroz saptanmıştır. 4 hastada ise herhangi bir risk faktörü tespit edilememiştir. HT'a göre dağılmış ise genel dağılmış arasında paralellik görülmüştür. Akşam saatlerinde ortaya çıkan İSH olgularının tümünde etyoloji olarak HT saptanmıştır.

11 hastaya SAK tanısı konulmuştur. Olu sayıısı değerlendirmeye için yetersiz olduğundan sağılıklı sonuç bildirmek mümkün olmamıştır. Bu hastaların dağılımı, tablo-1 de gösterildiği gibi sabah 3, öğle 1, akşam 4 ve gece 3 olgu şeklindedir.

#### TARTIŞMA

SVA başlangıcının gün içi dağılımı ile ilgili çok sayıda çalışma yapılmıştır. Bu konudaki ilk araştırmalar Agnoli ve Marshall tarafından yapılmış ve SVA'ların gece saatlerinde daha sık ortaya çıktığı görülmüştür (1,2). Sonraki çalışmalarında çoğunluğun sabah saatlerinde olduğu rapor edilmiştir (5,7,11). Bizim olgularımızın çoğunda da (%42.5) SVA başlangıcı sabah saatlerinde fazla saptanmıştır. Bununla birlikte, Tsementzis ve ark'ı öğle saatlerinde (4), Pasqualetti ve ark'ı da Marshall gibi gece saatlerinde çok görüldüğünü bildirmiştir (12). Konuya ilgili yapılan araştırma sonuçları tablo-3 de topluca gösterilmiştir.

Tablo -3: SVA'ların gün içi dağılımı ile ilgili çalışma sonuçları (% olaraktır).

	<u>Sabah</u>	<u>Öğle</u>	<u>Akşam</u>	<u>Gece</u>
Marshall 1977-İngiltere	25	16	19	40
Tsementzis 1985-İngiltere	37	25	19	17
Pasqualetti 1990-İtalya	28	22	20	30
Argentino 1990-İtalya	56.1	8.2	15.5	20.2
Marsh 1990-USA	57	1	16	13
Arboix 1990-İspanya	25	27	15	33
Toni 1991-İtalya	45	22.5	31.3	12.2
Wroe 1992-İngiltere	48.7	25.4	15.9	10
İnce 1992-Türkiye(İstanbul)	34.0	38.4	14.2	13.1
Karaman 1992-Türkiye(Kayseri)	37.17	27.23	15.71	19.90
Gallerani 1993-İtalya	39	28	18	15
Torun 1994 Türkiye(Eskişehir)	30.4	3	17	49.2
Kutluhan (Çalışma-Kütahya)	49.4	18.3	17.4	14.9

İSH'li olgularımızın %50 içinde HT saptanmıştır. HT'a bağlı Sİ'lar sabah saatlerinde daha fazla (%37.7) ortaya çıkmıştır. Marshall'ın araştırmasında en çok gece saatlerinde (%41.4), ardından sabah saatlerinde (%25.6) (2); Tsementzis ve ark. sabah saatlerinde HT'a bağlı iskemik strokların daha çok görüldüğünü bildirmiştir (4). Başlangıçta tromboembolik infarktların gece, embolik infarktların sabah meydana geldiği görüşü egemen olmasına rağmen, Marsh ve ark. sonuçlarında hem aterotrombotik hem de

kardioembolik infarktların sabah saatlerinde daha çok görüldüğü rapor edilmiştir (9). Bizim hastalarımızda da ateroskleroz (%55) ve atrial fibrilasyon (%73) sabah saatlerinde daha çok Sİ nedeni olmuştur.

İSH'nun gün içi dağılımıyla ilgili araştırmalarda sabah saatlerinde daha çok görüldüğünü (3-6) rapor edenler yanında gece saatlerinde daha fazla ortaya çıktığını bildirenler de vardır (2,10). Ülkemizde yapılan araştırmada ise, Duman ve ark. İSH'nın öğle saatlerinde daha çok gelişğini rapor etmişlerdir (11). Bizim çalışmamızdada öğle saatlerinde daha çok olduğu görülmüştür.

Tablo - 5: İSH'nin gün içi dağılımı (% olarak) ile ilgili çalışmalarдан bazıları

	<u>Sabah</u>	<u>Ögle</u>	<u>Aksam</u>	<u>Gece</u>
Marshall 1977-İngiltere	18	28	24	30
Tsementzis 1985-İngiltere	31.5	27.2	24.7	16.6
Pasqualetti 1990-İtalya	23.9	24.5	23.3	28.3
Arboix 1990-İspanya	63.5	21.3	12.2	3
Wroe 1992-İngiltere	41	28	20	11
Gallerani 1993-İtalya	40	24	26	10
Duman 1994-Türkiye	29.3	31.1	23.6	14.2
Kutluhan (Çalışma)	27.1	31.2	25.0	16.7

Marshall, gece boyunca kan basincının düşmesine bağlı olarak yaşlılarda serebral otoregülasyonun bozulabileceğini ve bunun sonucunda serebral kan akımının azalmasıyla iskemik strokların ortaya çıkacağını savunarak çalışmada gece başlayan iskemik atakların çöküğünü açıklamıştır (2). Torun ve ark. 04.00 - 06.00 saatlerindeki Sİ sıklığının, yaşı olguların sabah namazı için erken saatlerde uyanmalarına bağlı olabileceği vurgulanmıştır.(3)

İskemik infarktların sabah saatlerinde daha çok görülmesi, araştırmacılar tarafından değişik şekillerde izah edilmeye çalışılmıştır. Kan basincının gün içi varyasyon gösterdiği değişik çalışmalarında bildirilmiş olup en yüksek değerler 10.00 - 12.00 saatlerinde, en düşük değerler de 02.00 - 06.00 saatleri arasında saptanmıştır. Gün içinde ikinci yükselme ise 06.00 - 20.00 saatlerinde görülmüştür (15). Kan basincındaki yükselme aterom plakları içinde mikro kanamalar oluşturur. Kanama plagın hacmini büyüterek stenozu artırdığı gibi pihtilaşma mekanizmasını da başlatabilir. Her iki sonuca bağlı olarak iskemik infarkt meydana gelebilir (9). Diğer taraftan, sabah saatlerinde fibrinolitik aktivitede azalma, trombosit agregasyonunda artma, antitrombin III' de azalma, kan viskositesinde artma sabah saatlerindeki iskemik olayların artmasına neden olabilir (7,9,12,16). Sabah saatlerinde plazma kortizol, epinefrin ve noradrenalin düzeylerinin artarak kan basincını etkilemesi de iskemilerin sabah daha sık görülmesinin nedenleri arasında

sayılabilir (7,8,10) . Dopamin salınımında saptanan sirkadian ritm de iskemik infarktların oluşumunu etkileyebilir (17) .

İSH oluşu kan basıncıyla doğrudan ilgilidir. Hipertansif krizden başka, arter sempatik tonusuna etki eden fiziki çalışma, spor, seksüel aktivite ve alkol alınımı gibi faaliyetler sonucu da İSH görüldüğü bilinmektedir. Bundan dolayı İSH ile ilgili araştırmalarda sirkadian bir varyasyon yerine değişik dağılımlar görülmektedir (4,7,12,13).

Sonuç olarak, serebral iskemiler gün içi dağılımda sabah saatlerinde anlamlı olarak fazlalık göstermektedir, İSH ise değişik dağılımlar sergilemektedir. Bu bulgular ışığında, SVA riski taşıyan kişilere uygulanan tedavilerde ilaçların farmakokinetik özelliklerinin göz önünde bulundurulmasının, atakların önlenmesinde rolü olabileceği kanaatine varılmıştır.

## KAYNAKLAR

1. Agnoli A, Monfredi M, Piccinelli A, et al : Circadian prevalence of acute cerebrovascular insufficiency.Role of blood pressure changes. Meyer JS (ed) : In Cerebrovascular Disease, Stuttgart : Thieme,1976, 31-35.
2. Marshall J : Diurnal variation in occurrence of stroke. Stroke 1977;8: 230-231,
3. Torun S, Özdemir G: Very early morning increase in onset of ischemic stroke. Annals of Saudi Medicine 1994; 14(3) : 201-203
4. Tsementzis SA, Gill JS, Hitchcock ER, et al : Diurnal variation of and activity during the onset of stroke. Neurosurgery 1985;17:901-904,
5. Arboix A, Martí- Vilalta JL : Acute stroke and circadian rhythm. Stroke.1990,May,21(5) 826.
6. Wroe SJ, Sandercock P, Bamford J, et al : Diurnal variation in incidence of stroke : Oxfordshire Community Stroke Project. B Med J. 1992;304 (6820):155-7,
7. Gallerani M, Manfredini R, Ricci L, et al : Chronobiological aspects of acute cerebrovascular diseases. Acta Neurologica Scan. 1993 ;87(6):482-7,
8. Argentino C, Toni D, Rasura M, et al : Circadian variation in the frequency of ischemic stroke. Stroke. 1990 ;21(3):387-9,
9. Marsh EE, Biller J, Adams HP, et al :Circadian variation in onset of acute ischemic stroke. Arch Neurol. 47: 1178-1180, 1990
10. Toni D, Argentino C, Gentile M, et al : Circadian variation in onset of acute cerebral ischemia Chronobiology International 8 1991. (5):321-6,
11. Karaman Y, Tin Z, Soyuer A, Talaslı A: Serebral stroklarda sirkadiyen değişiklikler. Erciyes Tıp Dergisi 1992; 14 (4) 421-429
12. Pasqualetti P, Natali G, Casale R, Colantonio D : Epidemiological chronorisk of stroke. Acta Neurol. Scand. 1990. 81(1):71-74,
13. Duman T, Kömürcü F, Gürçay S :akut intraserebral hemorajilerde kronorisk. Türk Nöroşirürji Der. 1994;4:57-64,
14. Ince B : Circadian variation in stroke. Archives of Neurology, 1992.49(9): 900 ,
15. Miller - Craig MW, Bishop CN, Raftery EB : Circadian variation of blood pressure.Lancet 1978;1:795 -797 ,
16. Koellinger P, Langsteiger W, Lind P, et al. Morning increase in blood viscoelasticity of patients with ischemic stroke . Stroke.1990;21(5):826-7,
17. Globus MYT, Gynsberg MD, Harih S :Role of dopamine in ischemic striatal injury: Metabolic evidence. Neurology 1987;37 : 1712-1719 ,

## KARDİOPULMONER ARRESTE BAĞLI AMNESTİK\* SENDROM

Mustafa BAKAR, Ömer Faruk TURAN, İbrahim BORA,  
Mehmet ZARIFOĞLU, Erhan OGUL

Uludağ Üniversitesi Tıp Fakültesi, Nöroloji AD., Bursa

### ÖZET

Preeklampsia nedeniyle yapılan sezaryen operasyonunu takiben kardiak ve solunum arresti ve dissemine intravasküler koagülasyon gelişen bir olguda amnestik sendrom saptandı. Amnestik sendromlara yol açan etyolojik faktörler ile bu tablonun klinik ve nöropsikolojik bulguları incelendi.

**Anahtar Kelimeler:** Kardiopulmoner arrest, Amnestik sendrom.

### AMNESTIC SYNDROME FOLLOWING CARDIOPULMONARY ARREST

We established an amnestic syndrome in a case with cardiac and respiratory arrest and disseminated intravascular coagulation following sexio operation due to preeclampsia. Etiologic factors which cause to the amnestic syndromes and their clinical and neuropsychologic findings were investigated.

**Key Words:** Cardiopulmonary arrest, Amnestic syndrome.

### GİRİŞ

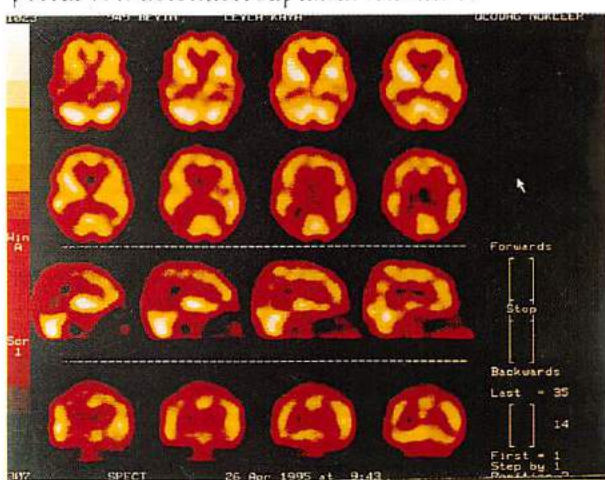
Amnestik sendrom jeneralize kognitif disfonksiyon olmaksızın selektif veya global hafıza bozukluğudur(1). Hafızanın oluşumunda hipokampus mamiller cisimler, talamusun dorsomedial, anteroventral, ve pulvinar nukleusları, forniks ve singulat girüs ile basal frontal korteks yapıları önemlidir(2,3,4). Papez halkası adı verilen döngüde hipokampustan forniks ve mamiller cisimlere ve singulat girusa giden projeksiyonlar, talamusun anteroventral nukleusundan geriye dönerken tekrar hipokampal komplekse gelirler(3,4,5). Amnezilere yol açan nöropsikolojik mekanizmalar; alınan bilgilerin kodlanması, depolanması veya geri çağrılmışındaki defektleri kapsar(6,7). Klinik olarak hafıza bozukluğu, hastalığı takiben ortaya çıkarsa anterograd, önceki bilgileri çağrıştırmada güçlüğü de kapsarsa retrograd amnezi olarak adlandırılır(6,7).

Bu çalışmada kardiopulmoner arreste bağlı serebral hipoksi/anoksi nedeniyle amnestik sendrom gelişen bir olgu takdim edildi.

### OLGU

L.K. 28 yaşında bayan hasta, preeklampsia nedeniyle yapılan sezaryen operasyonunu takiben solunum güçlüğü, dissemine intravasküler koagülasyon ve kardiopulmoner arrest gelişti ve resüsitasyon ile geri döndü. Nörolojik muayenesinde solda früst hemiparezi vardı, uygulanan Gülhane Afazi Testinde(GAT) konuşma, duyarak anlama ve tekrarlama normal, spontan yazma harflerin dismorphik oluşu dışında normal, obje ve renk isimlendirme, kelimesel ve

sayısal bellek ileri derecede etkilenmişti. BT, MR ve VEP tetkikleri normaldi. SPECT tetkikinde bilateral parietal ve parietooksipital alanlarda perfüzyon defektleri saptandı (Resim 1).



Resim 1: Olgunun SPECT görünümü: Sağda belirgin bilateral parietooksipital perfüzyon defektli.

3 ay sonraki kontrolde nörolojik defisiti yoktu. Nöropsikolojik testlerinde konuşma, anlama, okuma, yazma ve tekrarlama normal, obje ve renk isimlendirme normale yakın idi. Yer ve zaman oryantasyonu bozuk, verbal akıcılık ve kelimesel, sayısal, şekil belleğinin hala defektif olduğu, objeleri üç boyutlu olarak tanıyalığı halde aynı objenin resmini görüp tanıymadığı gözlandı. 6. ayda tüm lisan komponentleri normal idi. Praksi kusurları azalmakla birlikte devam ediyordu. Kelimesel sayısal ve şekil belleği bir önceki teste oranla düzelmisti. Hasta cisimlerin resimlerini

tanılmayıp objenin kendisi gösterildiğinde tanıymıyordu. Kontrol SPECT inde aynı alanlarda fakat daha az oran ve lokalizasyonda perfüzyon defektleri saptandı.

## TARTIŞMA

Hafıza, kısaca hatırlayabildiğimiz tecrübeler olarak tanımlanabilir(7). Kafa travmaları, dejeneratif hastalıklar, infeksiyonlar, intoksikasyonlar, karsinomların uzak etkileri, elektroşok tedavisi, temporal lobektomiler, orta hat tümörleri, alkol alımı ve nütrisyonel bozukluklar ile psikojenik sebepler gibi etyolojik faktörler amnestik sendromlara yol açabilirler (1,2,6,8,9). İskemik beyin damar hastalıkları, kardiyak aritmİ veya arrest sonucu oluşan global serebral hipoksi ve anoksi amnestik sendroma yol açan diğer sebeplerdir(6,10). Serebral anoksinin süresi ve şiddeti amnezinin ciddiyeti ile orantılıdır(7,11,12). Kardiopulmoner arrest nedeniyle ölen olguların otoskoplerinde anterior talamus, serebral korteks ve özellikle hipokampusun CA1 bölgesi ile parahipokampal gyrus ve amigdalde anoksik nöronal hasar saptanmış ve hipokampusu etkileyen anoksik hasarın hafıza bozukluğuna yol açan en önemli faktör olduğu düşünülmüştür(11,13,14). Bizim olgumuzda da kardiopulmoner arresti takiben amnestik sendrom gelişmiş ve oluşan amnezi retrograd ve anterograd hafıza bölgeleri ile kısa süreli, yakın ve uzak hafızayı ve kelimesel, sayısal ve şekil belleği olmak üzere tüm bellek modalitelerini etkilemiş idi. Olgumuzda elde edilen bulgular lokalizasyon itibarı ile SPECT'te tespit edilen hipoperfüzyon alanları ile uyumludur. Olgumuzda saptanan asosiyatif vizuel obje agnozisine önceki literatürde kardiopulmoner arrest nedeni ile amnestik sendrom gelişen olgularda rastlanmamıştır. Bu bulgu, intakt görmeye rağmen şekillerin tanılmayıp aynı şeklin objesi gösterildiğinde tanımayı içeren bir bulgudur. Posterior sirkülasyonun bozukluğu nedeniyle ortaya çıkan bu bulgu bir diskonneksiyon sendromu olarak ele alınmaktadır(15). Kardiyak arrest sonrasında amnezi gelişen olgularda yapılan Pozitron Emission Tomografi(PET) çalışmalarında mezial

temporal loblarda ve parieto-okzipital bölgelerde belirgin metabolizma azalması saptanmış, bu bulgu bizim olgumuzun SPECT lerinde saptanan bulgular ile uyumlu olarak değerlendirilmiştir(16).

Sonuç olarak kardiopulmoner arrestin amnestik sendroma yol açan önemli bir etken olduğu, geri dönüşün iskemisinin süre ve şiddeti ile ilişkili olduğu ve bu olguların nöropsikolojik açıdan dikkatli değerlendirilmeleri gerektiği düşünülmüştür.

## KAYNAKLAR

- 1- Kirshner HS:Amnesias; in Behavioral Neurology. A practical approach. Churchill-Livingstone, 1986. pp121-143.
- 2- Aggleton JP:Anatomy of the memory in memory disorders research and clinical practise Ed. by Yanagihara T, Peterson R. Marcel Dekker Inc. Newyork 1982.
- 3- Horel JA:The neuroanatomy of amnesia. Brain 1992; 101: 403-445.
- 4- Signoret JL, Memory and amnesias: in;Principles of behavioral neurology. Ed. by Mesulam MM. Philadelphia:FA doris 1985, pp169-192.
- 5- Zola-Morgan, Squire LR:The neuroanatomy of amnesia;Amygdala-hypocampus versus temporal stem. Science 1982; 218:1337-1339.
- 6- Topics in behavioral neurology and neuropsychology. Ed. by Hier DB, Gorelick PB, Schindler AG; Butterworths, 1992.
- 7- Finkelstein S, Caronna JJ:Amnestic syndrome following cardiac arrest. Neurology 1978; 28:389.
- 8- Benson DF: The neurology of memory disorders. in;The neurology of thinking. Newyork, Oxford university Press 1994, pp177-198.
- 9- Bauer BM, Tobias B, Valenstein E: Amnestic disorders. in Clinical Neuropsychology Ed:Heilman K, Valenstein E. Oxford university Press. 1993, pp 523-600.
- 10- Fortuny LA, Briggs M, Newcombe F, Ratcliff G, Thomas C:Measuring the duration of posttraumatic amnesia. J. Neurol, Neurosurg, Psychiatry 1980; 43: 377-379.
- 11- Benson DF, Marsden CD, Meadows JC:The amnesia syndrome of posterior cerebral artery occlusion. Acta Neurol Scand. 1974; 50:133-145.
- 12- Volpe BT, Holtzman JD, Hirst W: Further characterisation of patients with amnesia after cardiac arrest. Preserved recognition memory. Neurology 1986; 36:408-411.
- 13- Cummings JL, Tomiyasu u, Read S, Benson DF:Amnesia with hippocampal lesions after cardiopulmonary arrest. Neurology 1984; 34:679-681.
- 14- Petit CK, Feldman E, Pulsinelli WH, Plum F:Delayed hippocampal damage in humans following cardiorespiratory arrest. Neurology 1987; 37:1281-1286.
- 15- Bauer RM: Agnosia. in:Clinical neuropsychology Ed. Heilman K, Valenstein E. Oxford university Press 1993, pp215-270.
- 16- Volpe BT, Herscovitch P, Raichle ME. PET evaluation of patients with amnesia after cardiac arrest. Stroke 1984; 15: 196.

## INTRASEREBRAL HEMORAJİDE PROGNOZ Klinik ve BT Bulguları

K. Sibel VELİOĞLU, Mehmet ÖZMENOĞLU, İsmail BÜLBÜL,  
Zekeriya ALİOĞLU, Okan BÖLKÜKBAŞI

Karadeniz Teknik Üniversitesi Tıp Fakültesi, Nöroloji AD., Trabzon

### ÖZET

1992-1994 yılları arasında kliniğimizde yatarak takip edilen 100 intraserebral hemorajili (İSH) hastanın klinik semptomları ve kraniyal BT (Bilgisayarlı Tomografi) bulguları ve bunların prognozu tahmin etmedeki önemleri değerlendirildi. Lokalizasyonlar 43 hastada loblarda, 34'ünde basal gangliyonlarda, 13'ünde serebellumda, 6'sında pons ve beyin sapında saptandı. Başlangıçtaki bilinç kaybına(n=53) en sıkılıkla beyin sapındaki(n=6) İSH'lerde rastlandı. Epileptik nöbetler (n=13), en sıkılıkla pariyetal lobdaki (n=4) hematomlarda saptandı. Mortalite(n=36), beyin sapındaki hematomlarda en yüksek oran daydı (%83,3). Kraniyal BT'de, boyutu 5cm ve üzerinde ve ventriküler hemoraji ile birlikte olan İSH'ler kötü prognоз gösterdiler. Başlangıçtaki bilinç kaybının varlığı ve komanın 24 saatten uzun süremesi, prognоз tahmininde değerli bir göstergə olaraq saptandı.

**Anahtar kelimeler:** Kraniyal computarize tomografi, intraserebral hemoraji, mortalite, bilinç bozukluğu, ventrikül hemorajisi

### THE PROGNOSIS IN INTRACEREBRAL HEMORRHAGE

Clinical symptoms and findings in cranial computed tomography (CT) were evaluated in 100 patients with intracerebral hemorrhage (ICH). for prognostic values Localizations of ICH were the lobes (n=43), the basal ganglia (n=34), the cerebellum (n=13) and the brain stem (n=6). An initial coma (n=53) was most frequent in ICH of the brain stem (n=6). Epileptic seizures (n=13) were most common in hematomas of the parietal lobes (n=4). Mortality (n=36) was high with ICH in the brain stem (%83,3). A size of the ICH 5 cm and more in cranial CT and an associated ventricular hemorrhage had a bad outcome. An initial disturbance of consciousness and a coma of more than 24 h were the reliable clinical predictors of outcome (chi-square, p<0.0001).

**Keywords:** Cranial computed tomography, intracerebral hemorrhage, mortality, disturbance of consciousness, ventricular hemorrhage

### GİRİŞ

İSH'lerde prognоз özellikle kanamanın yerine, boyutuna ve etyolojisine bağlıdır. Prognоз için olası diğer etkenler ise hastanın yaşı, hipertansiyon öyküsü ve birlikte intraventriküler hemorajinin varlığıdır (1-6). Herniasyon nedeni ile hematomun kitle etkisi akut ölümlere yol açabilir: posterior fossa hemorajilerinde beyin sapi kompresyonu yaygındır. İSH'lerin ortalama mortalitesi %12-80 olarak verilmektedir (7).

İSH'lerin tanısında kraniyal BT temel oluşturur. Akut dönemde, hastanın klinik durumu ve kraniyal BT iki önemli saptayıcı faktörlerdir. Biz klinik semptomların ve kraniyal BT bulgularının prognostik önemini retrospektif olarak 100 intraserebral hemorajili hastada değerlendirdik.

### GEREÇ VE YÖNTEM

1992-1994 yılları arasında kliniğimizde yatarak

takip edilen 100 İSH'li hastanın klinik semptomları ve kraniyal BT bulguları değerlendirildi. Bu süre zarfında strok ile başvuranların hepsi ilk 24 saat içinde BT ile incelendiler. Hematomun boyutu, BT'de İSH'nin maksimum çapı ölçüleerek saptandı. Klinik veriler hastane kayıtlarından alındı. Travmatik hemorajiler çalışmaya alınmadı. İstatistiksel değerlendirmede ki-kare testi kullanıldı. 6 ay-2 yıl takipleri boyunca 64 hastanın nörolojik muayeneleri yapıldı ve hastalar normal, hafif nörolojik deficitli, kısmen bağımsız ve tam bağımlılık şeklinde değerlendirildi. Bu süre zarfında ölen hasta tespit edilmedi.

### SONUÇLAR

Çalışma gurubundaki 100 hastada İSH lokalizasyonları tablo.1'de görülmektedir. Lokalizasyonlar, 43 hastada loblarda, 34 hastada basal gangliyonlarda, 13 hastada serebellumda, 6

hastada beyin sapında saptandı. 4 hastada ise multiple hematom vardı.

Akut dönemde 36 hasta (%36), ortalama 7,6 (1-30) gün içinde ölüdüler. Ölüm oranı 81-91 yaş gurubunda en fazla idi (%60).

Hipertansiyon(HT), 69 hastada saptandı (%69). Ölüm oranı normotansif hastalarda (%38,7) hipertansif hastalardan (%34,8) anlamlı olmayarak yüksek bulundu (chi-square = -0,14, p>0,05).

Başlangıçtaki bilinç kaybının varlığı, прогнозu belirlemeye iyi bir gösterge oldu. Başlangıçta bilinç kaybı olan 53 hastanın 30'u (%56,6) ölüken, başlangıçta bilinç kaybı olmayan 47 hastanın 6'sı (%12,7) ölmüştü (ki-kare=20,78, p<0,0001) (Tablo.2). Başlangıçtaki bilinç kaybı, infratentoriyal

hematomlarda lober hematomlardan biraz daha yüksek bulundu, sırasıyla %68 (13/19) ve %63 (27/43). İnfratentoriyal hematomlarda aynı zamanda daha yüksek ölüm oranı gösterdiler: Lober hematomlarda bu oran %37, serebellar %46 ve beyin sapı hematomlarında %83 olarak bulundu(Tablo.1).

Epileptik nöbete 13(%13) hastada, özellikle paryetal (%24) ve temporal (%22)hematomlarda olmak üzere rastlandı (Tablo.1). Epileptik nöbetin varlığı, прогнозda yol gösterici olmadı (Tablo.2).

24 saatten daha uzun süre komada kalan hastaların %81 (30/37)'i ölüken, komanın 24 saatten daha az sürdüğü hastalarda mortalite oranı %37,5 (6/16) olarak bulundu (ki-kare =51,80, p<0,0001).

Tablo. 1. İSH'larda Lokalizasyon, semptom ve прогноз

	Lokalizasyon (n=100)		Hipertansiyon (n=69)		Nöbet (n=13)		Ölüm oranı (n=36)		Başlangıç bilinç kaybı (n=53)	
	n	%	n	%	n	%	n	%	n	%
Lober	43	43	30	68.8	9	20.9	18	37.2	27	62.8
Frontal	11	11	2	18.1	2	18.1	7	54.5	7	63.6
Temporal	9	9	2	22.2	2	22.2	4	44.4	8	88.8
Paryetal	17	17	4	23.5	4	23.5	6	35.2	9	52.5
Oksipital	6	6	1	16.6	1	16.6	1	16.6	3	50.0
Bazal gangliyon	34	34	24	70.5	1	2.9	5	17.6	10	29.4
Beyin sapı	6	6	4	66.6	1	1.6	5	83.3	6	100.0
Serebellum	13	13	11	84.6	1	7.6	6	46.1	7	53.8
Mutiple	4	4	-	-	1	25	2	50	3	75

Tablo. 2: Klinik veriler, BT bulguları ve mortalite

	Ölen (n=36)	Yaşayan (n=61)	ki-kare	P
Bilinç kaybı	Yok (n=47)	6	20.78	p<0.0001
	Var (n=53)	30		
Koma>24 h.	Yok (n=63)	6	51.80	p<0.0001
	Var (n=37)	30		
Hipertansiyon	Yok (n=87)	12	0.14	p<0.05
	Var(n=69)	24		
Nöbet	Yok (n=87)	54	1.08	p>0.05
	Var (n=13)	10		
BT	Yok (n=65)	14	16.86	p<0.0001
	Ventrikül hemorajisi	22		
	Yok (n=73)	18		
Hematom çapı 5 cm	Var (n=27)	18	15.10	p<0.0005

Loblardaki hematomların ortalama büyülüğu 4,6 cm (2-8), bazal ganglionlardakilerin ise 2,8 cm (1-7) olarak bulundu. Hematom çapı 5 cm ve üzerinde olanların %66,6 (18/27)'sı ve 5 cm den küçük olanların ise %24,6 (18/73)'sı kötü prognoz (exitus) gösterdiler. Sonuçta hematom çapı 5 cm ve üzerinde olanlar, 5 cm den küçük olanlara oranla istatistikî olarak anlamlı derecede kötü prognoz gösterdiler ( $\chi^2=15,10$ ,  $p<0,0005$ ).

Ventriküle açılmış hemorajisi olan 35 hastanın 22'si (%62,8) ve ventriküle açılmış hemorajisi olmayan 65 hastanın 14'ü (%21,5) öldü ( $\chi^2=16,86$ ,  $p<0,0001$ ). Sonuçta ventriküle açılmış hemorajinin varlığı kötü prognoz ile birlikte idi.

Ventriküle açılmış hemorajili hastalarda, hematomun boyutu 1-3 cm arasında olan 13 hastanın 6'sında (%46,1), 4-5 cm olanların %64,2'sinde (9/14) ve 6-8 cm olanların da %87,5'unda (7/8) prognoz kötü oldu (Tablo.3). Sonuçta ventriküler hemorajili vakalarda hematomun boyutundaki büyülüklük ile prognoz paralellik göstermiştir.

Tablo. 4: İSH: Boyut, semptom ve prognoz

İSH boyutu (n=100)	Bilinç Kaybı (n=53)	Koma>24 saat (n=37)	Nöbet (n=13)	Hipertansiyon (n=69)	Ölüm Oranı (n=36)
n	%				
1-3 cm	58	58	25 (%43.1)	12 (%20.6)	9(%15.5)
4-5 cm	30	30	18 (60)	16 (%53.3)	4(%53.3)
6-8 cm	12	12	10 (%83.3)***	9 (%75)***	--
					41 (%70.6)**
					19 (%63.3)
					9 (%75)**
					12(%20.6)
					14(%46.6)
					10(%83.3)*

\* →  $\chi^2: 19.05$   $P<0.0001$

\*\* →  $\chi^2: 0.73$   $P>0.05$

\*\*\* →  $\chi^2: 17.49$   $P<0.0005$

\*\*\*\* →  $\chi^2: 7.30$   $P<0.05$

Ventriküle açılmış hemorajinin varlığı ile hipertansiyon (HT) arasında anlamlı bir ilişki bulunamadı. HT'lu hastalarda ventriküle açılmış hemorajije %33,3 (23/69), normotansif hastalarda ise %32,2 (10/31) oranında rastlandı ( $\chi^2=0,01$ ,  $p>0,05$ ).

Hematomun çapı 6 cm ve üzerinde olanlarda, HT'a %75 oranında rastlandı. Bu oran diğerlerinden yüksek olmakla birlikte, bu yükseklik istatistikî olarak anlamlı bulunmadı ( $p>0,05$ ) (Tablo.4).

En az 6 ay, en uzun 2 yıl takipleri boyunca nörolojik muayeneleri yapılarak izlenen 64 hastanın 29'u normal veya hafif nörolojik defisitli kaldılar. 18'i kısmen, 17'si ise total olarak bağımlı hale geldiler. Nörolojik semptomlar, hemiparazi (n=25), hemipleji (n=14), afazi (n=6), dizartri veya

Tablo. 3: Ventriküle açılmış hemorajisi olanlarda hematomun çapı ile prognoz arasındaki ilişki

İSH	ÖLÜM ORANI (n %)
1-3 cm (n=13)	6 46.1
4-5 cm (n=14)	9 87.5
6-8 cm (n=8)	7 87.5

serebellar bulgular (n), hemianopi (n=2) ve monoparezi olarak saptandı. Uzun dönemdeki prognoz bazal ganglionlar ve serebellar hematomlarda daha iyi idi. Bazal ganglionlarda hematomu olan hastaların %38'i normal veya hafif nörolojik defisitli kalırlarken, serebellar ve lobe hematomlarda bu oranlar sırasıyla %31 ve %26 olarak bulundu [Lober hematomlu 43 hastanın 11'i (Frontal: 2/11, parietal: 3/17, temporal: 3/9, okcipital: 1/4), bazal ganglion hematomlu 34 hastanın 13 ü, serebellar hematomlu 13 hastanın 4 ü, beyin sapi hematomlu 6 hastanın hiçbiri, multiple hematomlu 4 hastanın 1 i].

İSH'lerin prognosunda başlangıçtaki bilinç

kayıbının varlığı, koma süresinin 24 saatten uzun olması, ventriküler hemorajinin eşlik etmesi ve hematomun çapının 5 cm ve üzerinde olması etkili faktörler olarak bulundu.

## TARTIŞMA

Çalışmamızda kanamaların en yüksek oranını, Hungerbühler ve ark.(1983) ve Thie ve ark.(1988) gibi lobe hemorajilerde saptadık(8,9). Kase ve ark.(1982) ise yüksek oranı bazal ganglionlarda saptamışlardır(10).

İSH'lerin prognosunu üzerine yapılmış geniş çalışmalarla ölüm oranı sırasıyla %35,5, %36 ve %52,8 olarak bulunmuştur(3,8,11). Daha eski çalışmalarla %80'in üzerindeki yüksek ölüm oranları, BT öncesi çalışmaları nedeniyle iskemik strok olarak sınıflandırılan küçük hematomların düşlenmesinden kaynaklanıyordu. Bizim çalışmamızda ölüm oranı %36 olarak saptandı.

Lokalizasyon hariç bırakılırsa, BT'de hematomların büyülüklüğü ve birlikte ventriküler

hemorajinin olması kötü gidiş için bir göstergedir. Küçük serebellar veya pontin hematomlar genel olarak ciddi прогноз gösterirken, supratentoriyal kanamaların hacmi eğer küçükse hastalar sıkılıkla sağ kalmaktadır. Birçok çalışma pontin hemorajiler için 5 ml, serebellar için 20 ml, bazal ganglion ve lober hemorajiler için 30-50 ml hacmin %50 ölüm oranı gösterdiğini bildirmektedir (8,10,12,13,14,15). Biz hematomin boyutu ile ölüm oranı arasında yüksek derecede anlamlı korelasyon bulduk ( $P < 0,0005$ ). Bu bulgular Helweg-Larsen ve ark.(1984) ve Bolanter ve ark.(1983) inin bulguları ile uyumluydu(5,16). Supratentoriyal kanamaların erken mortalitesi, BT'de gözlenen 5 cm veya üzerindeki kanamalarda yüksektir.

Bazal ganglion veya lober hemorajilerin cerrahi tedavisi için net bir öneri yokken, çeşitli araştırmacılar 3 cm veya daha büyük çaplı infratentoriyal hematomlarda cerrahi yaklaşım önermektedirler (14,17,18). Çalışmamızda cerrahi uygulamalar yapılmamıştır.

Çalışmamızda İSH'lerde eğer eşlik eden ventriküler hemoraji de varsa прогнозun daha kötü olduğu saptandı. Kanın pihtlaşması ile birlikte artan intraventriküler basıncın buna neden olduğu düşünülmektedir(19,20). Ventriküle açılmış hemorajili hipertansiflerin normotansiflere göre daha kötü прогнозa sahip olmadıkları çeşitli çalışmalar tarafından bildirilmektedir (21,22). Nitekim biz de çalışmamızda ventriküler hemorajiyi normotansiflerde %32,2 ve hipertansiflerde ise %33,3 oranında saptadık ( $P > 0,05$ ). Berlit ve ark. (1994) ise ventriküler hemorajiyi hipertansiflerde, normotansiflere göre daha yaygın olarak saptamışlardır(11). Ventriküle açılmış hemoraji ve hastalığın gidişi arasındaki anlamlı ilişki çapı 6 cm ve üzerinde olan hematomlarda saptandı.

Bu çalışmada, hastalığın gidişinde klinik olarak belirleyici bir faktör bilinç bozukluğu oldu ( $P < 0,0001$ ). Nörolojik semptomlar, yaş, nöbet veya hipertansiyon varlığı ile hastalığın gidişi arasında anlamlı bir korelasyon bulunmadı. Bilincin kısa süreli kaybı bile прогнозda anlamlı bir göstergede oldu( $P < 0,0001$ ). Koma süresi 24 saatten uzun süren 37 hastanın sadece 7 tanesi yaşadılar. Diğer çalışmalar tarafından da, sonuçlarımızla uyumlu bulgular bildirilmektedir (23,24,25,26,27).

Biz supratentoriyal hematomlar ve bilinç düzeyi arasında net bir ilişki bulamadık. Başlangıçtaki bilinç kaybı için diğer önemli faktörler, İSH'nin lokalizasyonu (infratentoriyal / supratentoriyal) ve birlikte ventriküler hemorajinin olup olmamasıdır.

İSH'lerin uzun dönemdeki прогнозları hakkındaki veriler belirgin değildir. Önceki raporlar 24 ay civarı ile sınırlıdır (15). Berlit ve ark.(1994) ise hastalarını ortalama 5,2 yıl takip etmişlerdir (11). Bizim hastalarımızı takip süremiz, 6ay-2yıl arasıydı. Bu dönemdeki прогноз bazal ganglion ve serebellar hematomlarda daha iyi bulundu. Bu konudaki bilimsel sonuçlar için hastaların daha uzun süreli takibinin gerektiği fikrine dayanıyoruz.

Tam bir Glasgow Koma skoru olmaksızın dahi, başlangıç ve özellikle uzayan bilinç kaybının varlığı İSH'lerin прогнозunda iyi bir göstergedir. Akut dönemde kraniyal BT, (boyut, hematom lokalizasyonu ve eşlik eden ventriküler hemorajinin varlığını göstererek) yararlı prognostik bilgi sağlamaktadır.

## KAYNAKLAR

1. Mayr U, Bauer P and Fischer J. Non-traumatic intrazerebral hemorrhage. Neurochirurgia, 1983. 26: 36-41.
2. Nath FP, Nicholls D and Fraser RJA. Prognosis in intracerebral hemorrhage. Acta Neurochirurgica, 1983.67:29-35.
3. Schütz HJ. Spontane intrazerebrale Hamatome. Pathophysiologie, Klinik und Therapie. Springer, Berlin, 1988.
4. Douglas MA and Haerer AF. Long-term prognosis of hypertensive intracerebral hemorrhage. Stroke, 1982.13:488-91.
5. Hegweg-Larsen S, Sommer W, Strange P, Lester J and Boysen G. Prognosis for patients treated conservatively for spontaneous intracerebral haematomas. Stroke, 1984.15:1045-1058.
6. Steiner I, Gomori JM and Melamed E. The prognostic value of the CT SCAN in conservatively treated patients with intracerebral hematomas. Stroke, 1984.15: 279-282.
7. Kase CS, Mohr JP and Caplan LR. Intracerebral hemorrhage. in: Stroke, 2nd ed. Churchill Livingston, New York, 1992.
8. Hungerbühler JP, Regli F, van Melle DG and Bogousslavsky J. Spontaneous intracerebral haemorrhages: clinical and CT features: evaluation of prognosis. Arch Swiss Neurol, Neurochir Psychiatr, 1983.132: 13-27.
9. Thie A, Spitzer K, Lappe H and Kunze K. Prognostische Bedeutung initialer klinischer und apparativer Parameter bei spontanen intrazerebralen Blutungen. Fortschritte der Neurologie, Psychiatrie, und ihrer Grenzgebiete, 1988. 56: 163-169.
10. Kase CS, Williams JP, Wyatt DA and Mohr JP. Lobar intracerebral hematomas: Clinical and CT analysis of 22 cases. Neurology, 1982.32: 1146-1150.
11. Berlit P and Tornow K. Outcome of intracerebral hemorrhage: clinical and CT findings in 326 patients. European Journal of Neurology, 1994.1: 29-34.
12. Bryan R and Weisberg L. Prolonged survival with good functional recovery in 3 patients with CT evidence of brain stem hemorrhage. J Computer Radiology, 1982.6:43-48.
13. Ott KH, Kase CH and Ojemann RG. Cerebellar hemorrhage: Diagnosis and treatment. A review of 56 cases. Arch of Neurology, 1974.31:160-167.
14. Ojemann RG and Heros RC. Spontaneous brain hemorrhage. Stroke, 1983.14: 468-475.
15. Radberg JA, Olsson JE and Radberg CT. Prognostic parameters in spontaneous intracerebral hematomas with special reference to anticoagulant treatment. Stroke, 1991.22: 571-576.
16. Bolander HG, Kourloupolous H, Liliequist B and Wittboldt S. Treatment of spontaneous intracerebral hemorrhage. Acta Neurochirurgica, 1983.67: 19-28.

17. Brambilla GL, Rodriguez y Baena R, Sangiovanni G, Rainoldi F and Locatelli D. Spontaneous intracerebral hemorrhage: medical or surgical treatment. *J of Neurosurgery*, 1983;28: 95-101,
18. Chong-zhi Z and Yao-shan W. CT classification of hypertensive intracerebral hemorrhage for prediction of prognosis and selection of treatment. *Chinese Medical Journal*, 1986; 99: 569-575,
19. Little JR, Blomquist GA and Ethier R. Intraventricular hemorrhage in adult. *Surg Neurol*, 1977;8: 143-149,
20. Miyagami M, Murakami T, Wahamatsu K, Hondo T, Tahendie T, Tsuwohawa T and Moriyasu N. Experimental and clinical study on prognosis deteriorating factors in the acut stage of intraventricular hemorrhage. *Neurologia Medico Chirurgica*, 1983;21: 75-83,
21. Wiggins WS, Moddy DM, Toole JF, Laster DW and Ball MR. Clinical and computerized tomographic study of hypertensive intracerebral hemorrhage. *Arch of Neurology*, 1978;35: 832-833,
22. Weerd AW. The prognosis of intraventricular hemorrhage. *J of Neurology*, 1980;222:46-51,
23. Matsumoto N, Whisnant JP, Kurland LT and Okazaki H. Natural history of stroke in Rochester, Minnesota, 1955 through 1969. *Stroke*, 1973;4: 20-29,
24. Garde A, Böhmer G, Selden B and Neiman J. 100 cases of spontaneous intracerebral haematoma. *European Neurology*, 1983;22: 161-702,
25. Dixon AA, Holness RO, Howes WJ and Garner JB. Spontaneous intracerebral hemorrhage: An analysis of factors affecting prognosis. *Canadian Journal of Neurological Science*. 1985;12: 267-271,
26. Mosdal C, Jensen G, Sommer W and Lester J. Spontaneous intracerebral hematomas: Clinical and computertomographic findings and long-term outcome after surgical treatment. *Acta Neurochirurgica*, 1986;83: 92-98,
27. Senant J, Samson M, Proust B, Szeibert J and Onnient Y. Approche multi-factorielle du prognostic vital des hématomes intracérébraux spontanés. *Revue Neurologique (Paris)*, 1988;144: 279-283,

## PRİMER PROGRESİF AFAZİLİ OLGU SUNUMU

Ufuk UTKU, N. AYDIN, C. TUŞLU, F. ERDOĞAN, A. SARIKAYA

Trakya Üniversitesi Tıp Fakültesi  
Nöroloji AD, Psikiyatri ve Nükleer Tıp AD'ları, Edirne

### ÖZET

Primer progresif afazi, son zamanlarda tanımlanan, klinik sınırları ve etyolojisi belli olmayan nadir bir konuşma bozukluguudur. Polikliniğimize yaklaşık iki yıldır giderek artan konuşma güçlüğü şikayeti ile başvuran, 55 yaşında, sağ elini kullanan erkek hastada nörolojik muayenede sadece tutuk afazi saptandı. Yapılan BT incelemesinde özellikle sol silvian fissür çevresindeatrofi, SPECT görüntülemede ise sol posterior temporal bölgede perfüzyon defekti gösterildi. Hastaya uygulanan görsel motor, görsel uzamsal ve görsel bellek testlerinin normal bulunması, afazinin progresif olması ve 2 yıldan beri diğer kognitif bozuklukların eklenmemesi nedeniyle primer progresif afazi düşünüldü. Hastalık tanı kriterleri ve nöroradyolojik bulguları tartışıldı.

**Anahtar Kelimeler:** Afazi, demans, BT, SPECT

### CASE REPORT WITH PRIMARY PROGRESSIVE APHASIA

Primary progressive aphasia is a recently defined rare speech disorder with an unclear etiology. A 55 year - old man was admitted to our hospital with gradually progressive speech disorder. The patient was right-handed and only non-fluent aphasia was found in neurological examination. The CT study revealed atrophy especially around the left silvian fissure and the SPECT demonstrated a perfusion defect in the left posterior temporal region. Primary progressive aphasia was considered because visual motor, visual spatial and visual memory tests were normal although aphasia was progressive. Diagnostic criteria and neuroradiological findings of the disease are discussed.

**Key words:** Aphasia, dementia, CT, SPECT

### GİRİŞ

Primer progresif afazi (PPA), ilk kez 1982'de Mesulam tarafından tanımlanmış olup, başlıca klinik kriterleri, diğer kognitif bozukluklar olmaksızın, en az 2 yıldan beri devam eden progresif konuşma bozukluğu olması ve hastanın günlük aktivitelerini bağımsız olarak sürdürmesidir (1, 2). Bugüne kadar 60 civarında hasta tanımlanmakla birlikte, histopatolojik ve nöroradyolojik çalışmalar oldukça sınırlı olduğundan, PPA'nın ayrı bir hastalık olduğu kuşkulu olup, son zamanlarda, bir sendrom olarak tanımlanması daha uygun görülmektedir (2, 3, 4).

Bu çalışmada, 2,5 yıldan beri giderek artan konuşma bozukluğu şikayeti olan bir hastada PPA sendromu düşünülmüş ve nöroradyolojik bulguları ile sunulmuştur.

### OLGU

55 yaşında, erkek hasta, 2 yıldan beri giderek artan konuşma bozukluğu nedeniyle polikliniğimize kızı tarafından getirildi. Öyküsünden, önceleri kelime bulmada güçüğünün olduğu, giderek daha az sayıda kelime çıkartıldığı, tanıdığı kişi ve cisimlerin isimlerini söyleyemediği, bununla birlikte anlaşmasının çok iyi olduğu, hesap yapabildiği, ilk yıl okuma ve yazmasının iyi iken, giderek okuma ve yazmasının da bozulduğu, bir dairede

müstahdem olarak yaptığı görevini halen sürdürdüğü öğrenildi.

Özgeçmişinde önemli bir hastalık öyküsü, serebrovasküler hastalık risk faktörü bulunmayan hastanın soygeçmişinden, geç yaşta ölen annesinde ve ablasında demans öyküsü bulunduğu öğrenildi.

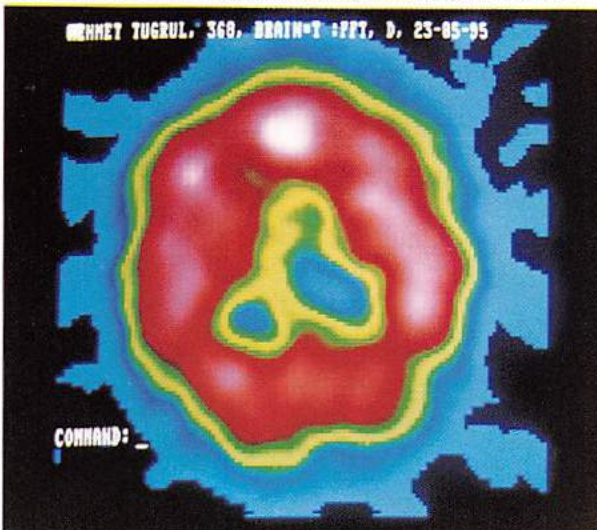
Nörolojik muayenede, sağ elini kullanan hastada bilinc açıklandı. Konuşması ileri derecede tutuk olup, tekrarlama ve isimlendirmesi de bozuktu. Basit emirleri anlıyor, kompleks emirleri tekrarlanınca ve zorlukla yerine getirebiliyordu. Nadiren parafazi ve perseverasyonları da ortaya çıkıyordu. Dikte edilerek yazı yazması oldukça iyi olmakla birlikte, okuması daha güçtü. Hesap yapma normal olup, praksi ve yön bulma bozukluğu aptarmadı. Diğer nörolojik muayene bulguları normal bulundu.

Bu bulgularla "tutuk afazi" etyolojisini araştırmak üzere incelenen hastanın rutin biyokimya, EKG, hematolojik tetkikleri, T3, T4, TSH, B12 vit. düzeyleri, BOS incelemesi normal bulundu. EEG normaldi. Bilgisayarlı beyin tomografisinde sol Silvian fissürde genişleme tespit edildi. (Resim 1). Yapılan SPECT tetkikinde, sol temporooksipital bölgede hipoperfüzyon alanı saptandı (Resim 2).

Hasta, Bender-Gestalt (vizüel-motor test) ve Benton testi (vizüospasyal test) ile incelendiğinde, normal performans gösterirken konuşulanları



Resim 1: BT'den sol Silvian fissürde genişleme görülmektedir.



Resim 2 : SPECT incelemede sol temporo-okcipital bölgede hipoperfüzyon alan görülmektedir.

anlama muayenesi (KAM)'de, verbal komutlara dayandığından, hiç puan alamadı. Bu bulgularla PPA ön tanısı alan hasta, düzenli aralıklarla kontrole girmek üzere taburcu edildi.

## TARTIŞMA

Primer progresif afazi, oldukça iyi tanımlanmış klinik bir sendrom olmakla birlikte, vakaların bir kısmında ileri yıllarda diğer kognitif bozuklıkların eklenmesi ve global demansın ortaya çıkması, az sayıda otopsi çalışmasında da Alzheimer hastalığı (AD) veya Pick hastalığı ile uyumlu bulguların bulunması nedeniyle, global demansın prekürsörü veya ayrı bir hastalık olup olmadığı tartışılmıştır (2-5). Nöropatolojik bulguların farklılıklar göstermesinden dolayı, bu hastalıklarda görülen afazinin tipi, klinik ayrımda önem kazanmaktadır. Çalışmaların çoğunda, PPA'da görülen afazinin, tutuk, "kendini ifade etmede bozukluk" ve anomini ön planda olduğu bir afazi olduğu belirtilmiştir (2-8). Buna karşılık,

Beyin Damar Hastalıkları Dergisi 1995, 1(2):117-118

AD'de ise, sıkılıkla akıcı, parafazinin hakim olduğu, Wernicke veya transkortikal sensoriyel tipte bir afaziden söz edilmektedir (2, 5, 9). Ayrıca sözel testlerin dışında, görsel - uzamsal ve görsel-motor testlerin, PPA'lı vakalarda uzun yıllar normal bulunması da ayırıcı tanıda yararlıdır (2, 5). Tanımladığımız vakada da, gerek afazinin özelliği, gerekse diğer non-verbal testlerin normal bulunması, bu çalışmalardaki olgularla uyumludur. Literatürde PPA'lı hastalarda en sık bulunan nöroradyolojik bulgu, BT veya MR'de sol Sylvian fissürün genişlemesi ve sol temporal ve inferior frontal girusta atrofisi (5, 8). Bir çalışmada 2 vakada, aynı bölgede PET'de hipometabolizma bulunurken (6), diğer çalışmalarda SPECT'de sol inferior frontal ve temporal bölgede hipoperfüzyon bulunmuştur (8,10). Bu bulgular, tanımladığımız olgunun BT ve SPECT tespitleri ile uyumludur.

Olgunun bir diğer özelliği, annesinde ve ablasında, etyolojisi iyi incelenmemiş olmakla birlikte, demans öyküsü bulunmasıdır. Kertesz ve arkadaşları da, tanımladıkları 3 PPA'lı hastanın 1'inde, "familyal AD" öyküsü bulmuşlardır (4). Bu hastaların otoskopilerinde de Pick hastalığı ile benzer görünüm bulunması ve her iki hastalığın da ailevi özellik göstermesi nedeniyle, PPA'nın, bağımsız bir hastalık olmaktan çok, frontal lob demansı, AD ve Pick ile içe-geçen hastalıklar olduğunu ileri sürümlerdir (4). Diğer çalışmalarda da, otopsi yapılan PPA ön tanımlı vakalarda Pick veya AD ile benzerlikler görülmüştür (3, 5).

Sonuçta, PPA tanısının, nöropatolojik bulgular olmaksızın, sadece bir klinik sendrom olarak kabul edilmesini ve bu vakalarda ayrıntılı aile öyküsünün alınmasını, ayrıca bu vakaların, olası "global demans" yönünden uzun süre izlenmesi gerektiğini söyleyebiliriz.

## KAYNAKLAR

- 1- Mesulam MM:Slowly progressive aphasia without generalized dementia. Ann Neurology 1982;11:592-598
- 2- Weintraub S, Rubin NP, Mesulam M:Primary progressive aphasia. Arch Neurol. 1990;47:1329-1335
- 3- Scheltens P, Ravid R, Kamphorst W:Pathologic findings in a case of primary progressive aphasia. Neurology 1994;44:279-282
- 4- Kertesz A, Hudson L, Mackenzie Ian RA, Munoz DG:The pathology and nosology of primary progressive aphasia. Neurology 1994;44:2065-2072
- 5- Karbe H, Kertesz A, Polk M:Profiles of language impairment in primary progressive aphasia. Arc. Neurol. 1993;50:193-201
- 6- Chawla JB, Mesulam MM, Hurtig H et al:Slowly progressive aphasia without generalized dementia:Studies with positron emission tomography. Ann Neurology 1986;19:68-74
- 7- Sapir LR, Anderson FH, Pulaski PD:Progressive aphasia without dementia:Further documentation. Ann Neurology 1989;25:411-413
- 8- Cohen L, Benoit N, Van Eeckhout P, Ducarne B, Brunet P:Pure progressive aphemia. J Neurol Neurosurg Psychiatry 1993;56:923-924
- 9- Cummings JL, Benson DF, Hill MA et al: Aphasia in dementia of the Alzheimer type. Neurology 1985;35:394-397
- 10- Delecluse F, Andersen AR, Waldemar G, Thomsen AM et al:Cerebral blood flow in progressive aphasia without dementia. Brain 1990;113:1395-1404

## AKUT STROKTA LİPİD PROFİLİ, APOLİPOPROTEİN A-1 VE APOLİPOPROTEİN B\*

Taşkın DUMAN, Şerefur ÖZTÜRK, Sabahat GÜRÇAY

Ankara Numune Hastanesi, Nöroloji Kliniği, Ankara

### ÖZET

Serebrovasküler hastalıklarda serum lipidleri ve lipoproteinleri arasındaki ilişki koroner aterosklerozdaki kadar açık değildir. Apolipoproteinler veya lipoproteinlerin protein komponentlerinin aterogenezisde, lipid komponentinden daha önemli olduğunu bildiren çalışmalar mevcuttur. Strok değişik etyolojilerle oluşan heterojen bir durum olduğundan hemorajik ve iskemik strok gruplarında akut dönemde plazma lipid faktörlerini ve hipertansiyon, atrial fibrilasyon, iskemik kalp hastalığı, diabet, yaş gibi bilinen risk faktörleri ile ilişkiye araştırdık.

22 hemorajik, 51 iskemik olmak üzere 73 akut strok hastasında strok sonrası 48 saatteki total lipid, total kolesterol, triglyceridler, HDL kolesterol, LDL kolesterol, VLDL kolesterol, apolipoprotein A-1 ve apolipoprotein B serum düzeyleri ölçüldü. İskemik grupta Apolipoprotein B ile total lipid ( $r:0,73 p<0,001$ ), total kolesterol ( $r:0,66 p<0,001$ ), triglycerid ( $r:0,51 p<0,001$ ), LDL kolesterol ( $r:0,58 p<0,001$ ) ve VLDL kolesterol ( $r:0,35 p<0,01$ ) arasında pozitif korelasyon varken, HDL ile Apolipoprotein B arasında anlamlı korelasyon bulunmadı. Apolipoprotein A-1 ile total lipid ( $r:-0,24 p<0,05$ ), total kolesterol ( $r:-0,38 p<0,01$ ), LDL kolesterol ( $r:0,37 p<0,01$ ) arasında negatif korelasyon varken, triglycerid, HDL kolesterol, VLDL kolesterol arasında anlamlı korelasyon yoktu. Hemorajik grupta Apolipoprotein A-1 ile total lipid ( $r:-0,48 p<0,01$ ), total kolesterol ( $r:-0,51 p<0,01$ ), LDL kolesterol ( $r:-0,54 p<0,01$ ), negatif korelasyon gösterirken, triglyceridler ve VLDL kolesterol ile anlamlı ilişki yoktu. HDL ile Apolipoprotein A-1 arasında pozitif korelasyon ( $r:0,83 p<0,001$ ) bulundu.

**Anahtar Kelimeler:** Hemorajik strok, iskemik strok, apolipoprotein A-1, apolipoprotein B

## LİPİD PROFILE, APOLİPOPROTEİN A-1 AND APOLİPOPROTEİN - B IN ACUTE PERİODE OF THE STROKE

The relation between serum lipids and lipoproteins in cerebrovascular disease is not as clear cut as in coronary atherosclerosis. Some studies suggest that apolipoproteins or protein components of lipoproteins are more important than lipid components. Since stroke a heterogen condition that occurs because of various etiologic causes, we examined risk factors including lipid factors, hypertension, atrial fibrillation, ischaemic heart disease, diabetes mellitus and age in acute stage of hemorrhagic and ischaemic stroke. Serum levels of total lipid, total cholesterol, triglycerids, HDL cholesterol, LDL cholesterol, VLDL cholesterol, apolipoprotein A-1 and apolipoprotein B were measured in 22 haemorrhagic and 51 ischaemic acute stroke patients within 48 hours. In the ischaemic group, no meaningful correlation was found between HDL cholesterol and Apolipoprotein B while a positive correlation was found between Apolipoprotein B and total lipid ( $r:0,73 p<0,001$ ), total cholesterol ( $r:0,66 p<0,001$ ), triglycerid ( $r:0,51 p<0,001$ ), LDL cholesterol ( $r:0,58 p<0,001$ ) and VLDL cholesterol ( $r:0,35 p<0,01$ ). No meaningful correlation was found Apolipoprotein A-1 and triglycerid, HDL cholesterol, and VLDL cholesterol. A negative correlation was found between Apolipoprotein A-1 and total lipid ( $r:-0,24 p<0,05$ ), total cholesterol ( $r:-0,38 p<0,01$ ) and LDL cholesterol ( $r:-0,37 p<0,01$ ). In the hemorrhagic group, a negative correlation was found between Apolipoprotein A-1 and total lipid ( $r:-0,48 p<0,01$ ), total cholesterol ( $r:-0,51 p<0,01$ ), LDL cholesterol ( $r:-0,54 p<0,01$ ). No meaningful correlation was found between Apolipoprotein A-1 and triglycerids, and VLDL cholesterol. HDL cholesterol showed positive correlation with Apolipoprotein A-1 ( $r:0,83 p<0,001$ ).

When biochemical variables were compared the cases with hemorrhagic and infarcts, no differences were found for total lipid, total cholesterol, triglycerides, HDL-C, LDL-C, VLDL-C, Apolipoprotein A-1, and Apolipoprotein B levels. In conclusion, our results indicate that alterations in lipid profile is primary risk factor in hemorrhagic stroke as well as in ischemic stroke.

**Key Words:** Haemorrhagic stroke, ischaemic stroke, apolipoprotein A-1, apolipoprotein B

### GİRİŞ

Serum lipidleri veya spesifik lipid subfraksiyonları, intrakranial ve ekstrakranial arterlerde, küçük ve geniş intrakranial damarlarda ateroskleroz oluşumu yönünden farklı etkiye sahip olabilir. Lipoproteinler, koroner ateroskleroz için lipidlerden daha iyi belirleyici olarak tespit edilmeleri ile (1-8), son zamanlarda iskemik serebrovasküler hastalıklarda lipoproteinlerin protein komponentine ilgi artmıştır (9-11). Plazma lipidlerinin

transportunda apolipoproteinlerin rolünün anlaşılması bu konuda önemli gelişmelerin başlangıcı olmuştur (12). Lipoproteinlerin karaciğer ve barsakta sirkülasyona girebilmesi ve dokulara alınması için hazırlanmasında apolipoproteinler esastır. Serum lipoproteinlerinin aterogenezisteki önemli rolü bilindiğine göre, serum apolipoproteinlerinin serebrovasküler hastalıklarda, bir prediktör olarak önemi araştırılmaktadır. Bu konuda apolipoprotein A-I

ve apolipoprotein B strok riski yönünden önem taşıdıkları düşünülen apolipoproteinlerdir. Bu çalışma, akut strok hastalarında hemorajik ve iskemik strok tiplerinde plazma lipid, lipoprotein ve apolipoproteinleri ile bunların arasındaki ilişkileri incelemek amacıyla planlandı.

## GEREÇ VE YÖNTEM

Bu çalışmada akut strok nedeniyle 1 Eylül 1992 - 30 Nisan 1993 tarihleri arasında kliniğimizde yatan ve strok başlangıcından itibaren ilk 48 saatte başvurmuş olan hastalar değerlendirildi. Bütün hastalarda strok tiplendirmesi klinik muayene ve BT ile yapıldı. Geçici iskemik atak ve subaraknoid hemorajiler çalışmaya dahil edilmemi. Serum lipidleri etkilenebileceğinden malignensi, hepatik, renal, bilier veya tiroid hastalığı olanlar çalışma dışı bırakıldı. Her hasta için aile öyküsü, sigara ve alkol alışkanlığı, DM, kalp hastalığı ve daha önce serebrovasküler hastalık öyküsü kaydedildi. Hastalardan, stroku izleyen ilk 48 saat içerisinde 12 saatlik açlık sonrası alınan venöz kan örneğinde glukoz, elektrolitler, ürik asit, üre, kreatinin, total protein, albumin, globulin, KC fonksiyon testleri, SGOT, SGPT, LDH, total bilirubin, direkt ve indirekt bilirubin, total lipid, total kolesterol, trigliseridler, HDL kolesterol, LDL kolesterol, VLDL kolesterol, Apolipoprotein A-I ve Apolipoprotein B düzeylerine bakıldı. Apolipoproteinlerin ölçümünde immunoturbidometrik yöntem, lipid, gliserid, kolesterol için enzimatik yöntem kullanıldı.

Verilerin istatistiksel değerlendirilmesi için grupların karşılaştırılmasında; tek yönlü varyans analizi, değişkenler ile Apolipoprotein A-I ve Apolipoprotein B arasındaki ilişkiyi incelemeye students t testi,  $\chi^2$  testi ve korelasyon analizi kullanıldı.

## BULGULAR

Çalışmaya dahil edilen 73 hastadan 51'i iskemik (30 erkek 21 kadın), 22'si (12 erkek 10 kadın) hemorajik strok tanısı aldı. Akut iskemik ve hemorajik stroklu hasta gruplarına ait özellikler tablo I'de, total lipid, total kolesterol, trigliserid, HDL kolesterol, LDL kolesterol, VLDL kolesterol, Apolipoprotein A-I ve Apolipoprotein B ortalamaları tablo II'de gösterilmiştir. Total kolesterol için 250 mg/dL, trigliserid için 160 mg/dL üst sınırları kabul edildiğinde iskemik stroklu hastaların %54'ü hipercolesterolemik, %36'sı hipertrigliseridemik bulundu. Hemorajik grubun ise %54.5'i hipercolesterolemik, %45.5'i hipertrigliseridemik idi. Hipercolesterolemik hastalarda Apolipoprotein A-I düzeyleri anlamlı derecede düşük ( $p < 0.01$ ) iken, Apolipoprotein B düzeyleri ise anlamlı olarak yüksekti ( $p < 0.001$ ).

Tablo 1. İskemik ve hemorajik strok gruplarının özellikleri.

	İskemik stroklu hasta grubu (n:51)	Hemorajik stroklu hasta grubu (n:22)
Yaş	61,34±14,35	66,77±9,66
Kalp hastalığı	22	5
Hipertansiyon	33	17
Geçirilmiş strok	14	4
DM	13	4
Sigara içen	12	2
Sigarayı bırakmış	3	5
Sigara içmeyen	36	15
Normal EKG	15	14
İskemik EKG	26	5
Aritmik EKG	10	3

Tablo 2. İskemik ve hemorajik strok gruplarına ait ortalama değerler.

	İskemik stroklu hasta grubu (n:51)	Hemorajik stroklu hasta grubu (n:22)
Total lipid (mg/dL)	909.24±258.41	933.63±224.32
Total Kolesterol (mg/dL)	261.14±71.00	258.95±63.25
Trigliserid (mg/dL)	167.14±97.65	169.54±97.31
HDL (mg/dL)	48.12±26.39	44.77±8.18
LDL (mg/dL)	174.32±77.10	177.09±66.98
VLDL (mg/dL)	35.77±22.25	35.63±18.93
Apo A-1 (g/L)	1.22±0.27	1.19±0.23
Apo B (g/L)	1.68±0.63	1.82±0.56

Hipertrigliseridemik hastalarda Apolipoprotein A-I düzeyleri normotrigliseridemik hastalara göre farklılık göstermiyorken ( $p > 0.05$ ), Apolipoprotein B düzeyi hipertrigliseridemik hastalarda normotrigliseridemiklere göre daha yükselti ( $p < 0.001$ ). Hemorajik ve iskemik gruplarda verilerin istatistiksel analizi, bu parametreler yönünden iskemik ve hemorajik stroklu gruplar arasında anlamlı fark bulunmadığını gösterdi ( $p > 0.05$ ).

İskemik grupta Apolipoprotein A-I ile, total lipid düzeyi arasında negatif korelasyon ( $r:-0.24$   $p<0.05$ ), total kolesterol ile negatif korelasyon ( $r:-0.38$   $p<0.01$  ), LDL kolesterol ile negatif korelasyon ( $r:-0.37$   $p<0.01$  ), Apolipoprotein B ile negatif korelasyon ( $r:-0.33$   $p<0.01$  ) vardı.

Apolipoprotein A-I ile trigliceridler, HDL ve VLDL kolesterol arasında anlamlı korelasyon yoktu. İskemik grupta Apolipoprotein B düzeyi, total tipid düzeyi ile pozitif korelasyon ( $r:0,73 P<0,001$ ), total kolesterol ile pozitif korelasyon ( $r:0,66 p<0,001$ ) triglycerid ile pozitif korelasyon ( $r:0,51 p<0,001$ ), LDL kolesterol ile pozitif korelasyon ( $r:0,58 p<0,001$ ), VLDL kolesterol ile pozitif korelasyon ( $r:0,35 p<0,01$ ) gösteriyordu. Apolipoprotein B ile HDL kolesterol arasında anlamlı korelasyon yoktu.

Hemorajik grupta Apolipoprotein A-I, total lipid düzeyi ile negatif korelasyon ( $r:-0,48 P<0,01$ ), total, kolesterol ile negatif korelasyon ( $r:-0,51 p<0,01$ ), LDL kolesterol ile negatif korelasyon ( $r:-0,54 p<0,01$ ), Apolipoprotein B ile negatif korelasyon ( $r:-0,53 p<0,01$ ), Apolipoprotein A-I ile HDL kolesterol arasında pozitif korelasyon ( $r:0,83 p<0,001$ ) bulundu. Triglyceridler ve VLDL ile Apolipoprotein A-I arasında anlamlı korelasyon yoktu. Hemorajik grupta Apolipoprotein B düzeyi ile total lipid düzeyi arasında pozitif korelasyon ( $r:0,78 p<0,001$ ), total kolesterol ile pozitif korelasyon ( $r:0,82 p<0,001$ ), LDL kolesterol ile pozitif korelasyon ( $r:0,78 p<0,001$ ), HDL kolesterol ile negatif korelasyon ( $r:-0,74 p<0,001$ ) vardı. Apolipoprotein B ile VLDL ve triglyceridler arasında anlamlı korelasyon bulunmamadı.

## TARTIŞMA

Strok çeşitli patogenetik mekanizmlarla oluşan heterojen bir sendrom olduğundan, spesifik lipoproteinlerin de risk faktör indikatörü olarak farklı öneme sahip olacağı düşünülebilir.

Apolipoprotein A-I, HDL nin major proteinidir. Hem karaciğerde hem de barsakta sentezlenir. HDL kolesterol koroner kalp hastalığı için riskle ters bir korelasyon gösterir (13). Bu ilişkinin nedeni tam bilinmemektedir. Ancak kısmen HDL nin damar duvarından kolesterolü mobilize etme yeteneğine bağlanabilir. Buna göre Apolipoprotein A-I in bu mobilizasyona neden olan aktif faktör olabileceği ve koroner kalp hastalığı riskini belirlemeye Apolipoprotein A-I in, HDL kolesterolden daha iyi bir göstergе olabileceği ileri sürülmüştür (12). Son zamanlarda Apolipoprotein A-I'in protektif etkisinin prostasiklin stabilizan faktör olarak tanımlanmasından dolayı vasküler hasar bölgesinde platelet birikimine karşı hareketi ile bağlantılı olduğu ileri sürülmüştür (14).

Apolipoprotein B, VLDL ve LDL nin major yapısal apoproteinidir. Hem VLDL, hem de LDL aterogenezle ilgili bulunmuştur (12). Bu lipoprotein partiküllerinin herbiri için bir Apolipoprotein B molekülü vardır ve böylece total serum Apolipoprotein B düzeyinin saptanması sirkülasyondaki VLDL ve LDL nin belirlenmesini sağlar. Bazı çalışmalar koroner ateroskleroz riskini belirlemeye Apolipoprotein B düzeyinin total

kolesterol ve lipoprotein düzeylerinden daha iyi bir indikatör olduğunu göstermiştir (16-23). Apolipoprotein B seviyesi yüksek olan hipertriglyceridemili kişilerin Apolipoprotein B seviyesi normal olanlara göre daha yüksek koroner kalp hastalığı riskine sahip oldukları belirtilmiştir (23).

İskemik serebrovasküler hastalıklarda HDL kolesterol (25-28) ve Apolipoprotein A-I düşük, total kolesterol ve LDL kolesterol yüksek bulunmuştur (28). Ancak, strokta total kolesterol ve LDL kolesterol değerlerinin kontrollerden yüksek olmadığını bulanlar da vardır (29-31). Yüksek total kolesterol (32,33) ve total triglycerid (34) ile strok arasında bağlantı bildirilmiştir (33, 34). Total triglycerid ile strok arasında bağlantı bulmayan çalışmalar da vardır (35, 36). İskemik stroklu hastalarda HDL kolesterolü düşük bulan (25-28-37-38) kontrollerden farksız bulan (36) çalışmalar da vardır. Total kolesterol ve LDL kolesterol için de farklı sonuçlar mevcuttur. Total kolesterol ve LDL kolesterol bazı çalışmada kontrollerden farklı bulunmamıştır (29, 30, 31, 37, 39, 40), fakat LDL kolesterol (28) ve totalkolesterolün (41) iskemik strokta yüksek olduğunu bildiren çalışmalar da vardır. Aynı şekilde, iskemik strokta total triglycerid yüksek bulunurken (33,34), total triglycerid ile strok arasında bağlantı bulamayan çalışmalar mevcuttur (35, 36). Yüksek serum lipoprotein düzeyleri ve ara dansiteli lipoprotein düzeyindeki anomalilikler HDL düzeyinin azalması ile birlikte, normokolesterolemik ve normotriglyceridemiklerde bile iskemik serebrovasküler hastalık için major risk faktörü olarak bildirilmiştir (28). Koroner kalp hastalığı ile düşük HDL ve yüksek LDL arasında ilişki bulunmuştur (42, 43, 44). Serum kolesterolü, LDL kolesterol ve serum Apolipoprotein B düzeyi ile korele olarak tespit edilmiştir (28). Apolipoprotein A-I ve Apolipoprotein B konsantrasyonu iskemik serebrovasküler hastalıkta normal bulunmuştur (9), ancak Apolipoprotein A-I de azalma bildirenler de vardır (10,28). Total kolesterol ve Apolipoprotein B arasında belirgin korelasyon bulunmuştur (45). Akut strok fazında total kolesterol ve LDL kolesterolün muhtemelen akut stres etkisine bağlı olarak düştüğü ifade edilmiştir (46, 47). Bu nedenle iskemik stroklu hastaların verilerini aynı fazda bulunan hemorajik stroklu hastalarla karşılaştırdık.

Lipid profili açısından değerlendirildiğinde hemorajik ve tromboembolik grupta total lipid, total kolesterol, triglycerid, HDL, LDL, VLDL kolesterol, Apolipoprotein A-I ve Apolipoprotein B düzeyleri arasında anlamlı fark yokken, iskemik grupta Apolipoprotein B nin, T. lipid, T. kolesterol, triglycerid, VLDL ve LDL ile pozitif korelasyon gösterdiği, HDL ile anlamlı bir korelasyon göstermediği görüldü.

Apolipoprotein A-I ile iskemik grupta total lipid, total kolesterol, LDL arasında negatif korelasyon varken trigliseridler, HDL ve VLDL arasında anlamlı korelasyon yoktu. Bu da tromboembolik grupta Apolipoprotein B'nin daha güvenilir hiperlipidemi göstergesi olduğunu düşündürdü. Çalışmamızda hipertriglyceridemik hastalarda Apolipoprotein A-I düzeyi normotriglyceridemiklere göre farklılık göstermezken, Apolipoprotein B düzeyinin hipertriglyceridemik hastalarda normotriglyceridemiklere göre yüksek bulunması da Apolipoprotein B'nin daha iyi marker olduğunu düşündürdü.

## KAYNAKLAR

1. Senti M, Romero R, Redro-Bonet J, Delegri A, Nogues X, Rubles Drat J. Lipoprotein abnormalities in hyperlipidemic and normolipidemic men on hemodialysis with chronic renal failure. *Kidney Int* 1992; 41:1394-1399.
2. Krouse RM, Lindgren FT, Williams PT, Kelsey SF, Brensike J, Uranizan K, Detre KM, Levy RI; intermediate - density lipoproteins and progression of coronary artery disease in hypercholesterolemic men. *Lancet* 1987; 2: 62-66.
3. Havel RJ. Role of triglyceride-rich lipoprotein in progression of atherosclerosis. *Circulation* 1990; 81: 694-96.
4. Mohr JP. Lacunes in Barnett H, Mohr JP, Stein BM, Yatsu FM (eds) : *Stroke* : London, Churchill Livingstone, Inc, pp 475-496 (1986).
5. Van Gijn J, Kraaijveld CL. Blood pressure does not predict lacunar infarction. *J Neurol Neurosurg Psychiatry* 1982; 45:147-150.
6. Lodder J, Bamford JM, Sandercock PAG, Jones LN-Warlow CP; Are hypertension or cardiac embolism likely causes of lacunar infarction? *Stroke* 1990; 21: 379-381.
7. Millikan C, Futrell N. The fallacy of lacune hypothesis. *Stroke* 1990; 21: 1251-1257.
8. Bogousslavsky J. Topographic patterns of cerebral infarcts. *Cerebrovasc Dis* 1991; 1 (suppl I) : 61-68.
9. Adams RJ, Carroll RM, Nichols FT, Mc Nair N, Feldman DS, Feldman EB, Thompson VVO. Plasma lipoproteins in cortical versus lacunar infarction. *Stroke* 1989; 20: 346-354.
10. Woo J, Lau E, Lam CWK, Kay R, Teoh R, Wong HY, Prall VVY, Kreel L, Nicholls MG. Hypertension, Lipoprotein and apolipoprotein-AI as risk factors for stroke in the Chinese. *Stroke*, 1991; 22 : 203-208.
11. Guibilei F, D'Antona R, Antonini R, Lenzi GL, Ricci G, Fieschi C. Serum lipoprotein pattern variations in dementia and ischemic stroke. *Acta Neurol Scand* 1990; 81: 84-86.
12. Grundy SM, Vega LG. Role of apolipoprotein levels in clinical practice. *Arch Intern Med* 1990; Vol ISO, August; 1579-1582.
13. Miller NE, Thelle DS, Forde OH, Mgos OD, The Tromso Heart Study: high-density lipoprotein and coronary heart disease; a prospective case-control study. *Lancet* 1977; 1:965-968.
14. Yui Y, Aucomat I, Marishita H, Takahashi M, Takatsu Y, Kawai C. Serum prostacyclin stabilizing factor is identical to apolipoprotein A-I (Apo A-I). *J Clin Invest* 1988; 82: 803-807.
15. Sniderman A, Shopiro S, Marpole D, Skinner B, Tend B, Kwiterovich PO Jr. Association of coronary atherosclerosis with hyperapobeta lipoproteinemia (increased protein but normal cholesterol levels in human low density lipoproteins). *Proc Natl Acad Sci USA* 1980; 77:1604-608.
16. Wayne TF, Alaupovic P, Curry MD, LuG, Anderson PS, Schectin E. Plasma apolipoprotein B and VLDL-LDL and HDL cholesterol as risk factors in the development of coronary artery disease in male patients examined by angiography. *Atherosclerosis* 1981; 39: 411-424.
17. Avogaro P, Bittolo Bon G, Cazzolato G, Quinci GB, Belussi F. Plasma levels of apolipoprotein A-I and apolipoprotein B in human atherosclerosis. *Arteriosclerosis* 1978; 385-394.
18. Reisen WF, Mordasini R, Salzmann C, Theler A, Gurtner HP. Apoproteins and lipids as discriminators of severity of coronary heart disease. *Atherosclerosis* 1980; 37:157-162.
19. De Backer G, Ruseneu M, Deslypere LP. Discriminative value of lipids and apoproteins in coronary heart disease. *Atherosclerosis* 1982; 42: 197-207.
20. Fager G, Wiklund O, Olofsson O, Wilhelmsen L, Bandiera G. Multivariate analysis of serum apolipoproteins and risk factors in relation to acute myocardial infarction. *Atherosclerosis* 1981; 1: 273-279.
21. Onitiri AC, Jover E. Comparative serum apolipoprotein studies in ischemic heart disease and control subjects. *Clin Chim Acta* 1980; 108; 25-30.
22. Sniderman AC, Wolfson C, Teng B, Franklin FA, Bachorik PS-Kwiterovich PO Jr. Association of hypertriglyceridemia with endogenous hypertriglyceridemia and atherosclerosis. *Ann Intern Med* 1982; 97:833-839.
23. Kane JP, Sata T, Hemilton RL-Havel RJ. Apoprotein composition of very low density lipoproteins in human serum. *J Clin Invest* 1975; 56:1622-1634.
24. Adams RJ, Carroll RM, Nichols FT, Mc Nair N, Feldman DS, Feldman EB, Thompson WO. Plasma lipoproteins in cortical versus lacunar infarction. *Stroke* 1989; 20: 448-482.
25. Murai A, Taraka T, Miyahara T, Kameyama M. Lipoprotein abnormalities in pathogenesis of cerebral infarction and transient ischaemic attack. *Stroke* 1981; 12:187-172.
26. Woo J, Lau E, Lam C, W.K., Kay R, Tesh R, Wong H.Y. et al. Hypertension, Lipoprotein (a), and Apolipoprotein A-I as Risk Factors for stroke in the Chinese. *Stroke* 1991; 22:203-208.
27. Botet JP, Senti M, Nogues X, Rubues J, Roquer J, D'Olhaberriague I et al. Lipoprotein and apolipoprotein profile in men with ischaemic stroke. *Stroke* 1992; 23: 1556-1562.
28. Brodly GV, Valente AJ, Walton KW. Serum high density lipoproteins in peripheral vascular disease. *Lancet* 1978; 11: 1271-1274.
29. Rossner S, Kjellin K.G., Mettinger K.L., Siden A, Söderström C.E. Dyslipoproteinemia in patients with ischemic cerebrovascular disease; a study of stroke before the age of 55. *Atherosclerosis* 1978; 30:199-209.
30. Bruck J, Fischer M, Tschabitscher H. Über die Veränderungen der Serum lipoproteine bei zerebrovaskulären Erkrankungen. *Wien. Klin-wschr*; 1981; 93 : 604-609.
31. Iso H, Jacobs DR, Wentworth D, Neaton TA, Cohen JD. Serum cholesterol levels and six-year mortality from stroke in 350, 1977 men screened for the multiple risk factor intervention trial. *N. Engl J. Med* 1989; 320 : 904-910.
32. Szatrowski T.P., Peterson A.V., Shimizu Y., Prentice R.L., Mason M. W., Fukunaga Y., Katotti. Serum cholesterol and other risk factors and cardiovascular disease in a Japanese cohort. *J Chronic Dis* 1984; 37 : 569-584.
33. Salonen J.T., Puska P. Relation of serum cholesterol and triglycerides to the risk for acute myocardial infarction, cerebral stroke and death in eastern Finnish male population. *Int J. Epidemiol* 1983; 3 : 316-322.
34. Rhoads GA, Feinleib M. Serum triglyceride and risk of coronary heart disease, stroke and total mortality in Japanese-American men. *Arteriosclerosis* 1983; 3 : 316 - 322.
35. Zenker G, Költringer P, Bone' G, Neidereck K, Preiffer K, Jürgers G. Lipoprotein (a) as strong indicator for cerebrovascular disease. *Stroke* 1986; 17:942-945.
36. Rössner S, Kjellin K.G., Mettinger K.L., Siden A, Söderström C.E. Dyslipoproteinemia in patients with ischemic cerebrovascular disease; a study of stroke before the age 55. *Atherosclerosis* 1978; 30:199-209.
37. Kostner, G.M., Marth E, Pfeiffer K.P., Wege H. Apolipoprotein A I, A II and HDL phospholipids but not Apo-B are risk indicators for occlusive cerebrovascular disease. *Eur Neurol* 1986; 25 : 346-354.
38. Ballantyne D, Grossart KWG, Ballantyne J.P., Young A, Kawrie TDV. Relationship of plasma lipid and lipoprotein concentration to cerebral atherosclerosis and electrocardiographic findings. *J Neurol Sci* 1974; 23 : 323-329.
39. Sadoshima S, Kurozumi T, Tanaka K, Takeshita M, Hirota Y, Omea T, Uzawa H, Katsuki S. Cerebral and aortic

- atherosclerosis in Hisayama, Japan. *Atherosclerosis* 1980; 36 :117-126
41. Lo IU, Fod S, mc Kinney W, Toole JF. Asymptomatic bruit, carotid and vertebro basilar transient ischemic attacks. A clinical and ultrasonic corelation. *Stroke* 1986;17 : 65-68
42. Miller G.J, Miller N.E. Plasma high-density lipoprotein concentration and development of ischemic heart disease. *Lancet* 1975;1 :16-19
43. Senti M , Pedro-Botet J, Nogues X, Rubies - Prat J, Wical - Barraquer F. Lipoprotein profile in men with peripheral vascular disease; Role of intermediate density lipoproteins and apoprotein E phenotypes. *Circulation* 1992;85 : 30-36
44. Austin M.A, King M.C, Vranizan K.M, Krauss R.M. Atherogenic lipoprotein phenotype; A proposed genetic marker for coronary heart disease risk. *Circulation* 1990; 82 : 495-506.
45. Vega G.L, Grundy S.M. Comparison of apolipoprotein B to cholesterol in low density lipoproteins of patients with coronary heart disease. *J lipid Res* 1984; 25 : 580-592
46. Mendez I, Hachinski V, Wolfe B. Serum lipids after stroke. *Neurology* 1987; 37 :507-511
47. Woo J, Lam CWK, Kay R, Wong HY, Teoh R, Nicholls M.G. Acute and long term changes in serum lipids after acute stroke . *Stroke* 1990;1 : 1407-1411

## BENIGN POZİSYONEL VERTİGO VE SAFRA KESESİ MOTİLİTESİ\*\*

Nevzat UZUNER, Erkan VARDARELİ, Demet GÜCÜYENER, Gazi ÖZDEMİR

Osmangazi Üniversitesi Tıp Fakültesi Nöroloji ve Nükleer Tıp AD'ları, Eskişehir

### ÖZET

Benign pozisyonel vertigo'lu (grup I) 14 hasta ile sağlıklı 17 hastanın (grup II) safra kesesi motilitesi, serum total kolesterol ve trigliserid seviyeleri karşılaştırıldı. Üst abdominal ultrasonografi tıtkı her iki grupta da normaldi. Safra kesesi kontraktilitiesi kolesintigrafı ile değerlendirildi. Yaş, cinsiyet, serum total kolesterol ve trigliserid seviyelerinin değerlendirilmesinde her iki grup arasında anlamlı farklılık bulunmadı. Grup I'de ejeksiyon periyodu  $69.3 \pm 3.2$  ve ejeksiyon hızı  $0.55 \pm 0.08$  idi. Grup II'de bu değerler sırasıyla  $58.7 \pm 2.3$  ve  $0.78 \pm 0.07$  olarak bulundu. Heriki grup arasında belirgin farklılık ( $p<0.05$ ) saptandı. Azalmış safra kesesi motilitesi safra taşı oluşumunda önemli rol oynar. Vertigolu hastalarda parasympatik aktivitenin baskılanmış olduğu gösterilmiş olup, bu da safra kesesinin kasılması negatif yönde etkilemeyecektir ve taş oluşumunu kolaylaştırmaktadır. Benign pozisyonel vertigo'nun safra kesesi taşları ile birlikte bulunmasını bu nedene bağlamaktayız.

**Anahtar kelimeler:** Benign pozisyonel vertigo, safra kesesi motilitesi, safra kesesi taşları, otonomik sinir sistemi

### BENIGN POSITIONAL VERTIGO AND GALLBLADDER MOTILITY

Gallbladder motility, serum total cholesterol levels, and serum triglycerid levels were compared between fourteen patients with benign positional vertigo (group I) and seventeen healthy subjects (group II). Upper abdominal ultrasonography were normal in both groups. Gallbladder motility was estimated by cholesintigraphy. No significant difference was found between both groups as assessment of age, sex, serum total cholesterol levels, and serum triglycerid levels. In group I, ejection period was  $69.3 \pm 3.2$ , and ejection rate was  $0.55 \pm 0.08$ . In group II (control group) these values were  $58.7 \pm 2.3$ , and  $0.78 \pm 0.07$ , respectively. There is a significant difference ( $p<0.05$ ) between two groups. The diminished motility of gallbladder is played an important role in raising gallbladder stones. Autonomic nervous system that effects on the gallbladder motility is known to be impaired in vertiginous patients. The decreased parasympathetic activity in vertiginous patients effects negatively on the contraction of the gallbladder muscles. We concluded that benign positional vertigo is probably accompanied with gallbladder stones due to this cause.

**Key words:** Benign positional vertigo, gallbladder motility, gallbladder stones, autonomic nervous system.

### GİRİŞ

Safra taşı oluşumunda ana faktörler safranın kolesterol ile supersatüre hale gelmesi (1), anomal şekilde hızlı kolesterol kristal nükleizasyonu (2) ve stazdır (3). Aynı zamanda kolesterol kristal nükleizasyon stimulatörleri ve inhibitörleri de etkili olmaktadır (4,5). Diğer taraftan yaş, cinsiyet, genetik yatkınlık, obesite, diyet, serum gliserid ve kolesterol seviyeleri de taş oluşumunu artırmaktadır (6-13). Son yıllarda safra taşı patogenezindeki çalışmalar safra kesesinin mukoza ve muskuler yapısı üzerinde yoğunlaşmıştır (1,3,11,12,14). Değişen safra kesesi motilitesi nedeniyle safra kesesinin tam olarak boşalamayışi safra stazına yol açmaktadır, bu da taş oluşumunu kolaylaştırmaktadır. Safra kesesi motilite bozuklukları nükleizasyonu hızlandırmakta ve safra ile kese mukoza arasındaki uzamış temas taş oluşumunu bir adım ileri getirmektedir. Vertigolu hastalarda saptanan otonomik fonksiyon bozuklukları da safra kesesi motilitesini etkilemektedir. Bu çalışmanın amacı benign pozisyonel vertigolu (BPV) hastalarda safra kesesinin motilitesini incelemek ve her iki bozukluk arasındaki ilişkiyi araştırmaktır.

### GEREÇ VE YÖNTEM

Safra kesesi motilitesi, fizik muayene bulguları, laboratuvar incelemeleri ve üst abdominal ultrasonografileri normal olan BPV'lu 14 hastada ve 17 sağlıklı olguda uygulandı. Üst abdominal ultrasonografilerinde safra kesesi taşı saptanan BPV'lu 9 hastaya safra kesesi motilite testi yapılmadı. Serum total kolesterol ve serum gliserid seviyeleri ölçümü için venöz kan örnekleri 12 saatlik açlığı takiben alındı. Bir gecelik açlığı takiben radyonüklid kolesintigrafı olgulara uygulandı. Hasta sırtüstü pozisyonda düşük enerji, genel amaçlı kolimatör takılmış gamma kamerası (GE 400 AC/T) detektörü altına yatırıldı. 185 Mbq Tc-99m iminodiasetik asit (IDA) derivesi periferik veden enjekte edilerek 1'er dakikalık dinamik görüntüler 120 dakika boyunca bilgisayara (GE Starcam 4000I) kaydedildi. 60 dakika sonunda, safra kesesi çevresinden ilgi alanı (ROI) çizildi. Bu ROI'den bilgisayarda zaman-aktivite eğrisi elde edilerek peak'e ulaşığı zaman (Tmax), maksimum aktivitenin yarılanma zamanı (T1/2), latent period (LP:peak aktivite zamanından kesede boşalmanın başlangıcına kadar geçen süre), ejeksiyon periodu

(EP:Tmax'dan çalışmanın sonuna kadar geçen süre), ejeksiyon fraksiyonu (EF: maksimum sayımlı-minimum sayımlı/maksimum sayımlıx100) ve ejeksiyon hızı (ER:EF/EP) bulundu. Hepatik ekstraksiyon indeksi (HEI) ve hepatik mean transit time (HEMTT) ölçümleri yapıldı. İstatistiksel değerlendirmelerde Fisher tam olasılık testi ve student's t testi uygulandı.

## BÜLGÜLAR

Safra kesesi motilite testi yapılan kontrol ve hasta grubunun cinsiyet, yaş, serum gliserid ve total kolesterol değerleri bakımından iki grup arasında anlamlı farklılık bulunmadı. Safra kesesi taşı saptanan hastalarda safra kesesi

Tablo-1: Olguların genel bilgileri ve laboratuvar değerleri

	Motilite testi yapılan hasta grubu(n=14)	Motilite testi yapılmayan hasta grubu(n=9)	Kontrol grubu (n=17)
Kadın / Erkek	11 / 3	7 / 2	9 / 8
Yaş	50.92 ± 3.25	42.66 ± 4.73	41.29 ± 7.43
Serum trigliserid %mg	156.64 ± 23.32	172.44 ± 17.74*	119.63 ± 12.68
Serum kolesterol %mg	193.50 ± 11.01	210.44 ± 14.79	183.00 ± 48.55

\* Student's testi p<0.05 (kontrol grubu ile arasında)

motilitesinin bozulmuş olduğunu gösteren birçok çalışma vardır (1,3,11,14,15). Bu nedenle taşı olgularda safra kesesi motilite testi yapmadık. Safra kesesi taşı saptanan hasta grubu ile safra kesesi taşı saptanmayan hasta grubunun laboratuvar değerleri arasında da istatistiksel olarak anlamlı farklılık bulunmamıştır. Safra taşı saptanıp ve safra kesesi motilite testi yapılmayan olgular ile kontrol grubunun laboratuvar değerleri karşılaştırıldığında serum total kolesterol değerleri arasında anlamlı farklılık bulunmamış, buna karşın serum trigliserid değerleri hasta grubunda kontrol grubuna göre anlamlı derecede yüksek bulunmuştur (p<0.05) (Tablo-1).

Hastaların hiçbirinde anemi, hiper veya hipoglisemi saptanmadı. Safra kesesi motilitesini etkileyen karaciğer fonksiyon bozukluğunu erken dönemde ortaya çıkarabilen hepatik ekstraksiyon indeksi ve hepatik mean transit time normal bulundu (Tablo-2).

Dünger laboratuvar incelemelerinde, rutin karaciğer fonksiyon testleri, böbrek fonksiyon testleri, akciğer grafileri, servikal grafileri, EKG'leri, kranyal BT'leri, kranyal MRI, odiogram, abdominal ultrasonografileri normal bulunmuştur.

Tablo-2 : Karaciğer fonksiyon testleri

	HEI	HEMTT
Hasta Grubu	139.4 ± 9.3	10.5 ± 0.7
Normal değerler	100 >	14 <

BPV'lu grupta kolesintigrafik bulgular içerisinde maksimum aktivite zamanı azalmış (p<0.05), safra atılım zamanı uzamış (p<0.05) ve safra atılım hızı uzamıştır (p<0.05) (Tablo-3).

Tablo-3: Hasta ve kontrol grubu olgularında kantitatif kolesintigrafik parametreler

	Tmax (dak)	LP (dak)	EP (dak)	EF (%)	ER
Hasta grubu (n=14)	50.7 ± 3.2	6.1 ± 0.5	69.3 ± 3.2	40.3 ± 6.7	0.55 ± 0.08
Kontrol grubu (n=17)	61.2 ± 2.3	7.7 ± 1.4	7.7 ± 1.4	45.8 ± 4.6	0.78 ± 0.07
p değeri	<0.05*	> 0.05	< 0.05*	> 0.05	< 0.05*

\* Student's testi

## TARTIŞMA

Safra kesesi motilitesi azalmış olmasına rağmen safra taşı olmayan olgulardaki serum kolesterol ve trigliserid değerleri kontrol grubuna göre yüksek olmasına karşın anlamlı farklılık gösterilememiştir. Safra kesesi taşı saptanan olgular ile kontrol grubu arasında serum trigliserid seviyeleri açısından ise anlamlı farklılık bulunmuştur ve bu da safra taşı oluşumunda serum kolesterol düzeyi yerine trigliserid düzeylerinin daha önemli olduğunu işaret eden yazarları desteklemektedir (6-9,15). Benign pozisyonel vertigolu hastalarda serum kolesterol ve/veya trigliserid düzeylerinin yükseldiği konusunda literatürde bir çalışmaya rastlanmamıştır. Benign pozisyonel vertigo, günler veya haftalar süren ataklar şeklinde ortaya çıkan, baş hareketleri ile başdonmesinin artması ve nistagmusun gösterilmesi, Nylen-Barany testinin pozitif olması ile klinik olarak tanı konulabilen bir bozukluktur. Hastalığın altında yatan nedenin utrikül'deki proteinaköz ve mineral karışımından oluşan otolitik membranın partiküller halinde posterior semisirküler kanala doğru yer değiştirmesi olduğu ileri sürülmektedir (16,17,18). Ayrıca vertigolu hastalarda otonomik sinir sistemi bozuklukları da gösterilmiştir; istirahatte parasempatik aktivite, pasif harekete karşı sempatik aktivite azalmış olarak saptanmıştır (19,20). Bundan başka Diabetes Mellitus gibi otonomik nöropati oluşturan hastalıklarda da safra kesesi motilitesinin azlığı bilinmektedir (21,22,23). Safra kesesinin motilitesini etkileyen faktörlerden en önemlisi kolesistikinin hormonudur. Kolesistikinin etkisi nöral mekanizmlarla birlikte gitmektedir ve hem direkt olarak safra kesesi kasındaki reseptörler yolu ile hem de parasempatik aktivite ile safra kesesinin kasılması sağlanmaktadır. (24,25,26). Benign pozisyonel vertigolu hastalardaki etyolojik faktör olan yer değiştiren kanalitler ile safra kesesi motilitesinin bozulması ve safra taşlarının oluşumu hakkında direkt bağlantı kurulamamakla beraber, bu hastalarda gösterilen otonomik disfonksiyonun safra kesesi motilitesi üzerine hem direkt nöral etkiyle hem de indirekt olarak kolesistikinin üzerinden negatif etkisi olduğu ileri sürülebilir. Bu da daha önceden de bildirildiği gibi safra kesesinde staz ve taş oluşumunda rol oynayabilir. Biz bu çalışmada benign pozisyonel vertigolu hastalarda hem safra kesesi motilitesinin azalmış olduğunu hem de safra kesesi taşı oluşumunun sıklığını göstermiş olduk. Ancak daha yüksek hasta sayıları ile yapılacak çalışmalarla ve bu hastalarda serum kolesistikinin seviyelerinin ölçümü, utrikül'deki otolitik membranın içeriğinin değişiklikleri gibi daha ileri çalışmalar gereklidir.

## KAYNAKLAR

- O'Donnell LJD, Fairclough PD. Gallstones and gall bladder motility. *Gut* 1993;34:440-443.
- Jüngst D, Lang T, vonRiter C, Pratschke E, Paumgartner G. Cholesterol nucleation time in gallbladder bile of patients with solitary multiple cholesterol gallstones. *Hepatology* 1992;15:804-808.
- Behar J, Lee KY, Thompson WR, Biancani P. Gallbladder contraction in patients with pigment and cholesterol stones. *Gastroenterology* 1989;97:1479-1484.
- Burnstein MJ, Ilson RG, Petrunka CN, Taylor RD, Strasberg SM. Evidence for a potent nucleating factor in the gallbladder bile of patients with cholesterol gallstones. *Gastroenterology* 1983;85:801-807.
- Hozbach RT, Kibe A, Thiel A, Howell JH, Marsh M, Hermann RE. Biliary proteins. Unique inhibitors of cholesterol crystal nucleation in human gallbladder bile. *J Clin Invest* 1984;73:34-35.
- Kadziolka R, Nilsson S, Schersten T. Prevalence of hyper-lipoproteinemia in men with gallstone disease. *Scand J Gastroenterol* 1977;12:353-355.
- Scragg RKR, Calvert GD, Oliver JR. Plasma lipids and insulin in gallstone diseases: a case-control study. *Br Med J* 1984;289:521-525.
- Kono S, Kochi S, Ohyama S, Wakisaka A. Gallstones, serum lipids, and glucose tolerance among male officials of self-defense forces in Japan. *Digestive Diseases and Sciences* 1988;33:839-844.
- Rome group for epidemiology and prevention of cholelithiasis (GREPCO). The epidemiology of gallstone disease in Rome, Italy. Part II. Factors associated with the disease. *Hepatology* 1988;8:907-913.
- Thijs C, Knipschild P, Brombacher P. Serum lipids and gallstones: A case control study. *Gastroenterology* 1990;99:843-849.
- Everson GT. Gallbladder function in gallstone disease. In: *Gastroenterology Clinics of North America* 1991;20(1):85-110.
- Stone BG, Ansel HJ, Peterson FJ, Gebhard RL. Gallbladder emptying stimuli in obese and normal-weight subjects. *Hepatology* 1992;15:795-798.
- Russo F, Cavallini A, Messa C, Mangini V, Guerra V, D'Amato G, Misciagna G, Di Leo A. Endogenous sex hormones and cholesterol gallstones. A case-control study in an echographic survey of gallstones. *Am J Gastroenterology* 1993;88(5):712-717.
- Festi D, Frabboni R, Bazzoli F, Sangermano A, Ronchi M, Rossi L, Orsini M, Primenaro AMM, Mazzella G, Aldini R, Roda E. Gallbladder motility in cholesterol gallstone disease. *Gastroenterology* 1990;99:1779-1785.
- Vardareli E, Sarıçam T, Aslan V, Entok E, Ak İ. Safra taşı patogenezinde safra kesesi motilitesinin önemi. Osmangazi Üniversitesi Tıp Fakültesi Dergisi 1994;2:75-82.
- Kveton JF, Kashgarian M. Particulate matter within the membranous labyrinth: pathologic or normal? *Am J Otol* 1994;15:173-176.
- Sauron B, Dobler S. Benign paroxysmal positional vertigo. Diagnosis, course, physiopathology and treatment. *Rev Frat* 1994;44:313-318.
- Epley JM. Positional vertigo related to semicircular canalithiasis. *Otolaryngol Head Neck Surg* 1995;112:154-161.
- Kawasaki Y. Autonomic nervous function of vertiginous patients-assessment by spectral analysis of heart rate variability. *Nippon Jibinkoka Gakkai Kaiho* 1993 Mar;96(3):444-456. (Japanese) (Eng. Abstr.)
- Nakagawa H, Ohasi N, Kanda K, Watanabe Y. Autonomic nervous system disturbance as etiological background of vertigo and dizziness. *Acta Otolaryngol Suppl Stockh* 1993;504:130-133.
- de Boer SY, Masllee AA, Lam WF, Lemkes HH, Schipper J, Frohlich M, Jansen JB, Lamers CB. Effect of hyperglycemia on gallbladder motility in type I (insulin-dependent) diabetes mellitus. *Diabetologia* 1994;37:7.

- 22.Rybäk LP. Metabolic disorders of the vestibular system. *Otolaryngol Head Neck Surg* 1995;112:128-132.  
23.Mitsukawa T, Takemura J, Ohgo S, Mizuta M, Li T, Kurabayashi T, Matsukura S. Gallbladder function and plasma cholecystokinin levels in diabetes mellitus. *Am J Gastroenterol* 1990;85(8):981-985.  
24.Schjeldager BT. Role of CCK in gallbladder function. *Ann N Y Acad* 1994;713:207-218.  
25.Grider JR. Role of cholecystokinin in the regulation of gastrointestinal motility. *J Nutr* 1994;124:1334S-1339S.  
26.Beglinger C. Effect of cholecystokinin on gastric motility in human. *Ann N Y Acad Sci* 1994;713:219-225.

## NORMAL VE PATOLOJİK BOS'DA NMR T1 DURULMA ZAMANLARININ KARŞILAŞTIRILMASI

Nebahat TAŞDEMİR, Ali YILMAZ

Dicle Üniversitesi Tıp Fakültesi, Nöroloji ve Fizik AD'ları, Diyarbakır

### ÖZET

Manyetik rezonans görüntüleme beyin hastalıklarını izlemeye yoğun olarak kullanılmaktadır. Kontrast manyetik rezonans görüntüleme, kısmen NMR rölausyon parametreleri olan T1 ve T2'ye bağlıdır. Bu nedenle beyin omurilik sıvısı(BOS)ndaki rölausyon ölçümleri önemli olmaktadır. Bu çalışmada serebral iskemi, hemorajili hastalar ve normal BOS'da rölausyon zamanları 60 mHz çalışan proton FT NMR spektrometresi kullanılarak yapıldı. İnversiyon recovery puls atımı 0,5 sn.den 15 sn.ye kadar değiştirildi. Normal grubun ortalama T1 değeri  $2,607 \pm 0,02$  sn. iken, iskemi ve hemorajiler için değerler sırasıyla  $2,57 \pm 0,07$ , ve  $2,59 \pm 0,07$  idi. Normal grubun ortalama T1 değeri kanamalı gruptan anlamlıca yüksekti. Ancak BOS'daki kan seviyesinin azalmasına bağlı olarak hasta ve normal gruplar arasında çakışma vardı. Sonuç olarak, bu çalışma BOS'da NMR ölçümünün belli bir hastalık için özel bir anlam taşımakla birlikte, NMR ile yapılacak tanı amaçlı T1 ölçümüne zemin hazırlayıcı bir nitelik sergilemiştir.

**Anahtar Kelimeler:** Beyin Omurilik Sıvısı, NMR Spektrometresi

### SCOMPARISON OF NMR T1 RELAKATION TIMES IN NORMAL AND PATHOLORICAL CEREBRAL FLUID

Magnetic Resonance Imaging MRI is extensively being used for monitoring brain diseases and MRI contrast is dependent, in part, on NMR relaxation parameters (T1,T2). Therefore, relaxation measurements in CSF is becoming more important. In this work, the spin-lattice relaxation times in CSF from healthy control and patients suffering from hemorrhagia and cerebral ischemia were measured in-vitro, using a FT-MRI spectrometer operating at 60 MHz for protons. The inversion recovery pulse sequence was used with pulse spacing, being varied from 0.5sec to 15sec. The mean T1 value of control group was  $2.607 \pm 0.02$ s, whereas the values for hemorrhagic and ischemic CSF were  $2.57 \pm 0.07$ s. and  $2.59 \pm 0.068$ , respectively. The mean T1 value for healthy group was significantly longer than that of hemorrhagic. However, there was overlap between control and pathological groups, depending on the decrease of blood level in CSF. In conclusion, this work suggests that MRI T1 measurements in CSF in-vitro is not specific marker for a certain disease, but may have a potential for clinical use, especially with MRI.

**Key Words :** Cerebrospinal Fluid, NMR - Spectrometer.

### GİRİŞ

Subaraknoid mesafe açılmayan lokalize intrahemisferik kanamalı; öyküsünde emboli odağı saptanan bulantı ve kusması olmayan, hafif bilinc kaybı ve hemiparezi - pleji gösteren, serebrovasküler embolii; ve yine genellikle prodromal belirtiler gösteren yavaş gelişen, bulantı - kusması olmayan bilinci normal hemiparezi - plejili serebrovasküler olgularda, başka yardımcı tanı yöntemleri olmadan klinik bulgulara ve BOS değerlerine göre, kesin tanıya varmak çoğunlukla mümkün değildir. Böyle olgularda, ayırcı tanıda görüntüleme yöntemleri arasında tartışmasız yeri olan bilgisayarlı tomografiye seçenek olabilecek başka laboratuvar inceleme yöntemlerinin varlığını araştırmak için, normal ve patolojik BOS'ların T1 rölausyon süreleri arasında tanıya yön vermesi açısından bir fark olup olmadığı NMR spektrometresi ile incelendi.

### GEREÇ VE YÖNTEM

Çalışmamızda, Dicle Üniversitesi Tıp Fakültesi

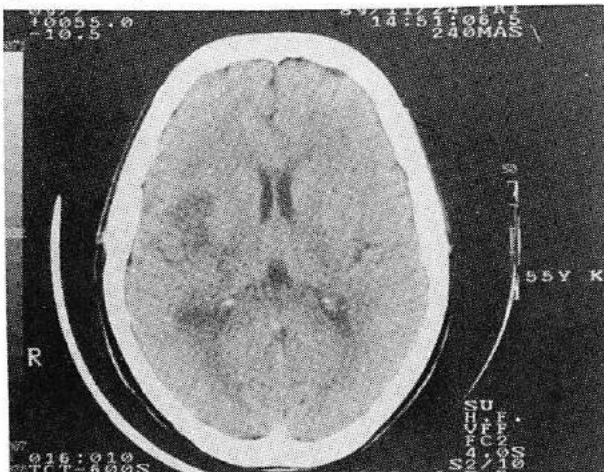
Nöroloji kliniğinde (yoğun bakım ünitesi dışında) yatarak tedavi görmekte olan, göz dibi bulguları normal toplam 67 bireyin BOS'ları lomber ponksiyon yapılarak, NMR spektrometresinde spin-lattice rölausyon zamanları (T1: Longitudinal nükleer manyetik rezonans durulma zamanı) ölçüldü. Bu 67 olgunun 22'si intrahemisferik hemoraji, 25'i serebrovasküler oklüzyon kesin tanısı ile yatarak tedavi gördü. Arta kalan 20 olgunun beyin omurilik sıvısı meningismus ve psödotümör serebri nedeniyle tedavi görmekte olan hastalardan seçildi.

10 mm. çaplı NMR tüplerine alınan BOS'larda T1 değerlerinin ölçülmesi Üniversitemizin Fen Fakültesi Fizik biriminde mevcut olan FX- 60Q FT-NMR spektrometresinde yapıldı(1). Çalışma frekansı 60 mHz idi. Rölausyon değerleri, inverziyon recovery teknigi ile ölçüldü. Bu teknikle 20 sn. olarak seçilen puls tekrarlama zamanı magnetizasyonun dengeye gelmesi için yeter derecede uzundu. 0.5 saniyeden 15 saniyeye kadar değişen bekleme zamanlarına karşılık gelen 10 adet miknatıslamanın logaritmik eğrisinden

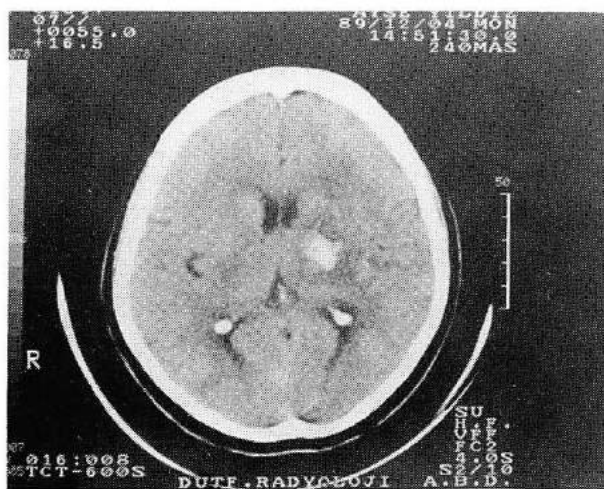
bilgisayar yardımı ile T1 değerleri saptandı. Prop sıcaklığı VT-3C otomatik sıcaklık kontrol birimi yolu ile  $20 \pm 0.5^\circ$  C'de sabit tutuldu. Magnetizasyon bozunumu single expansiyonel değişim eğrisine uygundu. Ölçümler örnekler alındıktan hemen sonra yapıldı.

## BULGULAR

Çalışmamıza alınan olguların bazlarının BT'leri ve bunlara karşılık gelen NMR T1 değerleri aşağıda sırasıyla şekil-1 ve şekil-2'de gösterilmiştir.



Şekil - 1: H.A., 55 yaşında, tromboemboli T1=2,59



Şekil - 2 : A.Y., 50 yaşında intrahemisferik hemoraji T1 = 2.58

Her üç gruptan elde edilen T1 verilerinin ortalamaları Tablo-1'de gösterilmiştir. Ortalama T1 değerleri, normal için  $2.607 \pm 0.02$  sn. iken, trombo-embolilerde  $2.596 \pm 0.067$  sn. ve intrahemisferik hemorajilerde ise,  $2.574 \pm 0.07$  sn.'dir. Göründüğü gibi patolojik değerlerin ortalaması normal değerlerin ortalamasından anlamlıca kısadır. Student-t testi ile yapılan

değerlendirmeler Tablo-2'de gösterilmiştir.

Tablo-1: Grupların T1 Ortalama değerleri ve Standart Sapmaları

Gruplar	X	SD
İntrahemisferik Trombo-Emboli	2.596	0.068
Normal	2.607	0.022
İntrahemisferik Hemoraji	2.574	0.072

Tablo-2 : Student-t testi sonuçları

Karşılaştırılan Gruplar		t	P
İntrahemisferik Trombo-Emboli	Normal	0.796	P>0.05
İntra Hemisferik Trombo-Emboli	İntrahemisferik Hemoraji	1.099	P>0.05
İntra Hemisferik Hemoraji	Normal	2.042	P<0.05

İntrahemisferik hemoraji grubu normal gruptan istatistiksel olarak farklıdır ( $P<0.05$ ). Diğer gruplar, birbirinden ve normalden anlamlıca farklı bulunmadı ( $P>0.05$ ). Sonuçta Intrahemisferik hemoraji grubunun ortalama T1 değerinin, normal grubun T1 değerinden farkının istatistiksel olarak önemli olduğu saptandı. Normal gruba göre intrahemisferik trombo-embolilerin ve hasta grupların biribirile karşılaştırılmasında ortalama T1 değerleri arasındaki farkın önemli olmadığı anlaşıldı. Üç gruptan elde edilen T1 değerlerinin, saçılma grafiğinde (Tablo-3) izlenmesi durumunda gerek hemorajilerde ve gerekse enfarktlara ait bir çok örneğin T1 değeri normallerden oldukça kısadır. Fakat hemorajilerin T1 değeri infarktların ile çıkışmaktadır. Bunun yanısıra gerek infarktların ve gerekse hemorajilere bazı T1 değerleri normallerle çıkışmaktadır. Gözlemlerimize göre bu tip örneklerin içindeki kan miktarı son derece azdır. Diğer bir deyişle, eğer bir hastanın BOS'una ne kadar az kan bulaşmışsa, T1 değeri o kadar normale yakındır.

Tablo-3: Grupların T1'e göre frekans dağılımları grafiği  
X'lerin sayısı hasta frekansını göstermektedir.

T1	Normal	Hemoraji	İnfarkt
2.72-		X	XX
2.69			XXX
2.68		X	X
2.65-X			X
2.64-XX			
2.63-X		X	
2.62-XX		X	XXXX
2.61-XXXX		XX	XXX
2.60-			
2.59-XXXXXXXX	X		XXXX
2.58-X		XXXXX	
2.56-		X	X
2.55-		XXX	XX
2.52-			
2.51-X		X	XXX
2.50-X		X	
2.49-			
2.48-		XX	X
2.43-		XX	
2.42-			

## TARTIŞMA

1970'li yılların başından bu yana, biyolojik dokuların NMR spektroskopisinde proton spin-lattice rölausyon zamanı (T1) ve spin-spin rölausyon zamanının (T2) tayini, klinik bulgularla belirli bir korelasyon içerisindeydi (2,3). Serebrospinal sıvının manyetik rezonans rölausyon zamanlarının ölçümleri (T1 ve T2), 6 mHz'lik bir spektrometrede yapılmış ve sonuçta T1 için 3.000 ms. T2 için ise, yaklaşık 2.000 ms. bulunmuş ve BOS ile diğer dokuların rölausyon zamanları arasında geniş farklar olduğu tespit edilerek, tanı için geniş bir olanak olduğu vurgulanmıştır(4).

Chakeres ve Bryan(5), akut subaraknoid hemorajisi invitro manyetik rezonans ve BT'de kıyaslayarak tartışırmış, normal BOS'ına heparinize edilmiş insan kanı karıştırarak hazırlanan karışım örneklerinin T1 rölausyon değerinin BOS'daki kan miktarına bağlı olarak kısalığını gözlemişlerdir (5). Bu çalışma ne kadar az kan BOS'a karışmışsa T1 değerleri o kadar normale yakındır tarzındaki yorumumuzu desteklemiştir.

NMR cihazlarında yeni yeni işlerlik kazanmakta olan rölausyon ölçümleri ve bunurla elde edilen T1-Map denilen rölausyon haritası normal ve patolojik bulgularının karşılaştırılmasında yeni yeni kullanılmaktadır(6). T1-map, inversion recovery ve spin-echo adımları kullanılarak yapılmaktadır. Bu adımlar inversion

zamanı (T1) ve puls tekrarlama zamanına (TR) ye bağlıdır(7,8,9). Bu zamanlar da T1 ile ilintiliidir. O halde BOS'da invitro olarak yaptığımız T1 ölçümleri invivo NMR için yararlı bilgiler sağlamaktadır. Öte yandan Dewitt, hemorajik infarkt ve hematomalı olgularda nöropatolojik ilişkilerin NMR parametrelerini araştırmış ve bunların BOS'un rölausyon zamanlarını normal BOS'daki rölausyon zamanlarından anlamlı ölçüde farklı bulmuştur(10) Bradley ve W-G de BOS'anormalliklerini NMR yolu ile tespit etmiştir(11). Dewitt'in ve Bradley'in sonuçları, bizim NMR yolu ile bulduğumuz NMR için potansiyel bir değer taşıdığını ima etmektedir.

Bu çalışmamızın sonunda, ventriküle ve subaraknoid aralığa açılmamış, intrahemisferik hemorajili olgular ile tromboembolili olgulardan aldığımız serebrospinal sıvıdaki T1 rölausyon zamanları arasında belirgin bir fark olmadığını saptadık. Bu nedenle subaraknoid aralığa açılmamış intrahemisferik hemoraji ve tromboembolili olguların ayırt edici tanısında BOS'un NMR spektrometresinde T1 rölausyon sürelerinin tanısal değerinin olmadığı, bununla beraber normal ve intrahemisferik hemoraji arasındaki anlamlı farkın NMR için potansiyel bir değer taşıdığını gözledik.

## KAYNAKLAR

- Yilmaz A, Tez M, Değertekin H : Compression of NMR water proton T1 measurements in healthy and pathological blood-spectroscopy, Letters, 1989: 22(7), 925-933
- Komu A, Alenen A, Maattanen H, and Kormano M: Method dependence of proton spin-lattice relaxation analysis in biologic tissues. Acta Radiologica, 1989: 30(1), 97-100
- Mills MC, Crooks LE, Kaufman L: Cerebral abnormalities; use of calculated T1 and T2 magnetic resonance images for diagnosis. Radiology, 1984: 150, 87-94
- London B, Patterson J : MR relaxation times of cerebrospinal fluid. J. Computer Assisted Tomography, 1987: 11(2), 203-207
- Chakeres DW, Bryan RN : Acute subarachnoid hemorrhage: In vitro comparison of magnetic resonance and computed tomography: AJNR, 1987: 7, 223-228
- Yilmaz A, Buceiolini M, Longo G, Francolini, F, Criacolli L and Renzi R: Determination of dependence of spin-lattice relaxation rate in serum upon concentration of added iron by magnetic resonance imaging, Clin Phys-Physiol-Meas, 1990: 11 (4), 343-349
- Segawa F, Kishibayashi J., Kamada K., Sunhara N., Kinoshita M., Flair images of brain diseases. No-To-Shinkei, 1994: 46/6,531-8
- Chandra R., Rusinek H., Long term stury of random noise and signal unifirmitiy in spin-echo brain imaging., Med-Phys. 1993:20(4), 1071-5
- Longo R., Ricci C., Dalla Palma and R. Vidimari, Quantative 31P MRS of the normal adult human brain. Assessment of interindividual differences and ageing
- Dewitt L. Dana, NMR neuropathologic correlation in stroke, Stroke 1987: 18, 342-351
- Bradley William G., Magnetic resonance imaging in the evaluation of cerebrospinal fluid flow abnormalities, Magnetic Resonance Quarterly, 1992: 8(3), 169-196

## AKUT STROKTA KONJUGE GÖZ DEVİASYONU VE "WRONG WAY EYES"\*

Taşkın DUMAN, Şerefınr ÖZTÜRK, Sabahat GÜRÇAY

Ankara Numune Hastanesi, Nöroloji Kliniği, Ankara

### ÖZET

Konjuge göz deviasyonu (KGD), akut strokda değişik anlamılıkta değerlendirilmiş bir bulgudur. Bu çalışmada KGD'yi değerlendirmek üzere 179 akut strok hastası incelendi. KGD varlığı ile biliç düzeyi, parezi derecesi, patolojik refleks varlığı, pupil değişikliği ve erken mortalite arasındaki ilişki araştırıldı. Ayrıca lezyon tipi, lateralizasyonu, lokalizasyonu, lezyonun çevresindeki ödem ve lezyonun kitle etkisi ile KGD arasındaki ilişki değerlendirildi. İncelenen 179 hastadan 30'unda KGD saptandı. (18 erkek, 12 kadın, ortalama yaşı  $64,90 \pm 13,38$ ). 26 olguda KGD ipsilateral 4 olguda ise "wrong way eyes" özelliğindeydi. KGD'li 30 olgudan altısında frontal göz alanı, 17 olguda inferior parietal lobül, 5 olguda prefrontal alan, 12 olguda thalamus, 7 olguda ise kapsula interna lezyona katılmıştı. Bu oranlarımız "frontal göz alanının KGD ortaya çıkışında temel olmadığı" şeklindeki görüşü destekler niteliktedir. Bulguların değerlendirilmesinde lezyon tipi ile KGD ortaya çıkışı arasında anlamlı ilişki yoktu ( $p=0.70$ ). KGD varlığı ile biliç düzeyi ( $p=0.003$ ) ve lezyonun ödem etkisi arasında anlamlı ilişki izlendi ( $p=0.01$ ). Biliç düzeyinde gerileme sola KGD olanlarda sağa doğru olanlardan daha fazla bulundu ( $p=0.01$ ).

**Anahtar Kelimeler:** Konjuge göz deviasyonu, strok, frontal göz alanı

### CONJUGATE EYE DEVIATION AND "WRONG WAY EYES" IN ACUTE STROKE

Conjugate eye deviation (CED) which is seen as a finding in acute stroke has been evaluated in various aspects. Damage of the frontal eye field or its corticopontine projections is considered responsible for CED. In this study, 179 acute stroke patients were investigated for the evaluation of CED and " wrong way eyes". CED was found in 30 patients. 26 of them were ipsilateral and 4 were contralateral to the lesion. Six patients of 30 patients with CED had lesions in the frontal eye field, 17 patients had lesions in the inferior parietal lobule, 5 had lesions in the prefrontal region 12 had thalamic lesions and 7 had lesions in internal capsule. When findings were evaluated, there was not a meaningful relation between lesion type and the occurrence of CED ( $p: 0.70$ ). A significant relation was found between the presence of CED and regression in conscious ( $p: 0.003$ ). The relation between CED and lesion associated edema on computed tomography was meaningful ( $p: 0.01$ ), and regression in conscious was more significant in the patients with left conjugated eye deviation than the patients right conjugated eye deviation ( $p=0.01$ )

**Key Words:** Conjugate eye deviation, stroke, frontal eye field

### GİRİŞ

Prévost(1865) tarafından tanımlanmasından bu yana KGD'nin özellikleri ve serebral lezyon lokalizasyonu ile ilişkisi konusunda değişik görüşler ortaya konulmuştur. Konjuge göz hareketleri ile ilgili olduğu düşünülen anatomik oluşumlar bu konuda değişik derecelerde sorumlu görülmüştür.

Bu çalışma, akut strok olgularında KGD'ye ilişkin özelliklerin lezyon lokalizasyonu ve lateralizasyonu dikkate alınarak değerlendirilmesi ve KGD saptanan strok olgularının stroka ilişkin özellikler açısından incelenmesi amacıyla planlandı.

### GEREÇ VE YÖNTEM

30.1.1993 - 1.1.1995 tarihleri arasında kliniğimizde yatan, akut strok tanısı alan ve strok başlangıcından itibaren üç gün içerisinde başvurmuş olan hastalar KGD yönünden değerlendirildi. KGD her iki gözde eşit ve aynı

tarafa olmak üzere horizontal planda sabit deviasyon olarak tanımlandı. Strok tanısı klinik değerlendirme ve BT ile konuldu. Konjuge göz deviasyonu epileptik nöbet, kafa travması veya metabolik ansefalohipsi bağlı olan hastalar ile akut infeksiyon, böbrek yetmezliği, karaciğer yetmezliği, akut miyokard infarktüsü veya malignite bulunan hastalar çalışmaya alınmadı. Daha önceki strok hikayesi sorularak kaydedildi. Hipertansiyon, kalp hastalığı, diabetes mellitus gibi klinik özellikler anamnez ve klinik takiple belirlendi.

Nörolojik defisin lateralizasyonu, pupil değişiklikleri, konjuge göz deviasyonun yönü, biliç düzeyi, patolojik refleks varlığı ve tarafı belirlendi. Biliç düzeyi açık, somnolans, stupor veya koma olarak değerlendirildi. Parezi derecesi 5=tam kuvvet, 0=pleji olmak üzere beş derece üzerinden derecelendirildi.

Serebral lezyon lokalizasyonu ve lezyonun özelliklerinin değerlendirilmesi için strok

Yazışma adresi: Dr. Taşkın DUMAN Ankara Numune Hastanesi, Nöroloji Kliniği Ankara

\*Bu çalışma "Fourth European Stroke Conference 1-3 June 1995 Bordeaux, France" de sunulmuştur

başlangıcından itibaren 48 saatten sonra çekilen BT'ler dikkate alındı. BT'de lezyonlar frontal bölge, talamus, kollikulus superior ve kapsula internayı kapsamlarına göre grupperlendirildi. Serebral lezyonun tipi, lokalizasyonu, genişliği, lezyon çevresindeki ödem ve lezyonun kitle etkisi kaydedildi. KGD'nin, lezyon tipi ve lateralizasyonu ile ilişkisi, belirlenen lokalizasyonlara göre dağılımı, sağ ve sol hemisferdeki lezyonların hemisfer içi dağılımları ile KGD arasındaki ilişki araştırıldı. KGD ile bilinc düzeyi, patolojik refleks varlığı ve strok sonrası 15 günlük erken mortalite arasındaki ilişki değerlendirildi.

Verilerin istatistiksel analizinde grup oranları arasındaki karşılaştırma ki-kare testiyle ve sayıların yetersiz olduğu durumda Fisher kesin ki-kare testiyle yapıldı. İki grup arasında ordinal değişken değerlerinin dağılımı Mantel - Haenszel lineer asosiasyon testi ile karşılaştırıldı. İki grup yaş ortalamaları Student t testi ile karşılaştırıldı. Bütün değerlendirmeler için istatistiksel önemlilik sınırı  $p<0.05$  olarak alındı.

## BULGULAR

Çalışmada, belirlenen özelliklere uyan 179 hasta değerlendirildi. 179 hastanın otuzundan KGD tespit edildi. KGD bulunan 149 hastanın yetmiş erkek, yetmişdokuzu kadındı ve yaş ortalamaları  $64,24 \pm 12,83$  idi. Strok başlangıcından itibaren 24. ve 72. saatlerde yapılan muayenelerde KGD tespit edilen 30 hastadan 18'i erkek, 12'si kadındı. Bu grup için ortalama yaş  $64,90 \pm 13,38$  idi. KGD bulunan ve bulunmayan hastalar arasında yaş ortalamaları bakımından fark yoktu ( $p>0.05$ ). KGD bulunmayan 149 hastadan 24'ü, KGD bulunan 30 hastadan ise 2'si ilk 15 gün içinde ex. oldu. İki grup arasında erken mortalite yönünden fark bulunmadı ( $p>0.05$ ).

179 hasta için yapılan değerlendirmede, bilinc düzeyi bozukluğu ile KGD varlığı arasında ( $p<0.05$ ) ve lezyonun ödem etkisi ile KGD arasında ( $p<0.05$ ) anlamlı ilişki bulundu. Akut stroka ilişkin lezyonun tipi ile KGD arasında ( $p>0.05$ ), patolojik refleks varlığı ve tarafi ile KGD arasında ( $p>0.05$ ), lezyonun kitle etkisinin olup olmaması ile KGD arasında ( $p>0.05$ ) anlamlı ilişki yoktu.

KGD bulunan 30 hastadan 13'ünde deviasyon sola, 17'sinde sağa doğrudu. 30 hastanın dördünden KGD "wrong way eyes" özelliğindeydi. Bu 4 hastanın üçünde iskemik strok, birinde hemorajik strok tespit edildi. Otuz hastanın birinde BT normaldi, iki hastada ise BT'de KGD için değerlendirilen bölgelerde lezyon yoktu. 6 hastada (%22.2) frontal göz alanı, 17 hastada (%63) inferior parietal lobül, 12 hastada (%44.4) talamus, 7 hastada (%25.9) kapula interna, 5 hastada (%18.5) prefrontal bölge lezyona istirak etmişti. KGD'ye ilişkin lezyonu frontalde olan

hastalarda sola KGD daha fazlaydı ( $p=0.03$ ). inferior parietal lezyonu ( $p=0.64$ ), prefrontal lezyonu ( $p=0.07$ ), kapsula interna lezyonu ( $p=0.08$ ) ve talamik lezyonu ( $p=0.88$ ) olanlarda ise KGD yönü ile lezyon lokalizasyonu arasında ilişki yoktu. Dağılım ve istatistiksel anlamlılık değerleri tablo 1. de gösterilmiştir.

Tablo 1. KGD'li hastalarda lezyon lokalizasyonlarının dağılımı ve KGD yönü ile ilişki

Lokalizasyon	Frontal	Inf parietal	Prefrontal	Talamus	Kapsula interna
KGD oranı	%22	%63	%18	%12	%7
Hasta sayısı	6	17	5	12	7
KGD yönü ile ilişki	p:0,03	p: 0,64	p: 0,07	p: 0,88	p: 0,008

KGD yönü ile lezyonun kitle etkisi arasında da ilişki yoktu ( $p=0.21$ ). Sağa KGD olan 17 hastanın dokuzundan serebral infarkt, altısında hemoraji, birinde hemorajik infarkt vardı. Bir hastanın ise BT'si normaldi. Sola KGD olan 13 hastanın dokuzundan infarkt, dördünden hemoraji mevcuttu. Lezyon tipi yönünden iki grup arasında fark bulunmadı ( $p>0.05$ ). Lezyon türüne göre KGD dağılımı tablo 2. de gösterilmiştir.

Tablo 2. BT de tespit edilen lezyon türü ve KGD dağılımı

	BT de lezyon yok	İnfarkt	Hemoraji	Hemorajik İnfarkt
KGD yok	8	84	55	2
KGD var	1	18	10	1

KGD bulunan grup kendi içinde değerlendirildiğinde lezyona eşlik eden ödem varlığı ile KGD'nin yönü arasında ve прогноз ile KGD'nin yönü arasında anlamlı ilişki bulunmadı ( $p=0.06$ ).

## TARTIŞMA

Her iki gözde eşit ve aynı tarafa olmak üzere horizontal planda sabit deviasyon olarak tanımlanan KGD, serebral hemisferik stroku hastaların %20 kadarında (1,2) bildirilen bir bulgudur. Deviasyonun genellikle lezyonun bulunduğu tarafa doğru olduğu ifade edilmiştir (1,2). Bu bulguya ilişkin ilk klinik çalışma 1865'de Prévost tarafından bildirilmiş olup Prévost, korpus striatum ve pedinküler radyasyonun en sık olarak etkilendiğini ileri sürmüştür (3,4). KGD için orta frontal girüs kaudal parçasında lokalize olan frontal göz alanı (Brodmann'ın sekizinci alanı) ve onun kortikopontin projeksiyonları sorumlu

kabul edilmiştir (5). Kortikal ve subkortikal oküler motor merkezler olarak frontal göz alanı, inferior parietal lobül, suplementer motor alan, talamus ve superior kollikulus tanımlanmıştır (6). Bu hipotez deneysel olarak frontal göz bölgesinin elektriksel stimulasyonu sonucu kontralateral göz hareketlerinin oluşturulmasına dayanır. Diğer bazı kortikal yapıların stimulasyonu ile de göz hareketleri oluşturulabilir, fakat en düşük eşik frontal göz alanında bulunmuştur (7,8,9).

De Renzi ve ark. hemisferik stroklu hastaların %27.5'inde KGD bulmuşlardır. KGD sağ tarafta daha çok postrolandik lezyonlarla, sol tarafta ise hem anterior hem de posterior yerleşimli lezyonlarla birlikte bulunmuştur. Bu çalışmada okulomotor merkezin solda diffüz, sağda fokal olmak üzere iki hemisferde asimetrik organizasyonda olduğu ileri sürülmüştür (1). Hasta grubumuzda frontal lezyonlarda sola konjuge deviasyon oranının anlamlı derecede yüksek ( $p=0.03$ ) bulunmasının De Renzi ve ark.in bu konudaki görüşünü destekler nitelikte olduğunu düşündük. Steiner ve Melamed akut hemisferik stroktan sonra göz deviasyonu olan 42 hastayı incelemişler ve akut stroktan sonra oluşan KGD'nin kontralateral frontal göz bölgesinin integritesiyle ilgili olduğunu ileri sürmüştürler (10). Hemisferik stroklu hastalarda KGD oranı için bir seride %27.5, başka bir seride ise %16.1 oranları bildirilmiştir (1,2). Hastalarımızda KGD oranını %16.8 olarak bulduk. Sağ hemisfer lezyonlarda KGD oranı sola göre daha fazla bildirilmiştir (1,2,3,4,6). Bütün çalışmalar dikkate alındığında sağ ve sol hemisfer arasındaki oranın 1.6/1 olduğu bildirilmiştir(6). Bizim hastalarımızda bu oranı 1.4 / 1 bulduk.

Neglect sendromu ile KGD arasında ilişki ileri sürülmüştür (11,12). KGD bulunan olguların çoğunda hastanın kötü klinik durumu ve afazi nedeniyle bu ilişkinin iyi değerlendirilemeyeceği de belirtilmiştir (6). insanda, yönlendirilmiş dikkatin spasyal dağılımında sağ hemisfer dominansı mevcuttur (13). intrakarotid sodyum amital enjeksiyonu ile yapılan çalışmalar bakışın serebral asimetrisini doğrulamıştır (14). KGD ile ilgili sağ hemisfer lezyonlarının çoğu supramarginal girüs yakınında subkortikal bölgede, kapsula internanın anterior ve posterior bacaklarında bulunmuştur. Önemli oküler yolların geçtiği bu yapılar inferior parietal lobül ile frontal göz alanı arasındaki bölgeyi (15), inferior parietal lobül ile superior kollikulus arasındaki bölgeyi (16,17) ve frontal göz alanı ile beyinsapı arasındaki yapıları (superior kollikulus veya paramedian pontin retinüler formasyon) içerir (18,19). Mohr ve De Renzi, olgularında sol hemisferdeki lezyonların inferior parietal lobülü de içerdigini bildirmiştirlerdir (1,2). KGD'nin hemorajik stroklarda infarktlardan daha fazla

göründüğü bildirilmiştir (2). Bizim hastalarımızın 18'inde infarkt, 10'unda hemoraji, 1'inde hemorajik infarkt vardı. Bir hastada BT normaldi ve bu durumun fogging effect (sislenme etkisi) ile ilgili olduğunu düşündük. Hastalarımızın ikisinde lezyon oküler motor yolu ve ilgili oluşumları etkilemiyordu.

KGD genellikle lezyon bulunan hemisfere doğru yönelir, fakat kontralateral konjuge göz deviasyonu olguları da bilinir ve bunlar için "wrong way eyes" (:WWE) terimi önerilmiştir. WWE fenomeninin net bir açıklaması olmamakla birlikte genellikle talamik hemoraji olgularında rapor edilmiş ve rüptüre anevrizmaya sekonder perisylvian kanama ve travmatik frontal hematomlu olgular bildirilmiştir (20-25). Tijssen tarafından bildirilen beş WWE olgusunda hemorajik lezyonlar tespit edilmiştir (6). intratalamik hemorajisi olan 23 hastanın %20 sinde, ventriküle açılmış talamik hemorajisi olan 21 hastanın ise %47 sinde KGD görülmüş ve bu hastalardan sadece ikisinde WWE saptanmıştır (25). Daha önce bildirilen WWE olgularında lezyon hemoraji olduğu halde bizim dört olgumuzun içinde lezyon infarkt idi.

KGD'li hastalarda mortalite (%41) genel strok populasyonundan fazla olduğu halde bunun istatistiksel olarak anlamlılık göstermediği bildirilmiştir (26,27). Bizim olgularımızda da KGD varlığı ile mortalite arasında ilişki yoktu ( $p=0.18$ ) KGD ile bilinc düzeyi arasındaki ilişkiye değerlendirdiğimizde ise KGD bulunan olgularda, bulunmayanlara göre bilinc durumunun daha kötü olduğunu bulduk. BT'de ödem bulunması ile KGD varlığı arasında da anlamlı bir ilişki tespit ettik ve bu durumun ödem bulunan hastalarda bilinc bozukluğunun daha fazla olmasıyla ilgili olabileceğini düşündük. KGD yönü ile mortalite arasındaki ilişki konusunda sola deviasyonu olanlarda daha kötü прогноз bildirilmiştir (6, 28). Bizim grubumuzda ex. olan iki olgunun da deviasyonu sola doğrudu.

KGD bulunan olgularda en sık(%70 den daha çoğunda) lezyon yeri supramarginal girüsün anteriorundan inferior parçasına kadar olan subkortikal alanda ve internal kapsülün anterior ve posterior bacaklarında lokalize bulunmuştur(l). Hastalarımızın %63 içinde inferior parietal lobül, %44.4'ünde talamus, %25.9 unda kapsula interna, %22.2'sinde frontal göz alanı, %18.5 inde prefrontal alan lezyona iştirak etmiştir. Bulgularımız "frontal göz alanının KGD ortaya çıkışında temel olmadığı" şeklindeki görüşü destekler niteliktir.

## KAYNAKLAR

- 1- De Renzi E, Colombo A, Faglioni P, et al. Conjugate gaze paresis in stroke patients with unilateral damage: an unexpected instance of hemispheric asymmetry. *Arc Neurol* 1982; 39: 482-486

- 2- Mohr JP, Rubinstein LV, Kase CS, et al. Gaze palsy in hemispherical stroke: the NINCDS Stroke Data Bank (Abstract). Neurology 1984; 34: (Suppl 1) : 199
- 3- Prévost JL. Deviation des yeux et de la tête dans quelques cas d'hémiplegie. Gaz Hebd Med Chir (Paris) 1865; 41: 649-650
- 4- Prévost JL. De la deviation conjugee des yeux et de la rotation de la tête dans certains cas d'hémiplegie. Paris, 1868. Thesis
- 5- Pedersen PA, Troost BT. Abnormalities of gaze in cerebrovascular disease. Stroke 1981; 12: 252-254
- 6- Tijssen CC, Van Gisbergen JAM, Schulte BPM. Conjugate eye deviation: side ,site, and size of the hemispheric lesion. Neurology 1991; 41: 1846-1850
- 7- Robinson DA, Fuchs AF. Eye movements evoked by stimulation of frontal eye fields. J Neurophysiol 1969; 32: 637-648
- 8- Bruce CHJ, Goldberg ME, Bushnell MC. Primate frontal eye fields. II. Physiological and anatomical correlates of electrically evoked eye movements. J Neurophysiol 1985; 54: 714-734
- 9- Godoy J, Lüders H, Dinner DS, et al. Versive eye movements elicited by cortical stimulation of the human brain. Neurology 1990; 40: 296-299
- 10- Steiner I, Melamed E. Conjugate eye deviation after acute hemispheric stroke : delayed recovery after previous contralateral frontal lobe damage. Ann Neurol 1984;16: 509-511
- 11- Chedru F, Leblanc M, Lhermitte F. Visual searching in normal and brain-damaged subjects (contribution to the study of unilateral inattention). Cortex 1973;9: 94-111
- 12- Heilman KM, Valestein E, Watson RT. Neglect and related disorders. Semin Neurol 1984; 4: 209-219
- 13- Weintraub S, Mesulam MM. Right cerebral dominance in spatial attention. Further evidence based on ipsilateral neglect. Arch Neurol 1987; 44: 621-625
- 14- Meador KJ, Loring DW, Lee GP, et al. Hemisphere asymmetry for eye gaze mechanisms. Brain 1989; 112: 103-111
- 15- Petrides M, Pandya DN. Projections to the frontal cortex from the posterior parietal region in the rhesus monkey. J Comp Neurol 1984; 228: 105-116
- 16- Linch JC, Graybiel AM, Lobeck LJ. The differential projection of two cytoarchitectonic subregions of the inferior parietale lobule of macaque upon the deep layers of the superior colliculus. J Comp Neurol 1985; 235: 241-254
- 20- Fisher CM. Some neuro- ophthalmological observations. J Neurol Neurosurg Psychiatry 1967; 30: 383-392
- 21- Keane JR. Contralateral gaze deviation with supratentorial hemorrhage: three pathologically verified cases. Arch Neurol 1975; 32: 119-122
- 22- Walsh THM, Davis KR, Fisher CM. Thalamic hemorrhage : a computed tomographic- clinical correlation. Neurology 1977; 27: 217-222
- 23- Pessin MS, Adelman LS, Prager RJ, et al. "Wrong way eyes" in supratentorial hemorrhage. Ann Neurol 1981; 9:79-81
- 24- Sharpe JA, Bondar RL, Fletcher WA. Contralateral gaze deviation after frontal lobe hemorrhage. J Neurol Neurosurg Psychiatry. 1985; 48: 86-88
- 25- Steinke W, Sacco RL, Mohr JP, et al. Thalamic stroke: presentation and prognosis of infarcts and hemorrhages. Arch Neurol 1992; 49: 703-710
- 26- Herman B, Schulte BPM, Van Luijk JH, et al. Epidemiology of stroke in Tilburg, The Netherlands. The population based stroke incidence register: 1. Introduction and preliminary results. Stroke 1980; 11: 162-165
- 27- Herman B, Leyten ACM, Van Luijk JH, et al. Epidemiology of stroke in Tilburg, The Netherlands. The population based stroke incidence register: 2. Incidence, initial clinical picture and medical care, and three week case fatality. Stroke 1982;13: 629-634
- 28- Tijssen CC, Schulte BPM, Leyten ACM. Prognostic significance of conjugate eye deviation in stroke patients. Stroke 1991; 22: 200-202

## HEMORAJİK SERE BROVASKÜLER HASTALIKTA MEVSİMSEL DEĞİŞİKLİK

Ayla SİFOĞLU, Birsen İNCE, Baki GÖKSAN, Hayrullah DENKTAŞ

Cerrahpaşa Tıp Fakültesi Nöroloji AD., İstanbul

### ÖZET

Bu çalışmada Cerrahpaşa Tıp Fakültesi Nöroloji Anabilim Dalında 1.1.1984-1.1.1994 tarihleri arasında yatırılarak izlenen hemorajik serebrovasküler hastalık tarası almış 1735 hasta retrospektif olarak değerlendirilerek hastalık ortaya çıkışının mevsimle ilişkisi araştırılmıştır. Hastaların %81,6'sı intraserebral hemoraji (İSH), % 18,4'ü subaraknoid hemoraji (SAH) dir. 892'si erkek, 843'ü kadındır. Yaşıları 17-91 arasında (Ortalama yaşı; 59,9±13,3). Çalışmada İSH'lı hastalarda hastalık ortaya çıkışında aylara göre değişimin belirgin olduğu gözlenmiştir. ( $\chi^2$ : 24,43 p<0,01). En yüksek (%19,8) Aralık-Ocak, en düşük (% 13,7) Haziran-Temmuz ayları arasında İSH görülmektedir. Kış/yaz oranı 1,35'dir. Hastalığın ortaya çıkış zamarı, Meteoroloji'den elde edilen iklim verileri (atmosfer basıncı, nem, günlük ısı) ile karşılaştırıldığında, nem yüksekliği ve atmosfer basıncı ile doğrudan, günlük ısı ile tersine bir korelasyon olduğu saptanmıştır. SAH'lı hastalarda ise hem mevsimsel hem iklim verileriyle ilgili anlamlı bir ilişki saptanmamıştır. Her iki grupta da yaş dilimlerine ve cinsiyete göre belirgin bir farklılık gözlenmemiştir. Bu sonuçlar, iklim koşullarının endojen ritimi etkileyerek patolojik vasküler hadiselerin ortaya çıkışında rol oynadığını düşündürmektedir.

**Anahtar Kelimeler:** İtraserebral hemoraji, subaraknoid kanama, mevsimsel değişiklik.

### SEASONAL VARIATION OF CEREBRAL HEMORRHAGE

In a retrospectively studied sequential series of 1735 patients with hemorrhagic stroke observed in Neurology Department of Cerrahpaşa Medical Faculty from 1.1.1984 to 1.1.1994, there were 1415 cases of intracerebral hemorrhage (ICH) and 320 cases of subarachnoid hemorrhage (SAH). In this study we investigated seasonal variation in the occurrence of hemorrhage. Of these cases, 892 were males and 843 were females. The age range was 17 to 91 years (mean 59.9 ± 13.3) we found marked monthly variation in the occurrence of ICH ( $\chi^2=25.43$ , p<0.01) but not in the occurrence of SAH. The highest value (19.8 %) was observed in December-January, and the lowest (13.7%) in June-July. Winter/Summer ratio was 1.35. When the distribution of cases was evaluated in reference to the climatological data, the occurrence of ICH was found to correlate with atmospheric pressure and humidity while the correlation with ambient temperature was inverse. In conclusion, climatic conditions might influence endogenous rhythms and cause the periodic occurrence of pathological vascular events. Further studies are needed to explain the influence of climate on the incidence of cerebral hemorrhage.

**Key words:** Intracerebral hemorrhage, subarachnoid hemorrhage, seasonal variation.

### GİRİŞ

Serebral hemoraji insidansının mevsimsel değişiklik gösterdiğine, kışın en yüksek, yazın en düşük düzeye indigine ilk kez 1935'de dikkat çekilmiş, o zamandan beri değişik ülkelerden gelen yazıların bir kısmında benzer bir dağılımın gözleendiği bildirilirken(2,3,4), bazı araştırmacılar tersine izlenimlerini belirtmişlerdir(1,5). Bu çalışmada Cerrahpaşa Tıp Fakültesi Nöroloji Anabilim Dalında serebral hemoraji nedeniyle yatan hastalarda, hastalık oluş tarihlerinin aylara ve mevsimlere göre dağılımı incelenmiş, ayrıca daha önce pek az araştırmacının üzerinde durduğu hava basıncı, günlük sıcaklık ve nem gibi iklim değişiklikleri ile ilgisi araştırılmıştır.

### GEREÇ VE YÖNTEM

Çalışmaya 1.1.1984-1.1.1994 tarihleri arasında Cerrahpaşa Tıp Fakültesi Nöroloji Anabilim Dalı'nda hemorajik serebrovasküler hastalık (SVH) tarasıyla yatan bütün hastalar alınmıştır. Hastalar hastalık ortaya çıkış tarihlerine göre kaydedilmiş,

yaş ve cinsiyet ayırumu gözetilmemiştir. Hastalar intraserebral hematom (İSH) ve subaraknoid hemoraji (SAH) olarak iki gruba ayrılmış, tümör içine kanama ve hemorojik infarktlar çalışma dışı bırakılmıştır. Hastalığın ortaya çıktığı tarihe göre hasta dağılımları, İstanbul Meteoroloji Müdürlüğü'nden alınan 10 yıllık, aylara göre basınç, günlük sıcaklık ve nem ortalamaları ile karşılaştırılmıştır. Ortalama aktüel basınç değerleri hektopascal (Hpa), günlük sıcaklık santigrad (C), nisbi nem oranı yüzde (%) olarak bildirilmiştir. İSH'lı ve SAH'lı hastalarda aylara göre dağılımda özellik olup olmadığı ve yaş ve cinsiyetin bu dağılıma etkisini araştırmak üzere khi-kare testi kullanılmıştır.

### BULGULAR

10 yıllık süre içinde Cerrahpaşa Tıp Fakültesi Nöroloji Anabilim Dalı'nda izlenen, 1415'i intraserebral hemoraji, 320'si subaraknoid kanama tanısı alan 1735 hastanın yaş ve cinsiyet özellikleri Tablo 1'de gösterilmiştir.

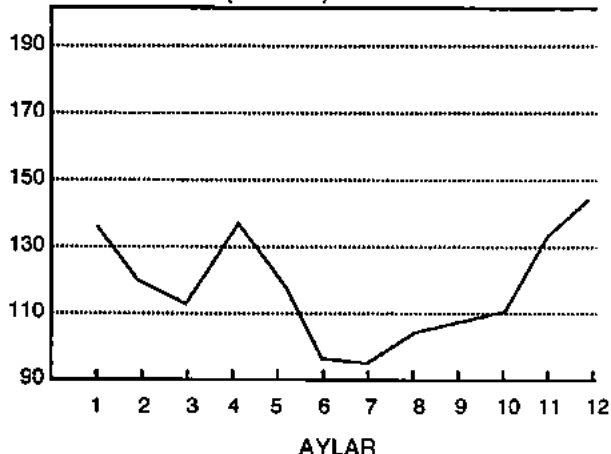
Tablo 1. Hastaların Yaş ve Cinsiyet Özellikleri

	İSH	SAH
Hasta sayısı	1415 (%81.6)	320 (%18.4)
Kadın	660 (%46.7)	183 (%57.2)
Erkek	755 (%53.3)	137 (%42.8)
Yaş aralığı	17-91	17-85
Ortalama yaşı	59.9±13.3	52.2±14.5

10 yıllık süre içinde izlenen İSH'li 1415 hastanın aylara göre dağılımı grafik 1A ve 1B'de görülmektedir. En yüksek (%19.8) hasta sayısı Aralık-Ocak aylarında, en düşük (%13.7) Haziran-Temmuz aylarındadır. Kış/yaz oranı: 1.35'dir. İSH'li hastalarda, hastalık ortaya çıkışında aylara göre değişim istatistiksel olarak anlamlıdır ( $\chi^2$ : 24.43,  $p<0.01$ ). SAH'lı hastalarda ise böyle anlamlı bir dağılım gözlenmemektedir ( $\chi^2$ : 18.47,  $p>0.05$ ). SAH'lı hastaların aylara göre dağılımı Grafik 2'de görülmektedir. Meteorolojiden elde edilen 10 yıllık günlük sıcaklık, basınç ve nem ortalamalarının aylara göre dağılımı Grafik 3A,B,C'de gösterilmiştir. Hastalıkın ortaya çıkış zamanı meteoroloji verileriyle karşılaştırıldığında hasta dağılımlarının nem ve atmosfer basıncı ile doğrudan, günlük sıcaklık ile tersine korelasyon gösterdiği saptanmıştır. Aylara göre kadın ve erkek hasta sayılarına bakıldığından hem kadınlarda hem erkeklerde aylara göre dağılımda anlamlı bir değişim gözlenmemektedir ( $\chi^2$ : 15.23,  $p>0.05$ ). Dağılımlar Grafik 4'de gösterilmiştir.

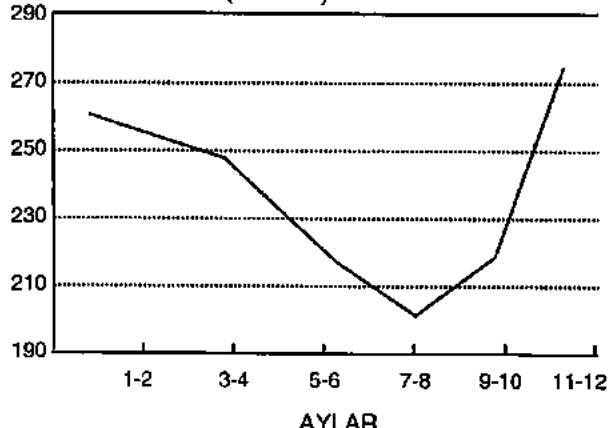
İSH'li hastalarda yaş aralığının geniş olması nedeniyle, yaş gruplarında aylara göre dağılımda anlamlı bir farklılık olup olmadığı araştırılmıştır. Aylara göre dağılımda yaş gruplarında anlamlı bir değişim saptanmamıştır ( $\chi^2$ : 20.25,  $p>0.05$ ). Sonuçlar Grafik 5'te gösterilmiştir.

OLGU SAYISI (n=1415)



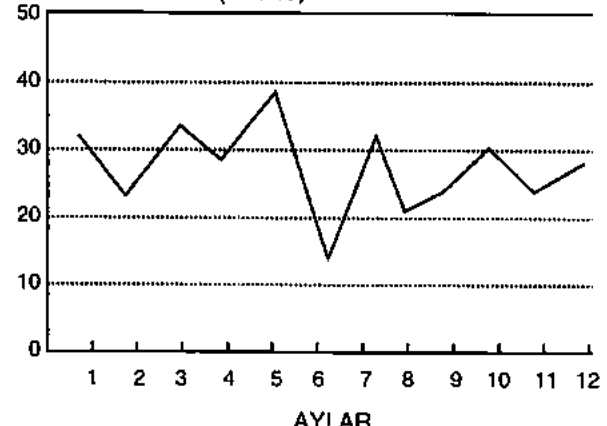
Grafik 1A: İSH'li Hastaların aylara göre dağılımı (1'er aylık)

OLGU SAYISI (n=1415)



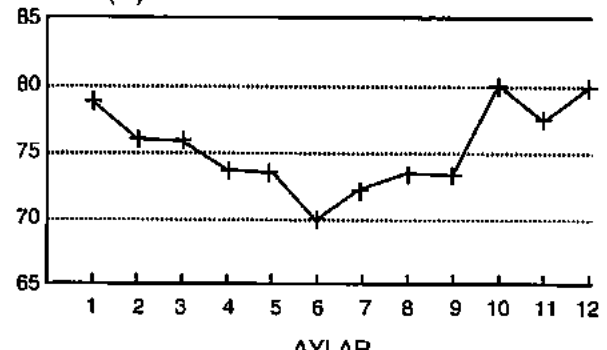
Grafik 1B: İSH'li Hastaların aylara göre dağılımı (2'er aylık)

OLGU SAYISI (n=320)

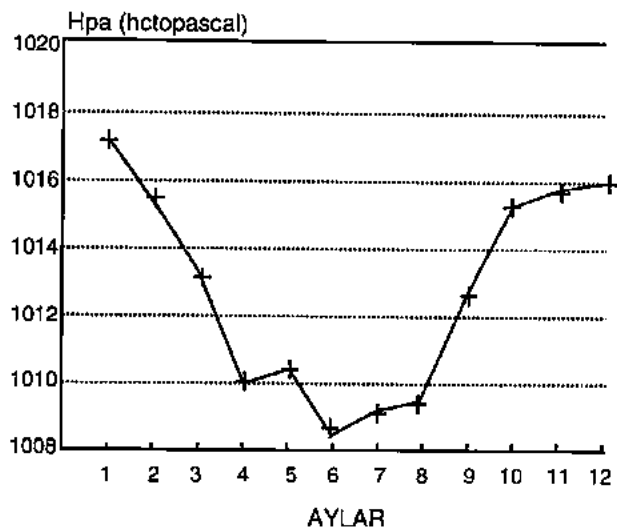


Grafik 2: SAH'lı hastaların aylara göre dağılımı

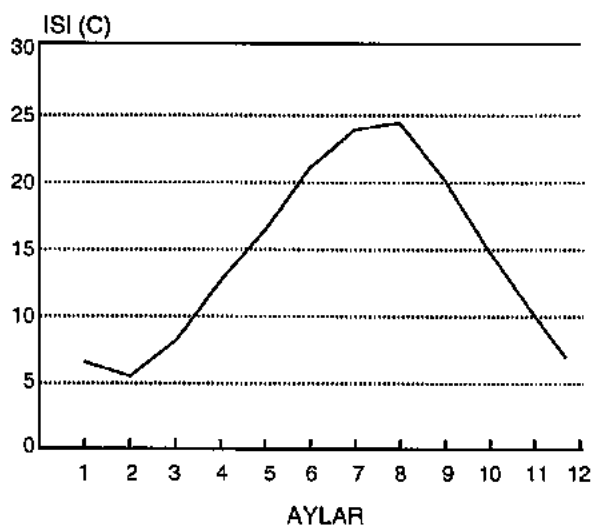
NEM (%)



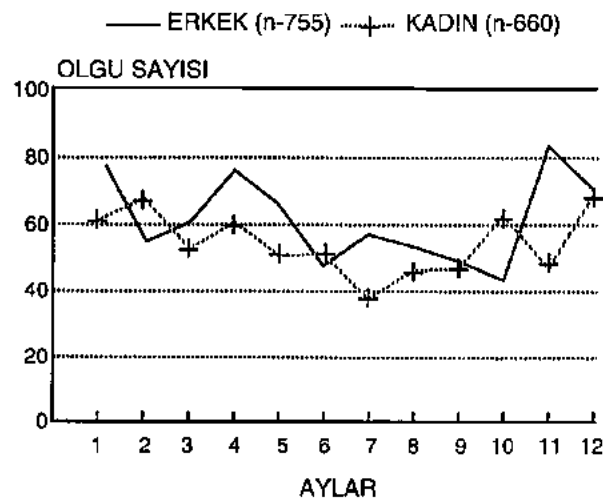
Grafik 3A: Aylara göre nem ortalamaları



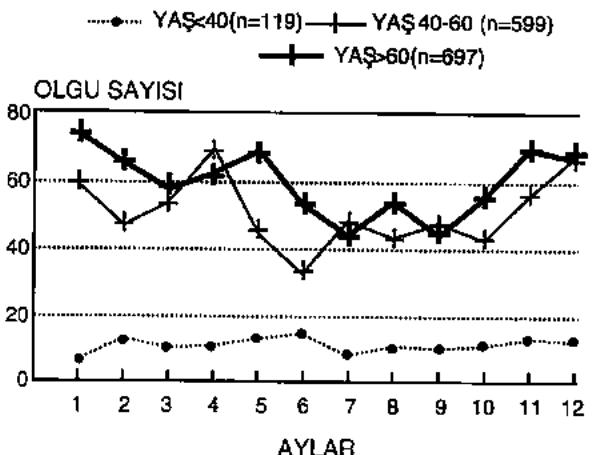
Grafik 3B; Aylara göre basınç ortalamaları



Grafik 3C; Aylara göre günlük sıcaklık ortalamaları



Grafik 4; İSH'li erkek ve kadın hastaların aylara göre dağılımı



Grafik 5; İSH'li hastaların yaş gruplarında göre aylar içindeki dağılımı

## TARTIŞMA

Çalışmaya alınan hastalar, bölgemizdeki hemorajik SVH'ların az bir kısmını temsil etmeye birebirlikte, 10 yıllık değerlendirme sonuçlarına göre, intraserebral hemorajilerin ortaya çıkışında yıl içinde sinuzoidal bir ritm izlenmektedir. Hastalık ortaya çıkışının Haziran-Temmuz aylarında en düşük, Aralık-Ocak aylarında ise en yüksek seviyeye ulaşması, soğukun İSH oluşumunda olumsuz bir etki gösterdiği düşündürmektedir. Çalışmamızda Kış/yaz oranı 1.35 bulunmuştur. Bu oran Ramirez Lassepas (1.76), Biller (1.62), Capon (1.38) tarafından bildirilen oranlardan daha düşüktür(2,3). Ancak sonuçların çok farklı iklim koşullarına sahip bölgelerden geldiği unutulmamalıdır. Bu nedenle daha sağlıklı değerlendirme iklim verileriyle karşılaştırmaya dayanarak yapılmalıdır. Brüksel'den bildirilen çalışma sonuçlarına göre, hastalık ortaya çıkış zamanları, nem yüksekliği ve atmosfer basıncı ile doğrudan, günlük sıcaklık ile tersine korelasyon göstermektedir(2). Bizi çalışmamızda da aynı sonuçlar elde edilmiştir. Diğer çalışmalarla ise böyle bir ayrıntıya rastlamak mümkün olmamıştır. Leigh-Valley bölgesinde yapılan araştırmada, geçici iskemik atak ve serebral infarkt oluşumunda mevsimsel değişikliğin belirgin olduğu ancak intraserebral ve subaraknoid hemorajilerde böyle bir değişime rastlanmadığı bildirilmektedir(5). Çalışmada günlük ısı dışında bir parametre dikkate alınmamıştır ve çalışma bir yıllık süreyi kapsamaktadır. Bizim çalışmamızda da subaraknoid hemorajilerde anlamlı bir mevsimsel değişiklik gözlenmemiştir. Sonuçlarımız, İSH'da belirgin mevsimsel değişim saplayan, buna karşılık SAH'ların böyle bir patern göstermediğini belirten Shinkawa'nın sonuçları ile uyumludur(4). Zaten SAH'ların etiopatogenez açısından İSH'lardan farklı gözeontüne alınırsa sonuçlar şartsızlı olmamaktadır.

Soğuğun intraserebral hemoraji ortaya çıkışındaki rolü henüz bilinmemektedir. Bazı araştırmalar soğuğun kan basıncı üzerine etkisinden, bazıları mevsime göre değişen yiyecek alışkanlıklarının etkisinden söz etmektedir(1,2). Bizim çalışmamızda yaş gruplarına ve cinsiyete göre anlamlı bir dağılım değişikliği saptanmamıştır. Ancak cinsiyet ve yaşa göre mevsimsel patern değişikliği saptayan araştırmalar, bunun serum kolesterol düzeyi veya kan vızkozitesi, fibrinolitik aktivite gibi hemodinamik değişiklikler ile ilgili olabileceğini ileri sürmektedirler(4).

Çalışmamızda elde edilen, hastalık ortaya çıkışındaki sinuzoidal ritm, iklim koşullarının endojen ritmi etkileyerek patolojik vasküler hadiselerin meydana gelişinde rol oynadığını

düşündürmekle birlikte, bu konuda daha ileri çalışmalarla ihtiyaç olduğu açıklır.

## KAYNAKLAR

- 1- Caplan LR, Neely S, Gorelick P: Cold-related intracerebral hemorrhage Arch Neurol 1984, 41, 227.
- 2- Capon a, Demeurisse G, Zheng L: Seasonal variation of cerebral hemorrhage in 236 consecutive cases in Brussels Stroke 1992, 23:24-27.
- 3- Ramirez Lassepas M, Haus E, Lakatua DJ, Sackett L, Swoyer J: Seasonal (circannual) Periodicity of spontaneous intracerebral hemorrhage in Minnesota. Ann Neurol 1980, 8:539-541.
- 4- Shinkawa A, Ueda K, Hasuo Y, Kiyohara Y, Fujishima M: Seasonal Variation in stroke incidence in Hisayama, Japan. Stroke 1990, 21: 1262-1267.
- 5- Sobel E, Zhang Z, Alter M, Lai S, Davanipour Z, Friday G, McCoy R, Isack T, Levitt L: Stroke in the Lehigh Valley: Seasonal variation in incidence rates, Stroke 1987, 18:38-42.

## SON 10 YILDA ERKEN DÖNEM STROK MORTALİTESİ

Ayla SİFOĞLU, Birsən İNCE, İsmail ZİLELİ, Hayrullah DENKTAŞ

Cerrahpaşa Tıp Fakültesi Nöroloji AD., İstanbul

### ÖZET

Akut strokda erken dönemde vaka ölüm oranları, merkezler ve çalışmaya alınan strok altiplerine göre belirgin farklılık göstermekte ve son yıllarda % 5 ile % 55 arasında değişen sonuçlar rapor edilmektedir. Bu çalışmada Cerrahpaşa Tıp Fakültesi Nöroloji A.D.'da 1.1.1984-1.1.1994 yılları arasında serebrovasküler hastalık (SVH) tanısıyla yatan 5559 hastada yıllara ve strok altiplerine göre erken dönem (hastalığın başlangıcından itibaren ilk 4 hafta) vaka ölüm oranları araştırılmıştır. Vakaların 2628'i kadın, 2931'i erkekdir. Yaşları 17-101 arasında değişmektedir. Merkezimizde son 10 yılda tüm SVH'larda erken dönemde vaka ölüm oranı % 24,1'dir. 1984'de % 30,1 olan bu oran 1993'te % 17,5'a inmiştir. 80'li yıllara göre ölüm oranındaki azalma anlamlıdır ( $X_2$ : 35,56,  $p<0,001$ ). SVH altiplerine göre ayrıldığında ise, serebral infarktlarda % 13,3, intraserebral hemorajide % 41,3, subaraknoid kanamada % 22,5, tipi tam belirlenemeyen grupta % 36,1 bulunmuştur. Intracerebral hemorajide tüm yıllarda ölüm oranı en yüksek olmakla birlikte 90'lı yıllarda itibaren belirgin düşme gözlenmektedir. Vaka ölüm oranları, yıllara göre cinsiyet ve yaş dilimlerine göre de ayrıca değerlendirilmiştir.

Akut dönemde strok tedavisindeki gelişmelerin ve risk faktörlerinin kontrolünün, erken dönemde mortalitenin azalmasına katkısı olduğu ancak henüz istenilen düzeylere ulaşılmadığı düşünülmektedir.

**Anahtar kelimeler:** Strok, mortalite.

### EARLY STROKE MORTALITY IN THE LAST 10 YEARS

A 5-55 % early mortality following acute stroke has been reported with a regular decrease in the last years. In this study we investigated the trend of early mortality. 5559 patients with cerebrovascular disease (CVD) admitted to Neurology Department of Cerrahpaşa Medical Faculty from 1.1.1984 to 1.1.1994 were included in the study. Early case-fatality rate (EFR) was analyzed for groups of age, years period and stroke subtype. During ten years, 1341 patients died within the first 4 weeks following acute stroke. EFR was 24.1 %. A significant decrease in EFR was observed in 1991-1993 as compared to 1984-1987 ( $p<0.001$ ). Of the 1341 patients who died 55 % had cerebral infarct (CI), 25.6 % had intracerebral hemorrhage (IH), 5.8 % had subarachnoid hemorrhage (SAH) and 13.6 % was unknown type (UT) CVD. The highest EFR was observed in patients with IH but the decline in EFR during ten years was significant ( $P<0.001$ ). The same result was observed in patients with SAH ( $p<0.05$ ). There wasn't a significant decline in patients with CI ( $p: 0.17$ ) and UT ( $p: 0.19$ ). EFR decreased in patients younger than 60 years as well as in those older than 60 years ( $p<0.005$ ) for both groups.

The decline in EFR may be related to diminishing risk factors especially hypertension and to coming in use of brain computed tomography and magnetic resonance imaging.

**Key words:** Stroke, mortality.

### GİRİŞ

Serebrovasküler hastalıklara bağlı mortalitenin Batı Avrupa, Kuzey Amerika ve Doğu Asya'da 1970'lerden başlayarak, son yıllarda belirgin bir azalma gösterdiği, buna karşılık çoğu Doğu Avrupa'da olan ülkelerde mortalite oranlarının arttığı bildirilmektedir(1,2,3,4,5,6,7). Aynı ülkelerden gelen bildirilerde erken dönemde vaka ölümlerinin son yıllarda azalma gösterdiği ve oranlarının % 5-55 arasında değiştiği belirtilmektedir(1,3,4,5,6,7). Ölüm oranlarındaki azalmanın risk faktörleriyle savaşının, özellikle hipertansiyon kontrolünün daha iyi yapılabiliyor olmasına, tartışmalı olmakla birlikte insidanstaki azalmaya ve görüntüleme yöntemlerinin kullanıma girmesiyle daha hızlı ve doğru tanı konulabilmesine bağlanmaktadır(1,2,3,4,7).

Bu çalışmada, Cerrahpaşa Tıp Fakültesi Nöroloji Anabilim Dalında serebrovasküler hastalık tanısı ile yatan hastalarda yıllara göre erken dönemde vaka ölüm oranlarının değişim gösterip göstermediği araştırılmıştır.

### GEREÇ VE YÖNTEM

Çalışmaya 1.1.1984 - 1.1.1994 arasında Cerrahpaşa Tıp Fakültesi Nöroloji Dalında serebrovasküler hastalık tanısı ile yatan bütün hastalar yaş ve cinsiyet gözönüne alınmadan dahil edilmiştir. 10 yıl içinde izlenen 5559 hasta retrospektif olarak değerlendirilerek strok altiplerine göre, her yıl için erken dönemde (hastalık oluşundan itibaren ilk dört hafta) vaka ölümleri belirlenmiştir. Hastalar klinik, laboratuar bulguları ve beyin tomografisi (BT) ve/veya manyetik rezonans görüntüleme (MR) sonuçlarına göre serebral infarkt (SI), intraserebral hematom (ISH), subaraknoid kanama (SAK) olarak ayrılmış; BT çekilemeden kaybedilen hastalar "tam belirlenemeyen grup" (TBG) olarak isimlendirilmiştir. Strok altiplerinden başka yaş grupları ve cinsiyet gözönüne alınarak yıllara göre vaka ölümleri belirlenmiştir. Erken dönemde vaka ölümlerinde yıllara göre anlamlı bir değişme olup olmadığına analizi khi-kare testi ile yapılmıştır.

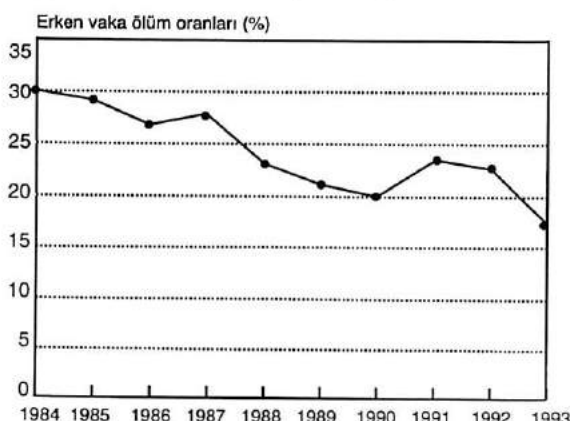
## BULGULAR

Çalışmaya alınan 5559 hastanın 2628'i (% 47.3) kadın, 2931'i (% 52.7) erkektir. Yaşları 17-101 arasında değişmektedir. Bunların 627'si (% 46.7) kadın, 714'ü (% 53.3) erkektir.

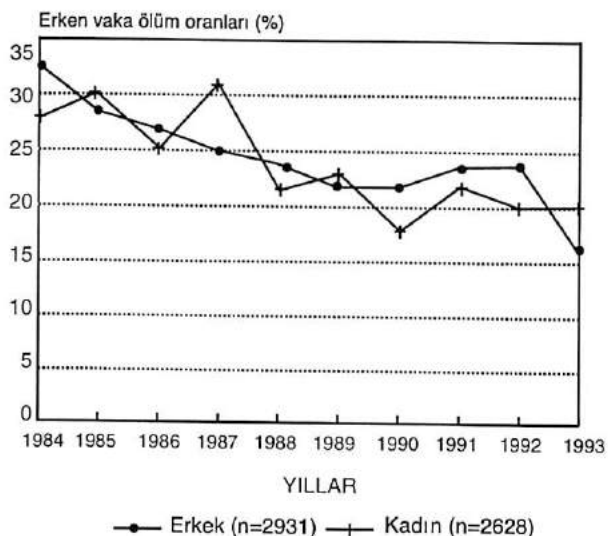
Erkek dönemde vaka ölüm oranı (EVÖO) tüm strok tipleri için 10 yılda % 24.1'dir. Bu oran 1984'te % 30.1 iken 1993'te % 17.5'e inmiştir. Yıllara göre EVÖO'ları grafik 1'de gösterilmiştir. 1991-1993 dönemi 1984-1982 ile karşılaştırıldığında erken dönemde ölümlerde istatistik olarak anlamlı bir azalma görülmektedir ( $\chi^2 = 35.56$ ,  $p < 0.001$ ).

Cinsiyet gözönüne alındığında her iki cinsten de EVÖO'larda azalma görülmektedir (Grafik 2). 1984'te erkeklerde % 32.0, kadınlarda % 27.9 olan değerler 1993'te sırasıyla % 15.3 ve % 19.8 olarak bulunmuştur. Erken vaka ölümlerinde görülen bu azalma istatistik olarak anlamlıdır (Erkeklerde  $\chi^2 = 11.10$ ,  $p < 0.001$ ; Kadınlarda  $\chi^2 = 12.19$ ,  $p < 0.001$ ).

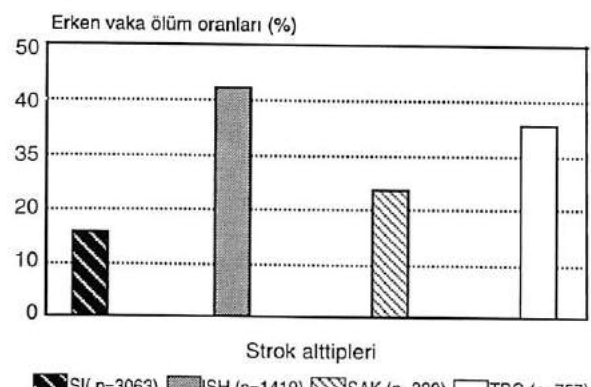
Çalışmaya alınan hastaların % 55'i, (SI), % 25.6'sı (ISH) % 13.6 sı, (TBG) % 5.8'i subaraknoid kanama (SAK) tanısı almıştır. Strok alt tiplerine göre değerlendirildiğinde EVÖO'ların 10 yıllık değerleri SI'larda % 13.3; ISH'lerde % 41.6; SAK'larda % 22.5; TBG'ta % 36.2'dir (Grafik 3). Erken vaka ölümlerinde SI ( $\chi^2 = 1.88$ ,  $p = 0.17$ ) ve TBG ( $\chi^2 = 1.69$ ,  $p = 0.19$ )'ta anlamlı azalma görülmemektedir. Buna karşılık SAK ( $\chi^2 = 4.92$ ,  $p < 0.05$ ) ve tüm yıllarda ölüm oranının en yüksek olduğu ISH ( $\chi^2 = 55.95$ ,  $p < 0.01$ ) gruplarında görülen azalma anlamlı bulunmuştur. Her bir strok alttipi için EVÖO'larının yıllara göre değişimi Grafik 4A, B, C, D'de gösterilmiştir. Hastalar 60 yaş altı ve üstü olarak grupperlenmiş ve ölüm oranları yıllara göre değerlendirilmiştir (Grafik 5). Ölümlerde görülen azalma her iki yaş grubunda da anlamlı bulunmuştur (Sırasıyla  $\chi^2 = 9.74$ ,  $p < 0.005$  ve  $\chi^2 = 18.63$ ,  $p < 0.005$ ).



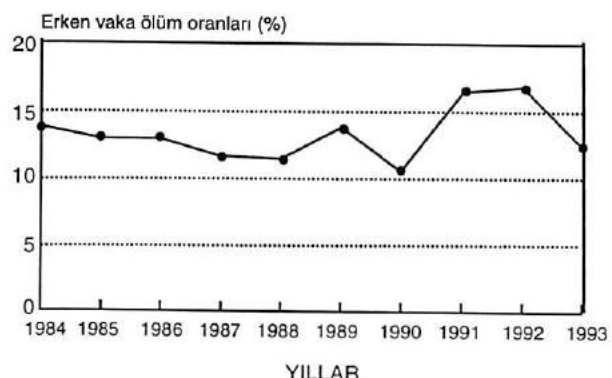
Grafik 1: Tüm stroklarda yıllara göre erken vaka ölüm oranları (n=559)



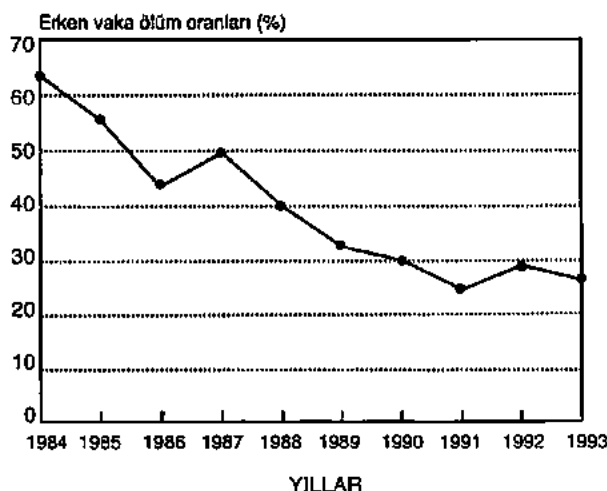
Grafik 2: Erkek ve kadınlarda yıllara göre erken vaka ölüm oranları (tüm stroklar)



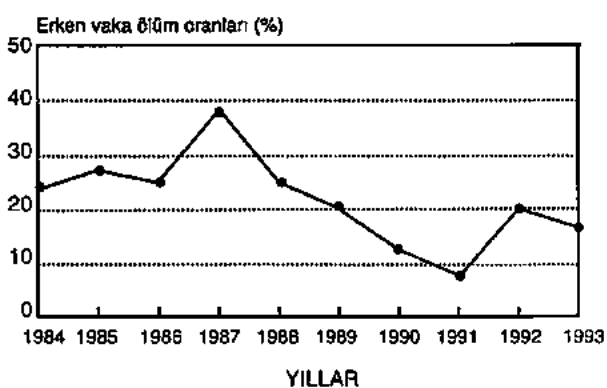
Grafik 3: Strok alttiplerine göre erken vaka ölüm oranları (10 yıllık)



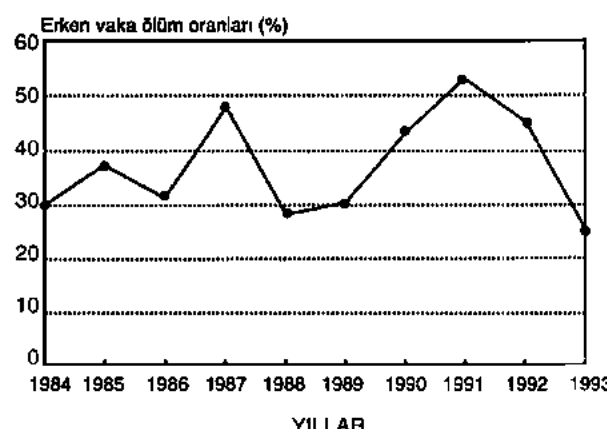
Grafik 4A: Serebral infarktlarda yıllara göre erken vaka ölüm oranları (n=3063)



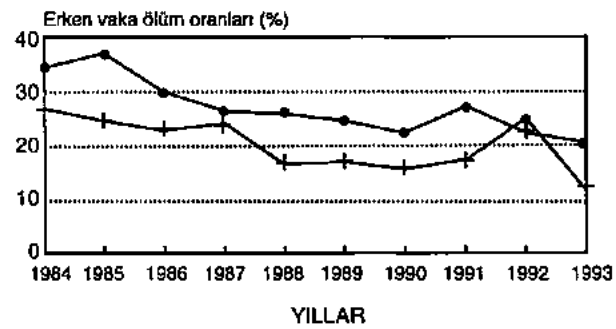
Grafik 4B: Intracerebral hemorajilerde yıllara göre erken vaka ölüm oranları (n=1419)



Grafik 4C: Subaraknoid kanamalarda yıllara göre erken vaka ölüm oranları (n=320)



Grafik 4D: Tipi tam belirlenemeyen stroklarda yıllara göre erken vaka ölüm oranları (n=757)



Grafik 5: Yaş gruplarında yıllara göre erken vaka ölüm oranları

## TARTIŞMA

Bu çalışmada, serebrovasküler hastalık nedeniyle izlenen hastalarda 10 yıllık ortalama ölüm oranı % 24.1'dir. Bu sonuç tablo 1'de gösterilen değişik ülkelerin sonuçlarıyla karşılaştırıldığında, Australasia, Finlandiya, Framingham ve Bethesda çalışmalarına göre daha düşük, Rochester, Taiwan, OCSP (Oxfordshire Community Stroke Project), MONICA (Multinational Monitoring of Trends and Determinants in Cardiovascular Disease) çalışmalarına göre daha yüksek olduğu görülmektedir.

Tablo 1. Değişik çalışmalara göre erken dönemde vaka ölüm oranları

Çalışma oda/Ülke	Dönem	Erken dönemde vaka ölüm oranı(%)
North Karelia/Finlandiya(5)	1983-1986	27.6
Kuopro/Finlandiya(5)	1983-1986	22.04
Turku/Loimaa/Finlandiya(5)	1983-1986	27.9
Bethesda(5)	1971,1973, 1975,1976	30
Rochester/ABD(5)	1950-1959 1970-1979	22.5 17.0
Taiwan/Çin(5)	1986-1990	17.3
OCSP(5)	1981-1986	19
Northern Sweden MONICA/ İsveç(6)	1985-1991	21.3
Framingham/ABD(7)	1953-1983	24.6
Australasia Aucland/ Y.Zelanda(1)	1991-1992	21-27

Erken dönemde vaka ölümlerinin azalmasının strok insidansındaki azalma ile açıklanabileceği öne sürülmektedir(7). Ülkemizde yıllara göre SVH insidansını gösteren bilgiler bulunmadığından bu konuda yorum yapmak güçtür. Ancak insidansta değişme olmayan, hatta artış olan bölgelerde de EVO'larının azaldığının belirtilmesi bunu etkileyen başka faktörler olduğunu göstermektedir(3,7). Finlandiya kendi ülkesindeki ölüm oranlarının yüksek olmasını geniş infarkt ve

geniş hemorajî oranlarının diğer strok alttipilerinden daha fazla olmasına bağlamaktadır (5). Chang de aynı saptamada bulunarak, kendi ülkelerinde İSH'lerin, SL'lardan daha fazla olması nedeniyle ölüm oranlarının Amerika Birleşik Devletlerinden daha yüksek olduğunu ileri sürmektedir(2). Bizim çalışmamızda hastaların %25,5'ini oluşturan İSH strok alt tipleri içinde ölüm oranı en yüksek grubu oluşturmaktadır. Ancak yıllara göre bakıldığından EVÖO'da anlamlı bir düşme görülmektedir. Aynı belirgin düşüş SAK tanısı alan hastalarda da izlenmektedir. Buna karşılık SL'larda ve TBC'de belirgin bir değişiklik saptanmamaktadır. Moncayo'nun çalışmásında da İSH'lerde EVÖO'lari yıllara göre % 60 azalma gösterirken aynı dönemde SI larda % 31'lik bir azalma dikkat çekmektedir(4). Hemorajik SVH'lardaki ölüm oranlarının azalması yıllar içinde risk faktörleriyle savaşının, özellikle hipertansiyonun kontrol altına alınmasının strok şiddetini azalttığı ve iyileştirme oranının daha iyi olduğu şeklinde açıklanmaktadır(2,4,5,6). Hemorajik SVH'lardaki ölüm oranlarının azalmasında diğer bir faktörün BT gibi görüntüleme yöntemlerinin kullanma girmesi olduğu belirtilmektedir(3,5,7). Ülkemizde de 80'li yılların başından itibaren BT, 90'lı yıllarda ise MR kullanılmaya başlanmış ve giderek yaygınlaşmıştır. Bunun sonuçlara etkisi olduğu düşünülmektedir. Yaş ve cinsiyete göre değerlendirme yapıldığında hem kadınlarda hem erkeklerde, hem de her iki yaş grubunda yıllara göre ölüm oranında belirgin azalma olması, ancak

kendi aralarında farklılık görülmemesi yaş ve cinsiyetin mortalitede etkili olmadığını düşündürmektedir. Sonuçlar ülkelerde göre farklılık göstermektedir. Aynı ülkede farklı bölgelerde cinsiyete göre farklı ölüm oranları saptanabildiği gibi, yaş ve cinsiyete göre ölüm oranlarının değişiklik göstermediği de bildirilmektedir(2,3,5,6). Sonuç olarak yıllar içinde stroka bağlı ölümlerin azalma göstermesi sevindiricidir. Ancak henüz istenilen düzeylere gelmemiştir. Akut dönemde tedavi imkanlarının ve daha önemlisi primer korumaya yönelik çabaların artması gerekmektedir.

## KAYNAKLAR

- 1- Bonita R, Anderson CS, Broad JB et al: Stroke incidence and case fatality in Australasia. *Stroke* 1994; 25: 552-557.
- 2- Chang C, Chen C: Secular trend of mortality from cerebral infarction and cerebral hemorrhage in Taiwan, 1974-1988. *Stroke* 1993; 24: 212-218.
- 3- Harmsen P, Tsipogianni A, Willhelmsen L: Stroke incidence rates were unchanged, while fatality rates declined, during 1971-1987 in Göteborg, Sweden. *Stroke* 1992; 23: 1410-1415.
- 4- Moncayo J, Bogousslavsky J, Van Melle G: Trends of early stroke mortality in a primary care center. *Cerebrovasc Dis* 1995; s. 251.
- 5- Sarti C, Toumilehto J, Sivenius J, et al: Stroke mortality and casefatality rates in three geographic areas in Finland from 1983 to 1986. *Stroke* 1993, 24: 1140-1147.
- 6- Stegmayr B, Asplund K, Wester PO: Trends in incidence, casefatality rate and severity of stroke in Northern Sweden, 1985-1991. *Stroke* 1994, 25: 1738-1745.
- 7- Wolf AP, D'Agostino RB, O'Neal MA et al: Secular trends in stroke incidence and mortality The Framingham Study. *Stroke* 1992 23: 1551-1555.

## SEREBRAL İNFARKTLI HASTANIN REHABİLTASYONUNDA YAŞIN ETKİSİ

İsmail ZİLELİ, Birsen İNCE, Ayla SİFOĞLU,  
Hayrunnisa DENKTAS

Cerrahpaşa Tıp Fakültesi Nöroloji AD., İstanbul

### ÖZET

İleri yaş genellikle rehabilitasyon için sınırlayıcı bir faktör olarak görülmektedir. Bu çalışma 1994 yılı içinde CTF Nöroloji A.D.'da serebral infarkt tanılarıyla yatırılarak izlenen 271 hastanın, 6-18 aylık süre sonunda mevcut durumlarını değerlendirderek hastaların yaşının sonucu etkisini belirlemek amacıyla yapılmıştır. 271 hastanın 25'i (% 9.2'si) hastanede yattığı süre içinde ölmüştür. Taburcu olan hastaların 119'una (% 48,3) ulaşılabilmiş, telefon ile ve/veya kliniğimize çağrılarak son durumları belirlenmiş, hastaneden taburcu olduklarındaki Barthel index puanı ile şu andaki durumları karşılaştırılmıştır. Hastaların 61'i erkek, 58'i kadındır. Yaşları 20-94 arasında (ortalama  $66,2 \pm 12,9$ 'dur). 34 hasta (% 28,5) taburcu olduktan sonra ölmüştür, ölümlerin % 50'si ilk bir ay içinde, % 30'u ise ilk 6 ay içindedir. Ölenlerin % 35'i erkek (yaş ortalamaları  $71,5 \pm 7,62$ ), % 65'i kadındır (Yaş ortalamaları  $73,4 \pm 12,0$ ). Yaşayan hastaların yaş ortalaması ise  $63,4 \pm 13,9$ 'dur. 6-18 aylık izleme süresi içinde yaşayan hastaların % 49'u taburcu olduktan sonra evde veya bir merkezde Fizik Tedavi ve Rehabilitasyon (FTR) görmüş, % 51'ine FTR programı uygulanmıştır. FTR gören hastalarda Barthel indexi puan kazanımı (ortalama  $11,4 \pm 6,6$ ), FTR görmeyen hastalardan (ortalama  $7,44 \pm 6,6$ ) belirgin olarak farklıdır ( $p < 0,01$ ). Cinsiyet farklılığı sonucu etkilememektedir. Yaş dilimlerine göre değerlendirildiğinde, Barthel puan kazanımları arasında anlamlı bir farklılık bulunmamıştır. Ölen hastaların yaş ortalamalarının 70'in üzerinde olması, ileri yaş mortalitede etkili olduğunu göstermekle birlikte, yaşayan infarktlı hastalarda rehabilitasyona karar vermede sınırlayıcı bir faktör olmaması gerektiği sonucuna varılmıştır.

Anahtar kelimeler: Serebral infarkt, rehabilitasyon, yaşlılık.

### THE INFLUENCE OF AGE ON THE REHABILITATION OF THE PATIENT WITH CEREBRAL INFARCTION

Advanced age is considered a limiting factor for rehabilitation. The purpose of this study was to investigate the influence of age on the rehabilitation of the patient with cerebral infarction. 119 patients with cerebral infarction admitted to Neurology Department of Cerrahpaşa Medical Faculty in 1994 were included in the study. Of these cases, 61 were males and 58 were females. The age range was 20 to 94 years (mean  $66,2 \pm 12,9$ ). Outcome of the patients was evaluated by Barthel Index (BI) and neurological status at discharge, degree of improvement and case fatality rates within 6-18 months after stroke. The degree of improvement was evaluated by gain in total BI scores. Case fatality rate was 28.5 % within 18 months, mostly in first month after discharge. Half of the patients were rehabilitated at home or a physiotherapy center. BI gain of the rehabilitated patients was significantly higher than nonrehabilitated group and there was no correlation of age with improvement. This study shows that age does not influence the improvement of elderly patients and should not be a limiting factor for rehabilitation.

Key words: Cerebral infarction, rehabilitation, aging.

### GİRİŞ

Serebral infarktlı hastada rehabilitasyonun amacı, kaybedilen fonksiyonun mümkün olabildiğince geri döndürülmESİdir. Ancak rehabilitasyonun, hem uzun süre emek vermeyi gerektiren bir tedavi olması, hem de rehabilitasyon imkanlarının sınırlı olması, bazen doktoru bu tedavide en çok faydalananacak hastaların seçimi'ne zorlamaktadır. Strok geçiren hastalardan hangisinin, ne ölçüde yarar göreceğini önceden belirleyen parametreler henüz ortaya konmamıştır (1,2,4). Genellikle ileri yaş, rehabilitasyon için sınırlayıcı bir faktör olarak kabul görmektedir (5). Bu çalışmada, rehabilitasyon gören stroklu hastalardaki düzeltmede, yaşın etkisinin olup olmadığı araştırılmıştır.

### GEREÇ VE YÖNTEM

Çalışmaya 1.1.1994 - 31.12.1994 tarihleri arasında Cerrahpaşa Tıp Fakültesi Nöroloji Anabilim Dalında serebral infarkt tanılarıyla yatırılarak izlenen hastalar alınmıştır. Hastalar yattıkları süre içinde bir fizyoterapist tarafından fizik tedavi ve rehabilitasyon (FTR) programına alınmış ve Barthel indeksi(7) ile değerlendirilmiştir. Taburcu olan hastaların 6-18 aylık süre sonundaki durumları, telefon ile ve/veya kliniğimize çağrılarak belirlenmiş, mevcut Barthel indeksi puanları taburcu oldukları dönemde karşılaştırılarak, hastalardaki gelişmeyi gösteren puan kazanımları kaydedilmiştir. FTR uygulanan ve uygulanmayan hastalardaki bulgular "t testi" ile analiz edilmiştir.

## BÜLGULAR

1994 yılı içinde Cerrahpaşa Tıp Fakültesi Nöroloji Anabilim dalında serebral infarkt tanısıyla 271 hasta izlenmiştir. Hastaların 25'i (% 9.2) hastanede yatarken akut dönemde ölmüştür. 8'i erkek, 17'si kadın olan hastaların yaşları 52-86 arasındadır (Ortalama yaşı  $73.4 \pm 7.6$ ). Geriye kalan hastaların 119'una (% 48.3) hastalık oluş tarihinden itibaren 6-18 aylık süre içinde ulaşılabilmiştir. Hastaların 61'i erkek, 58'i kadındır. Yaşları 20-94 arasında (ortalama  $66.2 \pm 12.9$ )dır. Taburcu olan hastaların 34'ü (% 28.5), ilk bir yıl içinde ölmüştür. Ölümlerin %50'si ilk ay içinde, % 30'u ilk 6 ay içinde ölmüştür. Ölenlerin % 35'i erkek, % 65'i kadındır. Hastaneden taburcu olduktan sonra yaşayan ve ölen hastaların özellikleri Tablo 1'de gösterilmiştir.

Tablo 1. Yaşayan ve Ölen Hastaların Yaş ve Cinsiyet Özellikleri

	<u>Yaşayan</u>	<u>Ölen</u>
Sayı	85	34
%	71.5	28.5
Kadın	36	22
Yaş aralığı	31-82	35-90
Ortalama	$64.1 \pm 12.2$	$73.4 \pm 12.0$
Erkek	49	12
Yaş aralığı	20-94	54-85
Ortalama	$63.7 \pm 13.8$	$71.5 \pm 7.62$

Yaşayan hastaların % 49'una taburcu olduktan sonra evde veya bir merkezde FTR uygulanmıştır. FTR gören ve görmeyen hastaların özellikleri Tablo 2'de belirtilmiştir. FTR uygulanan hastalardaki Barthel puan kazanımları, uygulanmayan hastalara göre anlamlı derecede yüksektir. FTR yapılan hastaların % 31'i, yapılmayan hastaların % 16'sı yaşamlarını tam bağımsız halde südürebilir duruma gelmiştir.

Hastaların yaş gruplarına göre Barthel puan kazanımları ise Tablo 3'de gösterilmiştir.

Tablo 2. FTR Uygulanan ve Uygulanmayan Hastaların Özellikleri

	FTR Uygulanan	FTR Uygulanmayan
Sayı	42	43
%	49	51
Kadın	18	18
Yaş aralığı	41-80	31-82
Ortalama	$62.4 \pm 79.4$	$65.8 \pm 14.6$
Erkek	24	25
Yaş aralığı	20-85	20-94
Ortalama	$62.0 \pm 13.2$	$65.4 \pm 14.5$
Ortalama Barthel puan kazanımı(*)	$11.4 \pm 6.6$	$7.4 \pm 6.6$
Tam bağımsız olarak yaşayan hasta sayısı	13	7

(\*) $p < 0.01$ 

Tablo 3. Yaş Gruplarına Göre Barthel Puan Kazanımları

Yaş	FTR Uygulanan	FTR Uygulanmayan
50 y $\downarrow$ n:12	$14.2 \pm 5.0$	$11.6 \pm 8.1$
51-60 y n:12	$9.5 \pm 3.1$	$6.8 \pm 4.6$
61-70 y n:34	$12.4 \pm 6.7$	$6.7 \pm 5.7$
71 y $\downarrow$ n:24	$7.5 \pm 8.9$	$7.0 \pm 7.5$

## TARTIŞMA

Strok geçiren hastalarda fizyoterapinin yararı tartışılmazdır. Ancak en uygun zamanlama, tedavinin sıklığı, yoğunluğu, hasta seçimi konusunda belirsizlikler bulunmaktadır(1,4). Hastanın strok sonrasında kaybettiği fonksiyonlarını ne ölçüde yeniden kazanabileceğini önceden belirleme çalışmaları sürdürmektedir(6). Strok geçiren hastaların genellikle ileri yaşta olmaları yanısıra başka hastalıklarının bulunması, mortalitelerinin yüksek olması, ileri yaşın rehabilitasyon için sınırlayıcı bir faktör olarak algılanmasına yol açmaktadır(3,5).

Bizim çalışmamızda akut dönemde ölen hastaların yaş ortalamaları ( $73.4 \pm 7.6$ ), yaşayanların yaş ortalamalarından ( $63.2 \pm 12.9$ ) daha yüksek bulunmaktadır. Ancak mortalitenin daha yüksek olması, sadece ileri yaş ile açıklanabilecek bir sonuç değildir. Çalışmalar yaş ile strok tipi, lokalizasyonu ve infarkt genişliği arasında bir korelasyon olmadığını göstermiştir(5). Diğer yandan strok ünitesinde rehabilite edilen yaşlı hastaların (75 yaş ve üzeri), genel servislerde tedavi edilen daha genç hastalara (75 yaş ve altı) göre daha belirgin düzelleme gösterdiği, sadece hastanede kalma süresinin daha uzun olduğu belirtilmektedir(3).

Nakayama ve arkadaşlarının çalışmasında da, tersine değerlendirmeler olmakla birlikte, yaşın rehabilitasyon için bir seçim kriteri olarak kullanılmaması vurgulanmaktadır(5). Bizim çalışmamızda da Barthel indeksi puan kazanımları FTR uygulanan ve uygulanmayan hastalarda anlamlı olarak farklıdır, ancak yaş gruplarına göre belirgin farklılık gözlenmemektedir. Önemli olan hastaların yaşına bakılmaksızın, multidisipliner bir yaklaşımla (nörolog, fizyoterapist, aile çevresi, bakımevi elemanları) hastanın kaybettiği fonksiyonlarını mümkün olduğunda geri döndürmeye çalışmaktadır. Bu yolla hastaların önemli bir kısmının, yaşı ne olursa olsun yaşamlarını bağımsız olarak südürebilir hale gelmesine katkıda bulunulabileceği görülmektedir.

## KAYNAKLAR

- 1- Dam M, Tonin P, Casson S, Ermani M, Pizzolato G, Iorio V, Battistin L: The effects of long term rehabilitation therapy on post stroke hemiplegic patients. *Stroke* 1993; 24: 1186-1191.
- 2- Gresham GE: Rehabilitation of the stroke survivor In: Barnet HJM, Mohr JP, Stein BM, Yatsu FM eds. *Stroke*, second edition, Churchill Livingstone, New York, 1992, 1189-1201.
- 3- Kalra L: Does age affect benefits of Stroke Unit Rehabilitation? *Stroke* 1994; 25: 346-351.
- 4- Langhorne P, Wagenaar R: Physiotherapy after stroke: More is better? *Cerebrovasc Dis* 1995; 5: 229.
- 5- Nakayama H, Jorgensen HS, Raaschou HO, Olsen TS: The influence of age on stroke outcome. *Stroke* 1994; 25: 808-813.
- 6- Taub NA, Wolfe CDA, Richardson E, Burney PGW: Predicting the disability of first time stroke sufferers at 1 year. *Stroke*, 1994; 25: 352-357.
- 7- Wade DT: Measurement in neurological rehabilitation. Oxford university press, Oxford, 1992, 175-176.

# ONGRE TAKVİMİ

1996

## International Cerebral Hemodynamics Symposium.

January 21-24 1996, Dallas Texas.  
 Information: Arlene Wiedel, Conference Coordinator, IAPM  
 3116 th Av, Seattle, WA 98122.  
 Tel: 206-553-7330; Fax: 206-5531717).

## 1st International Joint Conference on Stroke and Cerebral Circulation.

January 25-27 1996 San Antonio, Texas.  
 Information: American Heart Association Scientific and Corporate Meetings, 7272 Greenville Ave Dallas TX 75231-4696  
 Telephone: 214-706-1511; Fax: 214-373-3406).

## Brain Research Association Thirteenth National Meeting.

25-27 March 1996 Newcastle Upon-Tyne, UK  
 Information: Dr. Philip Bradley, Dir of Neurobiology Medikal School, Newcastle - Upon - Tyne NE2 4HH  
 UK Tel.: (44-191) 22-971; Fax: (44-191)222-6521

## 14. Ulusal Klinik Nörofizyoloji Kongresi, Çeşme Altınyunus 15-19 Nisan 1996

Klinik Nörofizyoloji EEG-İMG Derneği, 1357 sk. No:1/10 Nilhan Apt. Alsancak, İZMİR  
 Tel: +232-4220160

## III. Ulusal Metabolik Hastalıklar ve Nutrisyon Sempozyumu, Başkent Öğretmenevi, Ankara 18-19 Nisan 1996

Adres: Dr. Leyla Turner, Gazi Ü. Tıp Fak. Çocuk Sağlığı ve Hast. AD 06500 Beşevler, Ankara  
 Tel: +0-312-2141000 Fax: +312-2150143

## 4th International Symposium on Thrombolytic Therapy in Acute Ischemic Stroke.

30 May - 1 June 1996, Copenhagen, Denmark  
 Information: Secretariat, Thrombolytic Therapy in Strke 96 C/O DIS Congress Service Copenhagen A/S Herlev Ringvej 2C DK-2730 Herlev Denmark.  
 Telephone: +45-4492-4492; Fax: +45-4492-5050.

## 1st World Congress in Nurological Rehabilitation.

24-28 June 199, Newcastle Upon, Tyne, UK.  
 Information: Prof. Dr. M.P.Barnes, WCNR Secretariat, Hunters Moor Regional Rehabilitation Centre, Hunters Road, Newcastle Upon Tyne NE 2 4 NR, UK  
 Telephone: 44 91 261 0895; Fax: 44 91 2300365.

## Alzheimer's Disease and Related Disorders: 5th International Congress

24-29 July 1996, Osaka, Japan.  
 Information: Masatoshi Takeda, Dept of Neuropsychiatry, Osaka University Medikal School 2-2 Yamadaka, Suita, Osaka 565, Japan.  
 Tel: 0081-6-879-3051; Fax: 0081-6-879-3059.

## 4th International Congress of Movement Disorders, Vienne, Austria

17-21 June 1996  
 Contact: STROKE '96 c/o AKM Congress Cervice, Clarastrasse 57, PO Box CH-4005 Basel-Switzerland  
 Fax: +41-61-918189

## 8th World Congress on Pain

17-22 August, Vancouver, Canada  
 Contact: L.E., Jnes, International Association for the Study of Pain, 909 NE 43rd St., Ste 306, Seattle, WA 98105 USA. Tel: +1-206-547-6409. Fax: +1-206-547-1703

## 10th International Symposium on Cerebral Hemodynamics in Association with the First Meeting of the European Society of Neurosonology and Cerebral Hemodynamics.

August 29 - September 1 1996, Munich, Germany.  
 Information: Prof. Dr. J.Klingelhöfer, Department of

Neurology, Technical University, Möhlstrasse 28, D-81675, Munich, Germany.  
 Tel: +49-89-4140-4699; Fax: +49-89-4140-4867.

## Joint 3rd World Stroke Congress/5th European Stroke Conference.

1-5 September 1996, München, Germany  
 Information: PD. Dr.Roman Haberi, University Neurological Clinic, Grosshadern Clinical, Marchionistrasse 15, D-81377 München; Germany.

## Satellite Symposium: Emergency Management and Critical Care of Stroke.

5-7 September 1996, Heidelberg, Germany.  
 Information: Prof. Dr. W. Hacke, University Neurological clinic, IM Neunheimer Feld 400, D-69120 Heidelberg, Germany.  
 Tel: +49 06221 56 82 11; Fax: +49 6221 56 53 48.

## International Congress of Phlebology.

8-12 September 1996, Athens, Greece  
 Euru Conference Center (Miss Efi Bala), 2-4 Messogion Ave., Athens, Tower B, Apt. 604, 11527 Athens, Greece.  
 Tel: +Greece-1 7787539 Fax: +Greece-7774584

## 7th International Symposium: The Pain Clinic (Türk Algoloji Derneği), İstanbul

2-6 Ekim 1996  
 Prof. Dr. S. Erdine, İstanbul Ü. Tip Fak. Monoblok Çapa Klinikleri, 34390  
 Fax: +212-6310541

## Clinical Neurophysiology-8th European Congress

9-11 October, Münich, Germany  
 Contanc: Congress Secretariat 96 c/o AKM Congress Service GmbH, Obere Schanzstrasse 18, D-79576 Weil a Rh/Germany.  
 Tel: +49 7621791943 Fax: +49 762178714

## 32. Türkiye Nöroloji Kongresi, Askeri Müze Kültür Sitesi, Harbiye, İSTANBUL

13-17 Ekim 1996  
 Bakırköy Ruh ve Sinir Hastalıkları Hast. III. Nöroloji Kliniği, Bakırköy, İstanbul  
 Tel: +212-5436565 Fax: 212-5712451

## 2nd Congress of the European Federation of Neurological Societies.

30 October - 4 Nowember 1996, Rome, Italy.  
 Information: Studio GiBi, Via Adelaide Ristori 15, 00197, Rome, Italy  
 Tel: +39 6 8074939; Fax: +39 6 8075506.

# 1997

## Eighth International Headache Congress Amsterdam-the Netherlands.

June 11-14 1997.  
 Information: Lidy Groot Congress Events P.O. Box: 83005, 1080 AA Amsterdam th Netherlands.  
 Tel: +31-20-67 93218; Fax: +31-20-67 58236

## Asian Slep Research Society-2nd Congress

22-26 September, Jerusalem, Israel  
 Information: Dr. J. J. M. Askenasy, Sleep Medicine Institute, Chaim Sheba Medical Centre, Tel Hashomer 52621, Israel.  
 Tel: +972 3 5303219 Fax: +972 3 5349368

# 1998

## Child Neurology-8th International Congress

13-18 September, Ljubljana, Slovenia  
 Contact: Milijov Velickovic Perat MD Dept. of Developmental Neurology, University Paediatric Hospital, Vrazov trg 1, 61104 Ljubljana, Slovenia  
 Tel: +386-(0)61-324297 Fax: +386-(0)61-324293